

UNIVERSIDADE FEDERAL DE MATO GROSSO DO SUL
FACULDADE DE ENGENHARIAS, ARQUITETURA E URBANISMO E GEOGRAFIA
CURSO DE ENGENHARIA ELÉTRICA

ANDERSON DA SILVA VOLPATO

**Inversor *Interleaved* Bidirecional para Estações de Recarga
de Veículos Elétricos do tipo V2G**

Campo Grande, MS
2023

ANDERSON DA SILVA VOLPATO

**Inversor *Interleaved* Bidirecional para Estações de Recarga
de Veículos Elétricos do tipo V2G**

Dissertação submetida ao Programa de Pós-Graduação
em Engenharia Elétrica da Universidade Federal
de Mato Grosso do Sul para a obtenção do Grau
de Mestre em Engenharia Elétrica.

Orientador: Prof. Dr. Moacyr Aureliano Gomes de Brito

Campo Grande, MS
2023

Inversor Interleaved Bidirecional para Estações de Recarga de Veículos Elétricos do tipo V2G

Dissertação submetida ao Programa de Pós-Graduação em Engenharia Elétrica da Universidade Federal de Mato Grosso do Sul para a obtenção do Grau de Mestre em Engenharia Elétrica.

Banca Examinadora:

Prof. Dr. Moacyr Aureliano Gomes de Brito
Orientador

Prof. Dr. Flávio Alessandro Serrão Gonçalves

Prof. Dr. Ruben de Barros Godoy

Campo Grande, MS
2023

AGRADECIMENTOS

Primeiramente, agradeço a Deus, por me guiar pelo caminho que segui até aqui na minha vida, com certeza não teria escrito um roteiro melhor que esse, muito obrigado e espero que continue me guiando.

Agradeço, acima de tudo, meus pais, Altair e Terezinha, por sempre desde pequeno terem me incentivado a estudar e buscar meus sonhos, por proporcionarem um ambiente familiar onde cresci com muito amor, carinho, e educação.

Agradeço ao Prof. Dr. Moacyr por me orientar pelo meu caminho acadêmico desde o ano de 2019 até o dia de hoje, dificilmente encontraria melhor orientador, dedicado e atencioso como ele, e que combinasse mais comigo. Meu conselheiro em diversas horas, não apenas na vida dentro da faculdade e laboratório, mas também na vida profissional, com certeza muito mais que um orientador, um amigo que espero manter contato ao longo dos anos.

Agradeço aos professores do BATLAB e a comissão do Programa de Pós Graduação da Engenharia Elétrica da UFMS por todo apoio nesses mais de 2 anos.

Agradeço a todos meus amigos de laboratório pelo apoio nos momentos difíceis, quando experimentos não pareciam dar certo, em assuntos os quais não sou especialista, e puderam de alguma forma me ajudar, sejam me incentivando ou gerando discussões que agregaram ao objetivo final em questão. Em especial Wisam, Gabriel Gentil, Fernanda, Arakaki, Thyago, Matheus, Mari e Rafa, cada um tem uma pequena parcela para conclusão deste trabalho.

Ainda agradeço aos meus amigos de fora da faculdade, com os quais pude me divertir e me distrair em momentos onde assuntos do mestrado não evoluíam e era necessário tempo para descansar e abstrair, para assim retornar mais focado e disposto. Em especial o Alexandre que me acompanha desde o ensino médio, e agora em âmbito profissional, não teria feito/conhecido Engenharia Elétrica se não fosse você, então sou imensamente grato, e espero que nossa amizade continue e só se fortaleça.

Por fim, agradeço ao CNPQ e a FAPEC pelo financiamento integral das pesquisas realizadas durante o desenvolvimento desta dissertação. Principalmente ao projeto V2G, ao Prof. Dr. Ruben Godoy agradeço, como também ao Moacyr, a confiança depositada em mim para me dedicar as minhas atividades no projeto, sem ele esta dissertação não teria sido possível, por isso sou eternamente grato.

Muito Obrigado!

RESUMO

O setor de transportes é um dos maiores vilões quando se trata da quantidade de gases de efeito estufa que são emitidos todos os anos na atmosfera terrestre, o que vem causando grandes impactos ambientais como o aumento da má qualidade do ar e também alterações climáticas severas em diferentes pontos do globo. Uma das maneiras de reverter esta situação é realizar a substituição dos veículos à combustão (VC) por veículos elétricos (VE) que não emitem poluição diretamente ao meio ambiente, porém, para isto será necessário superar uma grande barreira cultural e comercial que foi instaurada há mais de 100 anos. Do ponto de vista de incentivo, observa-se a necessidade dos governos em distribuir postos de recarga pelo território para popularizar esta nova vertente. Com isso se verificam novas oportunidades de pesquisa em relação à utilização dos veículos elétricos operando como geradores distribuídos (local e móveis) em adição a já utilizada GD fotovoltaica - com o intuito de melhoria da qualidade de energia. Esta dissertação apresenta o estudo teórico e aplicação experimental do controle de um sistema de dois inversores em paralelo *interleaved* para interface e controle de tensão de um barramento de tensão contínua principal da microrrede de um posto de recarga de bicicletas elétricas com metodologia veículo para rede (do inglês, V2G - *vehicle to grid*) quando conectado à rede elétrica de distribuição. O protótipo implementado foi projetado para uma potência nominal de 20 kW, porém, em laboratório, chegou-se aproximadamente 8 kW por limitações nos equipamentos utilizados, contudo, os resultados experimentais apresentados são mais do que suficientes para validar a estabilidade e qualidade de energia do sistema se generalizado para a potência nominal, tanto injetando potência na rede elétrica como absorvendo.

Palavras-Chave: Controle de tensão, Geração distribuída, Inversores em paralelo, Microrrede, Posto de Recarga, Veículos Elétricos, Veículo para rede.

ABSTRACT

The transport sector is one of the biggest villains when it comes to the amount of greenhouse gases that are emitted every year into the Earth's atmosphere, which has been causing major environmental impacts such as increasing the poor quality of the air we breathe and also changes different climates in different parts of the world. One of the ways to reverse this situation is to replace combustion vehicles (VC) with electric vehicles (EVs) that do not pollute the environment, however, for this, it will be necessary to overcome a great cultural and commercial barrier that was introduced 100 years before. From the viewpoint of incentives, there is a need for governments to distribute charging stations throughout the territory to popularize this new trend. With that, new research opportunities are been related to the use of electric vehicles operating as distributed generators (local and mobile) in addition to the already used photovoltaic DG - with the aim of improving energy quality. This dissertation presents the theoretical study and experimental application of the control of a system of two inverters in parallel interleaved for interface and voltage control of a main DC bus from a microgrid of an electric bicycle charging station with vehicle-to-grid (V2G) methodology when connected to the distribution grid. The implemented prototype was designed for a nominal power of 20 kW, however, in the laboratory, about 8 kW was reached by delimitation in the equipment used, nevertheless, the experimental results presented were more than sufficient to validate the stability and energy quality of the system operation for generalizing to nominal power, either injecting power into the electrical network or absorbing it.

Keywords: Charging station, Distributed generation, Electric Vehicles, Inverters in parallel, MicroGrid, Vehicle to grid, Voltage control.

LISTA DE FIGURAS

Figura 1 – Fontes de emissão de CO_2 mundial.	14
Figura 2 – Crescimento do número de veículos elétricos de 2010 a 2019.	14
Figura 3 – Posto de recarga para carros e bicicletas elétricas em Teresina.	15
Figura 4 – Microrrede do posto de recarga de bicicletas elétricas via <i>Wireless</i> com metodologia V2G.	16
Figura 5 – Inversor fonte de tensão trifásico.	18
Figura 6 – Inversor fonte de tensão trifásico.	19
Figura 7 – Modelo médio do inversor fonte de tensão trifásico.	20
Figura 8 – Modulação por largura de pulso senoidal (SPWM).	22
Figura 9 – Modelo do inversor trifásico para SPWM.	23
Figura 10 – As oito possibilidades do estado dos interruptores para um VSI trifásico.	24
Figura 11 – Hexágono do espaço vetorial do vetor referência nos eixos ortogonais.	25
Figura 12 – Detalhe do triângulo do vetor referência.	26
Figura 13 – Detalhe do triângulo do vetor referência composto a partir das componentes dos vetores adjacentes e nulo.	27
Figura 14 – Pulsos dos interruptores positivos S_{abc_p} para o setor I.	29
Figura 15 – Fluxograma básico da aplicação da SVM.	31
Figura 16 – Diagrama do sistema com as principais topologias de filtro para conexão à rede elétrica.	31
Figura 17 – Tipos de amortecimento passivo o filtro LCL.	32
Figura 18 – Modelo monofásico para o filtro L.	34
Figura 19 – Equivalente monofásico do filtro LCL para modelagem.	35
Figura 20 – Capacitância normalizada em função do fator α_L	36
Figura 21 – Resposta em frequência para o filtro LCL com amortecimento (em laranja) e sem amortecimento (em azul).	37
Figura 22 – Modelo médio do inversor com filtro L.	38
Figura 23 – Diagrama de blocos dos eixos dq do inversor com filtro L.	39
Figura 24 – Desacoplamento do eixo d com filtro L.	40
Figura 25 – Modelo médio do inversor com filtro LCL.	41
Figura 26 – Diagrama de blocos dos eixos dq com filtro LCL.	42
Figura 27 – Desacoplamento do eixo d com filtro LCL.	42
Figura 28 – Modelo médio do inversor pela visão do barramento CC.	44
Figura 29 – Diagrama básico do PLL.	45
Figura 30 – Diagrama do PLL linearizado.	46
Figura 31 – Diagrama básico do PLL.	47
Figura 32 – Esquemático do SOGI.	49
Figura 33 – Esquemático do DSOGI-PLL.	49

Figura 34 – Diagrama de controle do sistema <i>Grid-Tied</i>	50
Figura 35 – Malhas de controle simplificado.	51
Figura 36 – Detalhe da adição da componente <i>feedforward</i>	52
Figura 37 – Amostragem síncrona.	53
Figura 38 – Resposta da frequência do DSOGI-PLL.	54
Figura 39 – Resposta de fase e ângulo do DSOGI-PLL.	55
Figura 40 – Comparação entre a componente de entrada e de sequência positiva de v_{α}	56
Figura 41 – Resposta do controle de corrente do sistema à degraus de carga injetando corrente na rede elétrica.	57
Figura 42 – Resposta do controle de corrente às rampas e transição entre os modos de funcionamento.	57
Figura 43 – Formas de onda de corrente com suas taxas de distorção harmônica total para cada tipo de filtro proposto.	58
Figura 44 – Diferença da dinâmica do barramento CC dado a frequência de cruzamento do controle.	60
Figura 45 – Erro da tensão do barramento CC para diferentes frequências de cruzamento.	61
Figura 46 – Resultados de simulação para o controle completo do sistema com uma referência de corrente do barramento CC bidirecional.	62
Figura 47 – Esquemático da montagem do protótipo do inversor bidirecional <i>Grid-Tied</i>	63
Figura 48 – LAUNCHXL-F28379D da <i>Texas Instruments</i>	64
Figura 49 – Esquemático do circuito de condicionamento de sinais no <i>Altium Designer</i>	64
Figura 50 – Detalhe do circuito <i>buffer</i> do PWM.	65
Figura 51 – <i>Gate driver</i> DRO100D25A da <i>Supplier</i>	66
Figura 52 – Detalhe do circuito de acionamento dos relés.	67
Figura 53 – Resultado de Simulação da fonte auxiliar <i>flyback</i>	68
Figura 54 – format=plain	69
Figura 55 – Modelo 3D da placa de controle feita no <i>Altium Designer</i>	69
Figura 56 – Modelo 3D da placa de potência feita no <i>Altium Designer</i>	69
Figura 57 – Circuito de acionamento do contator.	70
Figura 58 – Foto da montagem 3D do protótipo do inversor bidirecional <i>Grid-Tied</i>	71
Figura 59 – Foto da montagem em rack do protótipo do inversor bidirecional <i>Grid-Tied</i>	72
Figura 60 – Demonstração do algoritmo DSOGI-PLL em sincronização com à rede.	73

Figura 61 – Formas de onda para o sistema alimentando cargas resistivas com 1,2 kW com filtro L de 520 μ H. Escalas - Tempo: 10 ms/div; Em amarelo a tensão de referência do PLL: 2 V/div; Em azul corrente da fase A: 5 A/div; Em verde corrente da fase B: 5 A/div; Em rosa a tensão da fase A da rede elétrica: 100 V/div.	74
Figura 62 – Formas de onda para o sistema alimentando cargas resistivas com 1,2 kW com filtro L de 1 mH. Escalas - Tempo: 10 ms/div; Em amarelo a tensão de referência do PLL: 2 V/div; Em azul corrente da fase A: 5 A/div; Em verde corrente da fase B: 5 A/div; Em rosa a tensão da fase A da rede elétrica: 100 V/div.	75
Figura 63 – Formas de onda para o sistema alimentando cargas resistivas com 1,2 kW com filtro LCL sem interleaved. Escalas - Tempo: 10 ms/div; Em amarelo a tensão de referência do PLL: 2 V/div; Em azul corrente da fase A: 5 A/div; Em verde corrente da fase B: 5 A/div; Em rosa a tensão da fase A da rede elétrica: 100 V/div.	76
Figura 64 – Inicialização do sistema para cargas resistivas com 600 W. Escalas - Tempo: 100 ms/div; Em amarelo a tensão de referência do PLL: 2 V/div; Em azul corrente da fase A: 5 A/div; Em verde corrente da fase B: 5 A/div; Em rosa a tensão da fase A da rede elétrica: 200 V/div.	76
Figura 65 – Degrau de 30% para 100% de uma carga total de 1,2 kW. Escalas - Tempo: 10 ms/div; Em azul corrente da fase A: 2 A/div; Em verde corrente da fase B: 2 A/div.	77
Figura 66 – Formas de onda para o sistema conectado à rede elétrica injetando 4 kW. Escalas - Tempo: 10 ms/div; Em amarelo a tensão de referência do PLL: 2 V/div; Em azul corrente da fase A: 20 A/div; Em verde corrente da fase B: 20 A/div; Em rosa a tensão da fase A da rede elétrica: 100 V/div.	78
Figura 67 – Formas de onda de corrente para a simulação do sistema com 4 kW, considerando os filtros propostos.	79
Figura 68 – Formas de onda para o momento da conexão do sistema a rede elétrica com $I_d = 2$. Escalas - Tempo: 10 ms/div; Em amarelo a tensão de referência do PLL: 2 V/div; Em azul corrente da fase A: 20 A/div; Em verde corrente da fase B: 20 A/div; Em rosa a tensão da fase A da rede elétrica: 100 V/div.	80

- Figura 69 – Formas de onda para respostas das correntes do sistema após degraus na referência de $I_d = 2$ A para $I_d = 8$ A, e depois para $I_d = 12$ A em conexão a rede elétrica. Escalas - Tempo: 10 ms/div; Em amarelo a tensão de referência do PLL: 2 V/div; Em azul corrente da fase A: 5 A/div; Em verde corrente da fase B: 5 A/div; Em rosa a tensão da fase A da rede elétrica: 100 V/div. 81
- Figura 70 – Formas de onda para o sistema injetando 7,6 kW na rede elétrica com filtro LCL. Escalas - Tempo: 5 ms/div; Em amarelo sinal do sensor de tensão da fase A: 5 V/div; Em azul sinal do sensor de corrente da fase B: 1 V/div; Em verde sinal do sensor da fase C: 1 V/div; Em rosa a corrente da fase A da rede elétrica: 17 A/div. 82
- Figura 71 – Formas de onda para respostas do controle de tensão do barramento CC na inicialização com TerraSAS em modo fonte de corrente e com cargas resistivas no lado CA de 1,2 kW. Escalas - Tempo: 10 ms/div; Em amarelo a tensão de referência do PLL: 2 V/div; Em azul corrente da fase A: 5 A/div; Em verde corrente da fase B: 5 A/div; Em rosa a tensão do barramento CC: 100 V/div. 82
- Figura 72 – Formas de onda para respostas do controle de tensão do barramento CC para degraus de carga no lado CA de 0,775 kW e 1,35 kW com TerraSAS em modo fonte de corrente. Escalas - Tempo: 10 ms/div; Em amarelo a tensão de referência do PLL: 2 V/div; Em azul corrente da fase A: 5 A/div; Em verde corrente da fase B: 5 A/div; Em rosa a tensão do barramento CC: 100 V/div. 83
- Figura 73 – Formas de onda para respostas do controle de tensão do barramento CC na inicialização no modo retificador PWM conectado à rede sem carga no lado CC. Escalas - Tempo: 10 ms/div; Em amarelo a tensão de referência do PLL: 2 V/div; Em azul corrente da fase A: 5 A/div; Em verde corrente da fase B: 5 A/div; Em rosa a tensão do barramento CC: 100 V/div. 84
- Figura 74 – Formas de onda para respostas do controle de tensão do barramento CC para um degrau de carga de 1,35 kW no lado CC no modo retificador PWM conectado à rede. Escalas - Tempo: 10 ms/div; Em amarelo a tensão de referência do PLL: 2 V/div; Em azul corrente da fase A: 5 A/div; Em verde corrente da fase B: 5 A/div; Em rosa a tensão do barramento CC: 100 V/div. 85

Figura 75 – Formas de onda para respostas do controle de tensão do barramento CC em regime permanente no modo retificador PWM conectado à rede com carga de 2,8 kW no lado CC. Escalas - Tempo: 10 ms/div; Em amarelo a tensão de referência do PLL 500 mV/div; Em azul corrente da fase A: 10 A/div; Em verde corrente do barramento CC: 5 A/div; Em rosa a tensão do barramento CC: 100 V/div.	85
Figura 76 – FFT da corrente da rede elétrica para as duas funções do sistema.	86
Figura 77 – Formas de onda para o sistema <i>Grid-Tied</i> trabalhando com potência reativa com referência $i_q \pm 12 A$. Escalas - Tempo: 10 ms/div; Em amarelo a tensão de referência do PLL 1 V/div; Em verde corrente da fase A: 20 A/div; Em rosa a tensão do barramento CC: 500 V/div.	88
Figura 78 – Formas de onda para inicialização do sistema integrado entre conversor de baterias e <i>Grid-Tied</i> com potência de 1,3 KW. Escalas - Tempo: 1 s/div; Em amarelo a tensão de referência do PLL 5 V/div; Em verde corrente da fase A: 20 A/div; Em rosa a tensão do barramento CC: 100 V/div.	89
Figura 79 – Formas de onda para aumento de corrente em rampa do sistema integrado entre conversor de baterias e <i>Grid-Tied</i> com potência de 1,3 KW. Escalas - Tempo: 1 s/div; Em amarelo a tensão de referência do PLL 5 V/div; Em verde corrente da fase A: 5 A/div; Em rosa a tensão do barramento CC: 100 V/div.	89
Figura 80 – Formas de onda para desligamento do sistema integrado entre conversor de baterias e <i>Grid-Tied</i> com potência de 1,3 KW. Escalas - Tempo: 1 s/div; Em amarelo a tensão de referência do PLL 5 V/div; Em verde corrente da fase A: 5 A/div; Em rosa a tensão do barramento CC: 100 V/div.	90

LISTA DE TABELAS

1	Definição dos setores pelos quadrantes do plano $\alpha\beta$	25
2	Condições para identificação dos setores através das componentes $\alpha\beta$	27
3	Aplicações das variáveis UVW para cada razão cíclica dos vetores ativos nos setores.	28
4	Sequência de aplicação dos vetores para os setores da SVM.	30
5	Razões cíclicas dos interruptores positivos para os diferentes setores.	30
6	Características dos inversores do sistema <i>Grid-Tied</i> para o projeto dos filtros de conexão	33
7	Fontes de tensão necessária para o projeto do <i>flyback</i>	67

SUMÁRIO

1	Introdução	13
1.1	Motivação e Contextualização	13
1.2	Objetivos do trabalho	17
1.3	Estrutura do Trabalho	17
2	Inversor Bidirecional <i>Grid-Tied</i>	18
2.1	Inversor fonte de tensão trifásico	18
2.2	Modulação do inversor VSI	20
2.2.1	Modulação por largura de pulso senoidal (SPWM)	21
2.2.2	Modulação por vetores espaciais (SVM)	22
2.3	Filtro de Conexão	30
2.3.1	Projeto do filtro L e LCL	33
2.4	Modelo dinâmico para o controle da corrente de saída	37
2.5	Modelo dinâmico para o controle da tensão do barramento CC	43
2.6	Estimativa da capacitância do barramento CC	45
2.7	Algoritmo de sincronização com a rede elétrica	45
2.7.1	SRF-PLL	46
2.7.2	DSOGI-PLL	47
2.8	Estratégia de controle do sistema	49
2.8.1	Malha <i>feedforward</i> de tensão	51
2.9	Discretização e amostragem	52
3	Resultados de simulação	54
3.1	Resultados do DSOGI-PLL	54
3.2	Controle de corrente	56
3.3	Controle de tensão	59
4	Protótipo implementado e resultados experimentais	63
4.1	Projetos das placas de controle e potência	64
4.1.1	Condicionamento de sinais	64
4.1.2	<i>Buffer</i> PWM	65
4.1.3	Sensores de tensão e corrente	66
4.1.4	Fonte auxiliar	67
4.1.5	Acionamento dos contadores	69
4.2	Montagem do sistema <i>Grid-Tied</i>	70
4.3	Resultados do sistema implementado	71
4.3.1	Validação do algoritmo de sincronismo	71
4.3.2	Controle de corrente	72

4.3.3	Controle de tensão	80
4.3.4	Sistema <i>Grid-tied</i> com potência reativa ($I_q > 0$ ou $I_q < 0$) . .	87
4.3.5	Integração do conversor de carregamento de baterias ao sistema <i>Grid-Tied</i>	87
5	Conclusões	91
	Apêndices	94
A	Artigos produzidos	94

1 INTRODUÇÃO

1.1 Motivação e Contextualização

Mesmo tendo sido criado na mesma época que o veículo à combustão (VC), datado do início do século XX, o veículo elétrico (VE) só entrou nos holofotes do mercado comercial nos últimas décadas. A título de exemplificação, em 1900, com o início da popularização dos veículos motores, de 4200 automóveis comercializados nos Estados Unidos (EUA), 38% eram VE. [1]

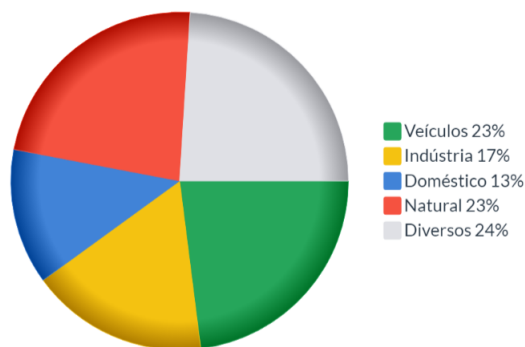
Com o desenvolvimento promovido pelo empresário Henry Ford nos anos seguintes, o VC mostrou maior eficiência para longas distâncias do que a que possibilitava a reduzida tecnologia de armazenamento de energia das baterias da época, e também maior velocidade no reabastecimento se comparado à recarga dos VEs. Atualmente (2023) os desenvolvimentos tecnológicos envolvendo baterias do tipo íons de lítio possibilitaram que VEs consigam autonomia equiparável à VCs, e, também são compatíveis com níveis de carregamento rápido (do inglês, *fast charge*) que aumentam a autonomia quando se fala em quilômetros/minuto, ou seja, quantos quilômetros o veículo ganha de autonomia permanecendo determinado período na estação de recarga. [2, 3]

Além da equiparação tecnológica alcançada, a eletrificação do transporte também está em pauta por causa dos grandes debates atuais em relação à preservação do meio ambiente associados à emissão constante de gases que causam o efeito estufa como o gás carbônico (CO_2). Este setor é um dos principais contribuidores, sendo responsável por aproximadamente um quarto da emissão de CO_2 , como apresentado na comparação da Figura 1 [4]. Além disso, estudos apontam a estimativa de que em até 30 anos as reservas de combustíveis fósseis irão se esgotar caso o consumo de energia atual venha a continuar seu crescimento de acordo com o crescimento populacional. Assim, neste contexto, os VEs entrariam para desacelerar este processo como uma nova alternativa para suprir esta demanda. [5]

Para tentar resolver estes problemas, governos mundiais, tais como Alemanha, Reino Unido, Holanda, Noruega, França e Índia, vêm incentivando e facilitando a eletrificação das frotas de veículos para diminuir os danos causados ao meio ambiente pelo transporte, o que até então se mostra a melhor e única alternativa para conter o aumento das emissões [6]. Fato que corrobora com isso é que estes países anunciaram que têm o objetivo de possuir 100% da sua frota de veículos com zero emissão de CO_2 até 2040 ou 2050 [6].

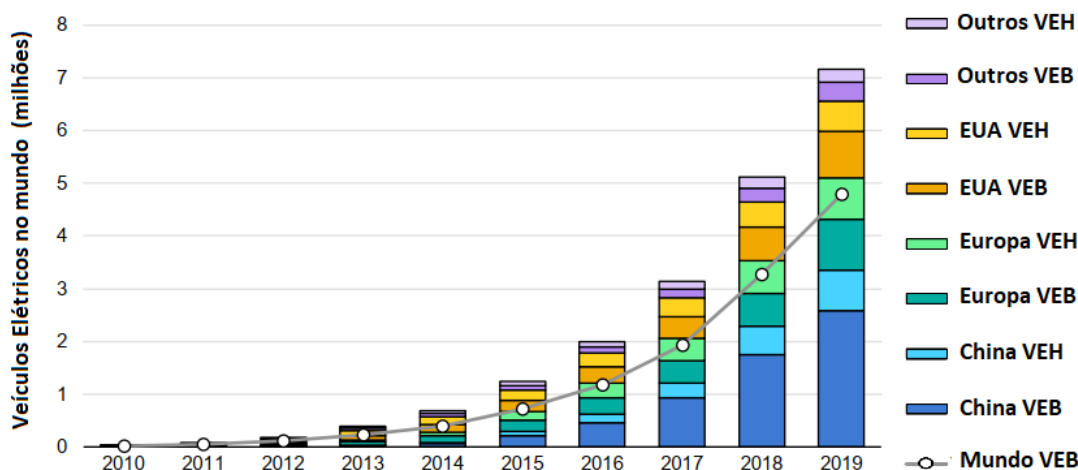
A Figura 2 mostra o crescimento exponencial do número de veículos elétricos em algumas partes do mundo, em específico para veículos híbridos (VEH) com conexão à rede elétrica para carregamento (do inglês, *plug-in*), e também para veículos totalmente à bateria (VEB) também *plug-in*.

Figura 1. Fontes de emiss o de CO₂ mundial.



Fonte: Adaptado de [4].

Figura 2. Crescimento do n mero de ve culos el tricos de 2010 a 2019.



Fonte: Adaptado de [6].

Os esfor os para a populariza o dos VEs tamb m devem ser aplicados na cria o de eletropostos compartilhados que devem ser espalhados pelas grandes metr poles e pequenos centros. Desta forma, os propriet rios dos ve culos poderiam efetuar a recarga sempre que poss vel o que aumentaria a autonomia. De acordo com a ABVE (Associa o brasileira do ve culo el trico) [7], existem apenas 1,250 pontos de recarga p blica para ve culos el tricos no Brasil, sendo destes, 47% localizados em S o Paulo [7]. Para efeito de compara o, o continente europeu j  contava com 375 mil pontos de recarga em 2021, onde a venda de VEs em rela o a VCs j  chega a 20% [7, 8] das comercializa es. No Brasil j  se observa a tend ncia da entrada dos ve culos el tricos no mercado. Em novembro de 2022 foram totalizadas 43.658 unidades vendidas no ano, j  25% acima do ano de 2021 todo [7]. N meros que s  tendem a crescer com o desenvolvimento de novos pontos de recarga que trariam mais incentivo aos novos compradores. Pesquisas como a de [9] demonstram essa evolu o do cen rio brasileiro em rela o aos ve culos el tricos, por m, ainda citam

falta de iniciativa para alavancar ainda mais esse crescimento.

Com este objetivo, a Ag ncia Nacional de Energia El trica (ANEEL) vem ao longo dos  ltimos anos financiando e firmando parcerias para executar projetos de mobilidade urbana visando estimular a utiliza c o e a visibilidade dos VEs. Um deles   o *Desenvolvimento de Sistema Nacional de Recarga R pida de Bicicletas e Ve culos El tricos para Aplica c es V2G (Vehicle to Grid)*, o qual j  instalou o total de 5 postos de recarga de bicicletas e carros el tricos por S o Lu s-MA, Bel m-PA, Teresina-PI, Macei -AL e na cidade universit ria de Campo Grande-MS [10], como ilustrado pela Figura 3.

Figura 3. Posto de recarga para carros e bicicletas el tricas em Teresina.



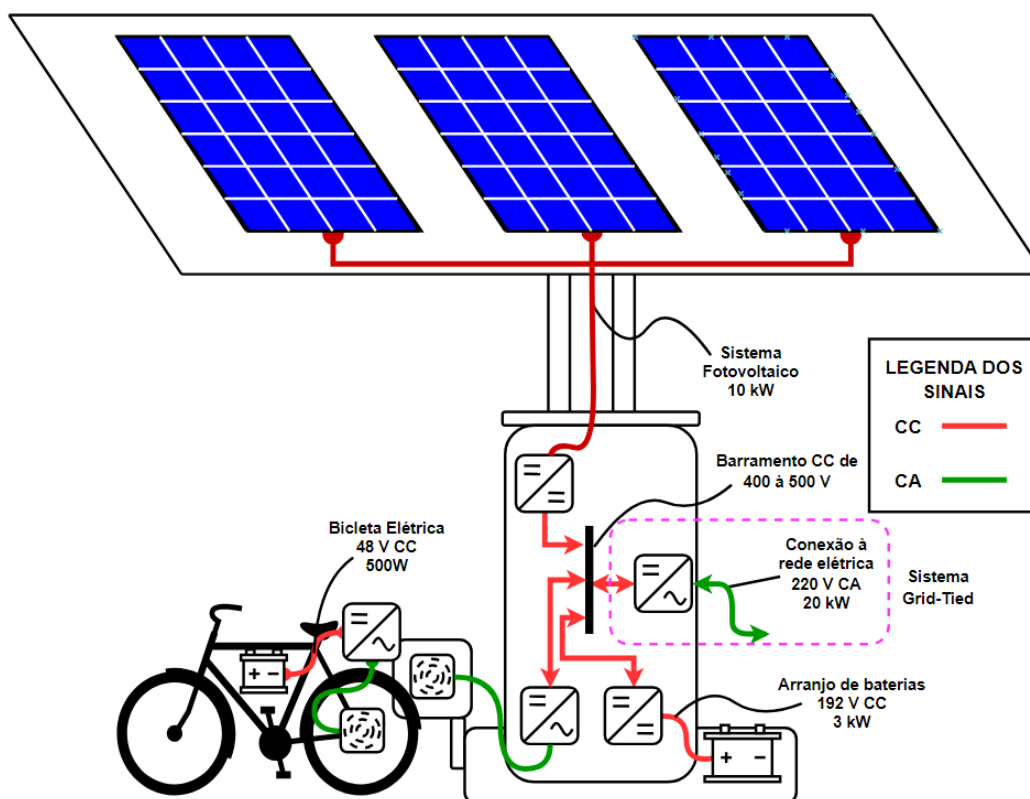
Fonte: [11].

Al m das instala c es dos eletropostos, o projeto tamb m conta com uma vertente que visa o desenvolvimento de um eletroposto para bicicletas el tricas exclusivamente para que a recarga destas seja feita de modo sem fio (do ingl s, *Wireless*). O sistema em quest o   uma microrrede que conta com baterias para funcionamento quando a rede estiver desconectada (do ingl s, *Off-grid*). Tamb m no telhado   disposto um arranjo fotovoltaico compondo uma gera c o distribu da local, e por fim as bicicletas el tricas. Todas estas cargas, ou fontes de energia, estar o interconectadas   rede el trica. O diferencial deste posto de recarga   a metodologia ve culo para a rede (do ingl s, *V2G - Vehicle to Grid*), a qual utiliza as baterias dos ve culos el tricos para que o sistema funcione como uma gera c o distribu da, e, possa injetar pot ncia na rede el trica e assim trazer benef cios para a rede, como melhor estabilidade e qualidade de energia [12]. Outra vertente futura que pode ser explorada pelo sistema V2G   a compensa c o tarif ria da conta de energia el trica baseado na energia drenada das bicicletas el tricas dos consumidores.

O esbo o da microrrede do posto de recarga   mostrado na Figura 4 para efeito

de ilustra  o. O sistema conta com um total de 3 fontes de energia, sendo a bicicleta el trica, banco de baterias estacion rio e o sistema fotovoltaico, com os dois primeiros possuindo fluxo de pot ncia bidirecional. Cada fonte possui um conversor para fazer a interface entre esta e o barramento CC que pode ter sua tens o variando entre 400 e 500 V cont nuos. No caso do carregador *Wireless* da bicicleta, este   composto de dois inversores monof sicos, sendo um no prim rio e outro no secund rio do conversor, para possibilitar assim o fluxo de pot ncia nos dois sentidos pelas bobinas acopladas nas rodas das bicicletas. Para o sistema fotovoltaico, o conversor faz tanto a eleva  o de tens o quanto o rastreamento do ponto de m xima pot ncia (do ingl s MPPT - *Maximum power point tracking*). Em rela  o  s baterias, o conversor controla o fluxo de pot ncia destas de acordo com as necessidades do eletroposto.

Figura 4. Microrrede do posto de recarga de bicicletas el tricas via *Wireless* com metodologia V2G.



Fonte: Pr prio Autor.

Em sua fun  o conectado   rede el trica (do ingl s, *On-grid*), o eletroposto t m seu barramento CC principal controlado pelo conversor bidirecional que faz interface   rede el trica, ou conectado   rede (do ingl s, *Grid-Tied*). Este conversor est  destacado na Figura 4, em rosa. Para isso todos os outros conversores conectados ao barramento CC principal funcionam como fontes de corrente injetando ou drenando energia el trica do ramo capacitivo equivalente e, de acordo com a corrente resultante

no ponto de conex o o conversor *Grid-Tied* dever  absorver energia da rede el trica ou injetar o excedente, dado a gera o dos m dulos fotovoltaicos ou do V2G das bicicletas el tricas.

Esta disserta o apresenta o estudo te rico e aplica o experimental do controle de um sistema de dois inversores em paralelo para interface e controle de tens o de um barramento de tens o continua principal da microrrede de um posto de recarga de bicicletas el tricas com metodologia ve culo para rede (do ingl s, V2G - vehicle to grid) quando conectado   rede el trica de distribui o.

1.2 Objetivos do trabalho

Segue um resumo dos principais objetivos do trabalho:

- Compreender o funcionamento do inversor trif sico;
- Estudo e projeto dos filtros de conex o   rede el trica;
- Estudo e implementa o do algoritmo de sincroniza o   rede el trica;
- Estudo e implementa o das malhas de controle de tens o e corrente;
- Implementa o do sistema de controle completo;
- Realizar simula es para valida o do projeto dos sistema de controle;
- Projeto de placas de circuito impresso (PCB) para o funcionamento do sistema;
- Montar o sistema *Grid-Tied* em laborat rio;
- Extrair resultados experimentais do prot tipo constru do.

1.3 Estrutura do Trabalho

Este documento   dividido nos seguintes c pulos:

- No Cap tulo 2   feito o estudo do inversor trif sico com as an lises est ticas e din micas, contemplando o projeto dos controladores e dos filtros de conex o e, por fim, do algoritmo de sincroniza o   rede el trica;
- No Cap tulo 3 s o apresentados os resultados de simula o do sistema completo para valida o da teoria apresentada no cap tulo anterior;
- No Cap tulo 4   discutida a constru o do prot tipo do sistema proposto e em sequ ncia s o apresentados o resultados experimentais;
- Por fim, s o feitas as conclus es do trabalho.

2 INVERSOR BIDIRECIONAL *GRID-TIED*

A função do inversor bidirecional, para o eletroposto de recarga de bicicletas sem fio, é a regulação do barramento de corrente contínua (CC) de modo que este permaneça em uma referência de tensão pré-determinada para que as fontes de energia do sistema possam trabalhar no modo corrente, ou seja, forneçam ou absorvam corrente do barramento como desejado. Neste contexto, quem lida com o fluxo de corrente para à rede de forma a fazer a manutenção do nível de tensão do sistema é o inversor *Grid-Tied*.

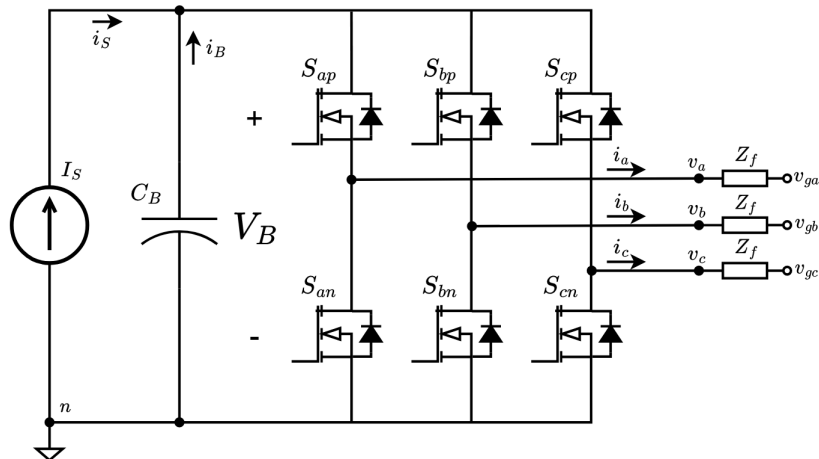
Dada esta funcionalidade, este conversor deve operar na sua função inversor trifásico, quando o equivalente das correntes das fontes de energia no ponto comum do barramento CC injeta corrente, ou seja, o consumo de potência pelo lado CC do eletroposto está com um excedente de potência, e esta deve ser enviada à rede de distribuição. E por fim, também deve atuar como um retificador PWM trifásico, quando o sistema está com um *déficit* de potência, e esta falta precisa ser atendida pela rede elétrica de distribuição através do conversor, e ainda mantendo o nível de tensão desejada.

Assim, o presente capítulo tem como objetivo apresentar os princípios de funcionamento do inversor bidirecional, dimensionar os filtros de entrada e a partir destes obter o modelo dinâmico para o controle.

2.1 Inversor fonte de tensão trifásico

Normalmente para acoplar fontes de energia CC à rede elétrica de distribuição é utilizado o inversor fonte de tensão, ou mais popularmente conhecido pelo termo em inglês *Voltage Source Inverter (VSI)*. Em sua topologia mais simples, porém também a mais empregada [13], o VSI é apresentado conforme Figura 5.

Figura 5. Inversor fonte de tensão trifásico.



Fonte: Adaptado de [13].

O conversor pode funcionar tanto em modo elevador (*boost*) quando a energia flui da rede para o barramento CC, como também em modo abaixador (*buck*) quando este fluxo se inverte dado a bidirecionalidade do conversor. O VSI pode apresentar para as tensões de fase V_B ou 0, o que faz com que seja classificado como um conversor de dois níveis [13]. Visto que ao acionar duas chaves do mesmo braço colocaria o barramento CC em curto-circuito, vê-se a necessidade de definir de forma matemática (1) o estado de cada interruptor S_{xy} .

$$s_{xy}(t) = \begin{cases} 1, & \text{se } S_{xy} \text{ está conduzindo} \\ 0, & \text{se } S_{xy} \text{ está bloqueado} \end{cases} \quad (1)$$

onde $x \in \{a, b, c\}$ e $y \in \{p, n\}$.

Assim, para não ocorrer curto-circuito, cada braço do inversor deve-se garantir a condição dada pela expressão (2).

$$s_{xp} + s_{xn} = 1 \quad (2)$$

A partir de (2) pode-se definir os estados dos interruptores de cada braço de forma binária como mostrado na Figura 6, e também pela função comutação (3).

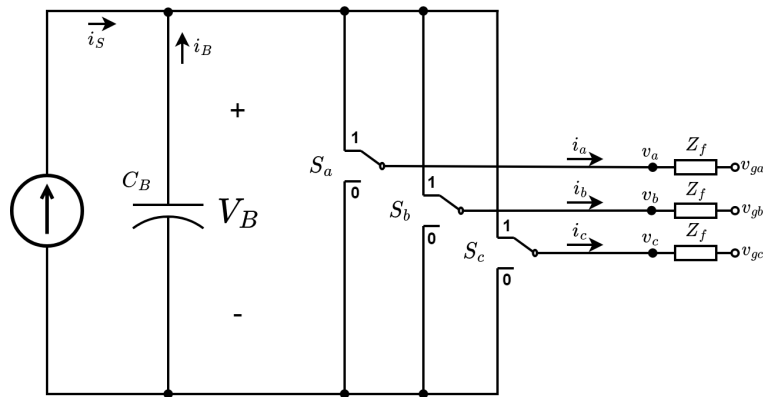
$$s_x = s_{xp} = 1 - s_{xn} \quad (3)$$

Assim, o valor de cada ponto de tensão v_x pode ser expressado por (4).

$$v_{xn} = s_x \cdot V_B \quad (4)$$

onde $x \in \{a, b, c\}$.

Figura 6. Inversor fonte de tensão trifásico.



Fonte: Adaptado de [13].

A análise posterior do modelo dinâmico do sistema se utilizará da suposição que os sinais de alta frequência gerados pela comutação das interruptores do inversor

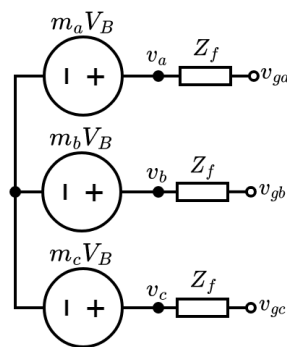
ser o atenuados pelo filtro (passa-baixas) de conex o   rede el trica. Sendo assim, as grandezas instant neas podem ser consideradas como seus valores m dio calculados dentro do per odo de comuta o T_s , sem que nenhuma altera o nas vari veis medidas sejam perdidas para possibilitar o controle do sistema [14, 15].

Com isso, para obter o modelo m dio, deve-se descrever o valor m dio da fun o comuta o (3), como em (5).

$$m_x = \frac{1}{T_s} \int_{t-T_s}^t s_x(t) dt \quad (5)$$

A partir de (5) pode-se admitir cada bra o do inversor como fontes de tens o controladas que possui uma amplitude em fun o do valor do barramento CC (V_B) e tamb m da comuta o m_x , chegando assim ao modelo m dio instant neo mostrado na Figura 7, o qual ser  essencial para an lise e projeto do controle do sistema.

Figura 7. Modelo m dio do inversor fonte de tens o trif sico.



Fonte: Adaptado de [13].

At  ent o com o objetivo de se generalizar a an lise n o se definiu o filtro de conex o Z_f que ir  atenuar as harm nicas de corrente para conex o   rede el trica, por m, esta escolha   fundamental para a qualidade da forma de onda da corrente, e tamb m como ser  a din mica do sistema (modelo din mico) para o projeto dos controladores. Este t pico ser  abordado ainda neste cap tulo, na se o 3, sendo o seguinte t pico sobre como   feito o chaveamento dos interruptores de cada bra o do inversor.

2.2 Modula o do inversor VSI

A modula o do inversor bidirecional VSI tem um papel fundamental para os par metros de entrada e sa da do conversor. A distor o harm nica e consequentemente a forma de onda da corrente que   absorvida ou injetada na rede el trica, a amplitude necess ria do barramento CC para atingir o desejado valor eficaz de tens o de linha do inversor, que tamb m est  ligado aos esfor os que cada semicondutor dever  suportar, o qual tamb m est  diretamente associado  s perdas por

comutac ao [15], s ao pontos importantes de an alise para escolha de uma t ecnica de modula ao.

Se tratando de modula ao/chaveamento de um conversor est atico, a principal t ecnica que   abordada na maioria dos trabalhos   a modula ao por largura de pulso (do ingl es, *Pulse Width Modulation*). Para um inversor VSI existem diversas t ecnicas que fazem com que a onda modulante seja senoidal e a portadora uma dente de serra com rampa de subida e descida (do ingl es, *Up-Down*) [15]. A diferen a entre as t ecnicas existentes pode ser dita como a forma de onda da modulante, que pode n ao ser puramente senoidal propositalmente, casos estes em que se obt em melhores resultados [15, 16].

2.2.1 Modula ao por largura de pulso senoidal (SPWM)

A modula ao por largura de pulso senoidal, do ingl es *Sinusoidal Pulse Width Modulation* (SPWM),   uma das t ecnicas mais utilizadas para a modula ao de inversores tanto monof asicos como trif asicos. O conceito funciona a partir da compara ao do sinal da portadora do chaveamento com uma modulante em formato senoidal para cada bra o do inversor, como   poss ivel visualizar na Figura 8, para valores normalizados. Para inversores trif asicos s ao geradas tr es ondas senoidais defasadas de 120 graus entre si, assim os pulsos gerados pelo comparador de cada bra o acionam as chaves superiores, e seus sinais complementares as inferiores.

Assim como no inversor monof asico, no trif asico, o objetivo   gerar o sinal senoidal entre os bra os do inversor. Neste caso, as tens oes de linha v_{ab} , v_{bc} e v_{ca} , que possuem a sa da com n iveis de tens ao alternado como mostrado na Figura 8, e com larguras de pulso senoidais, fazendo poss ivel a filtragem da corrente atrav es de elementos passivos. Assim conseguindo extrair a componente fundamental que reflete a onda modulante senoidal.

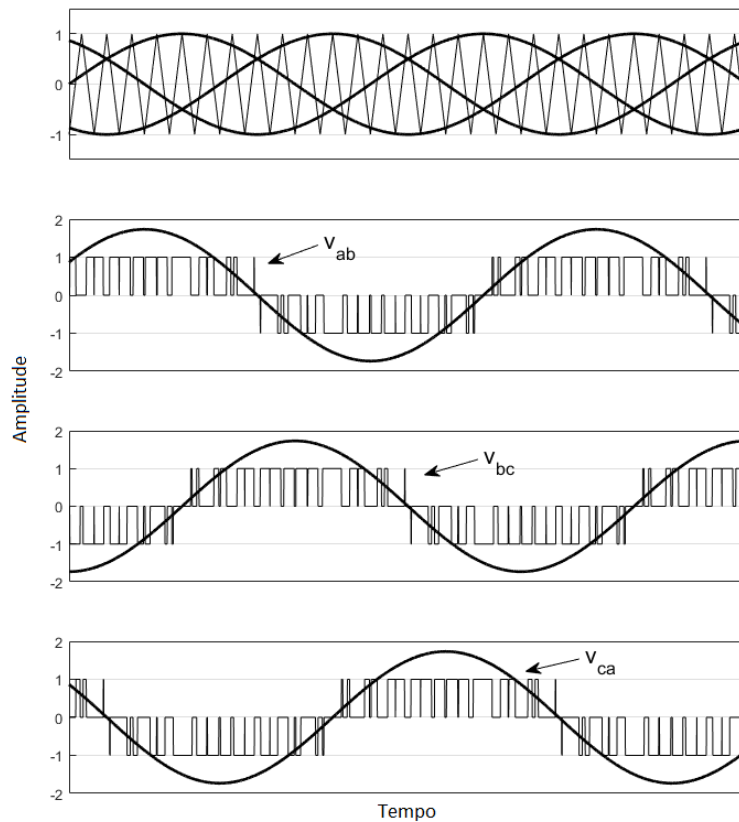
Adaptando a Figura 6 para a Figura 9 que possui uma tens ao fixa total V_B , por m, com um ponto neutro   poss ivel realizar a modelagem de acordo com [16]. Sendo assim as tens oes fase-neutro do inversor VSI podem ser descritas como em (6).

$$\begin{cases} v_{aN}(t) = \frac{V_B}{2}[msen(wt) + e_i(t)] \\ v_{bN}(t) = \frac{V_B}{2}[msen(wt + \frac{2\pi}{3}) + e_i(t)] \\ v_{cN}(t) = \frac{V_B}{2}[msen(wt + \frac{4\pi}{3}) + e_i(t)] \end{cases} \quad (6)$$

onde m   o  ndice de modula ao para cada bra o do inversor, no caso assumindo iguais, e $e_i(t)$ s ao as harm onicas injetadas por cada bra o.

Com as tens oes de linha definidas por (7)

Figura 8. Modula o por largura de pulso senoidal (SPWM).



Fonte: Pr prio Autor.

$$\begin{cases} v_{ab}(t) = v_{aN} - v_{bN} = \frac{V_B}{2} \sqrt{3} m \text{sen}(wt) \\ v_{bc}(t) = \frac{V_B}{2} \sqrt{3} m \text{sen}(wt + \frac{2\pi}{3}) \\ v_{ca}(t) = \frac{V_B}{2} \sqrt{3} m \text{sen}(wt + \frac{4\pi}{3}) \end{cases} \quad (7)$$

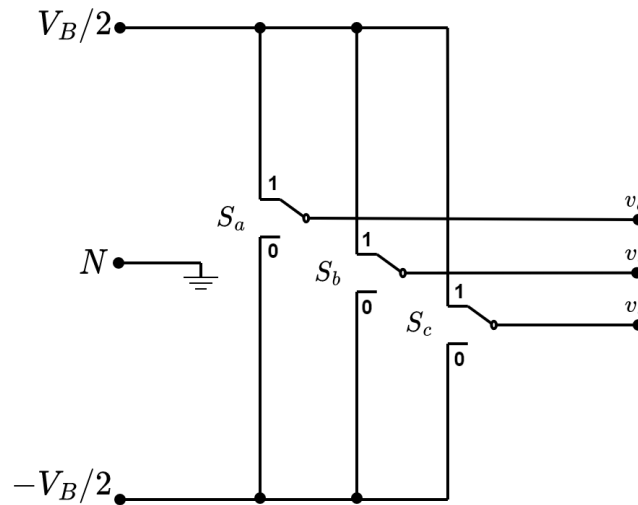
Observa-se que a amplitude m xima poss vel para um inversor VSI funcionando atrav s da SPWM   de $\sqrt{3}V_B/2$, ou seja, o barramento CC n o t m sua amplitude totalmente aproveitada por este tipo de modula o, tendo muitas vezes elevar o n vel de tens o para atender o funcionamento do sistema. A t cnica que ser  abordada em sequ ncia   mais elaborada e consegue aproveitar 100% do barramento CC dispon vel.

2.2.2 Modula o por vetores espaciais (SVM)

A modula o por vetores espaciais ganhou muito espa o nas aplica es ao longo dos anos com o r pido desenvolvimento da eletr nica embarcada e dos microcontroladores para facilitar sua implementa o [16].

Se trata de um t cnica que prop e benef cios tanto para o m ximo aproveita-

Figura 9. Modelo do inversor trifásico para SPWM.



Fonte: Próprio Autor.

mento do barramento, como também para alcançar melhores índices de qualidade na corrente de saída contribuindo para a diminuição das componentes harmônicas através do cálculo do tempo de condução dos interruptores de forma isolada, trazendo assim mais graus de liberdade na hora do chaveamento do inversor trifásico [15].

A modulação vetorial possui oito combinações possíveis para os interruptores do inversor trifásico. Partindo do vetor nulo $\vec{V}_0 = (000)$ até outro vetor nulo $\vec{V}_7 = (111)$ (nulo pois a diferença de tensão entre os braços do inversor nestes estados é igual a 0) têm-se 8 possibilidades alterando-se os valores de cada braço entre 0 e 1, conforme ilustrado na Figura 10.

Os outros seis vetores \vec{V}_{1-6} são definidos como vetores ativos e compõem o espaço vetorial da modulação no plano $\alpha\beta$, pois a SVM propõe o chaveamento através de um único vetor de referência que é composto de dois vetores dos 8 presentes para cada setor do espaço vetorial.

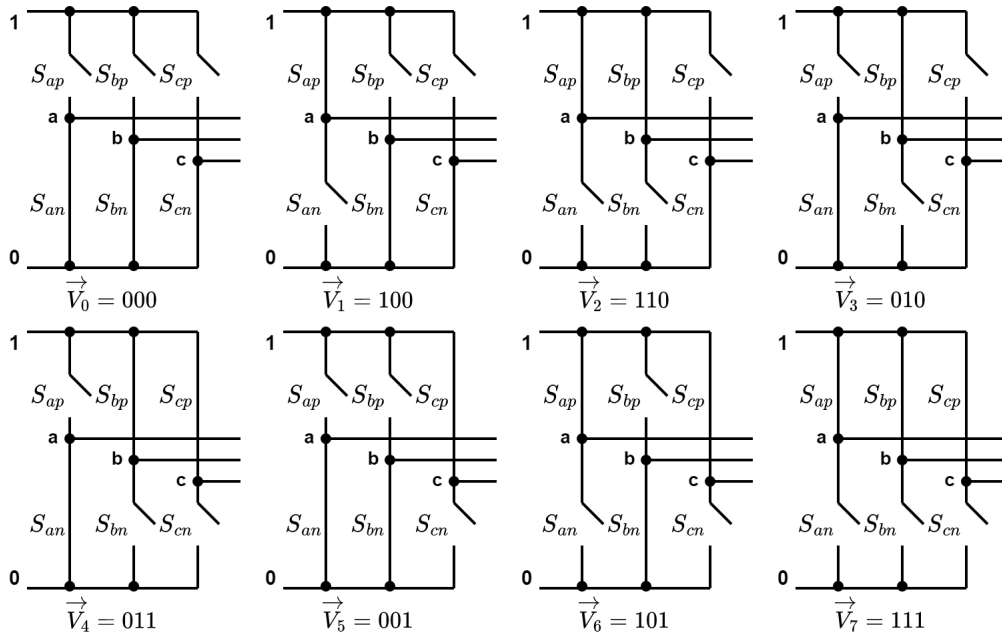
Para iniciar o estudo matemático da SVM primeiro defini-se a transformação do referencial estacionário abc para o sistema ortogonal $\alpha\beta$, como apresentado pela transformada de Clarke por (8).

$$\begin{bmatrix} v_\alpha \\ v_\beta \end{bmatrix} = \frac{2}{3} \begin{bmatrix} 1 & -1/2 & -1/2 \\ 0 & \sqrt{3}/2 & -\sqrt{3}/2 \end{bmatrix} \begin{bmatrix} v_a \\ v_b \\ v_c \end{bmatrix} \quad (8)$$

Com isso o vetor referência pode ser definido pela soma das componentes dos eixos ortogonais como mostrado

$$\vec{V} = v_\alpha + jv_\beta \quad (9)$$

Figura 10. As oito possibilidades do estado dos interruptores para um VSI trif asico.



Fonte: Adaptado de [15].

Atrav es de (9) pode-se definir por exemplo o primeiro vetor $\vec{V}_1 = (100)$, conforme (10).

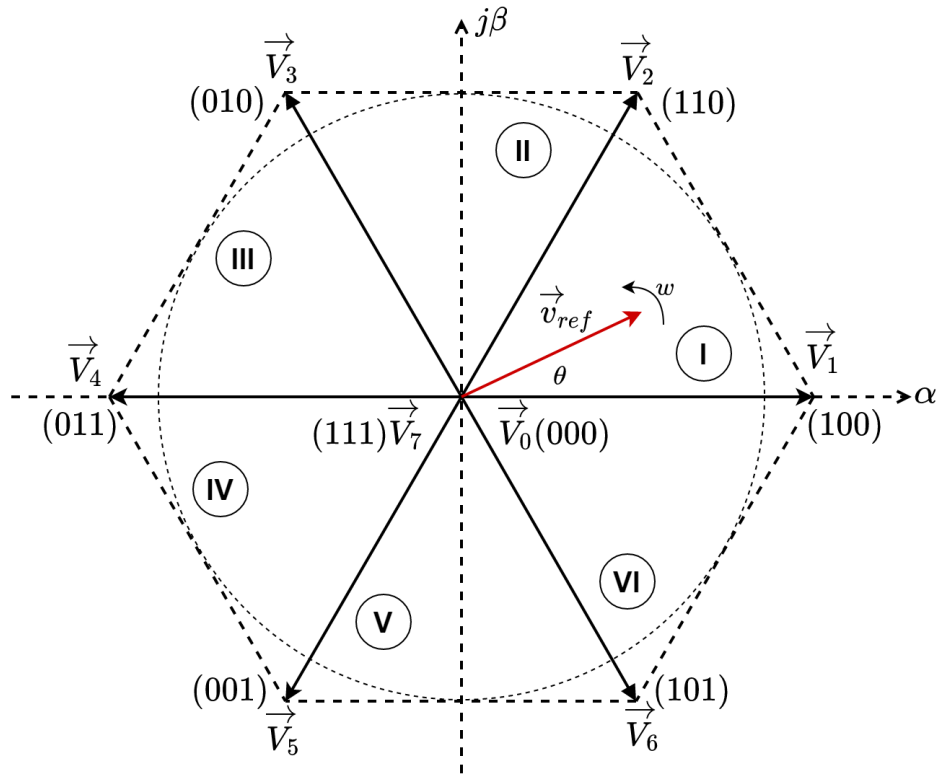
$$\vec{V}_1 = \begin{bmatrix} v_\alpha \\ v_\beta \end{bmatrix} = \frac{2}{3} \begin{bmatrix} 1 & -1/2 & -1/2 \\ 0 & \sqrt{3}/2 & -\sqrt{3}/2 \end{bmatrix} \begin{bmatrix} V_B \\ 0 \\ 0 \end{bmatrix} = \frac{2}{3}V_B + j0 = \frac{2}{3}V_B e^{j0} \quad (10)$$

Ao continuar a defini o dos vetores desta forma, observa-se que os vetores n os, ou ativos, s o defasados entre si de 60° e apresentam a mesma amplitude, o que pode ser generalizado por (11). Al m disso, tamb m pode-se agora representar o espa o vetorial definido pelo hex gono dos vetores ativos, e os nulos ao centro, de acordo com a Figura 11.   poss vel observar que o espa o entre os vetores s o denominados como setores, e de acordo com que o vetor refer ncia (\vec{v}_{ref}) se move no espa o vetorial com uma velocidade angular (w), este   representado pela soma vetorial dos vetores ativos adjacentes que s o estacion rios. Quando o \vec{v}_{ref} d  uma volta completa pelo hex gono t m-se um per odo completo da onda senoidal do inversor VSI, sendo a frequ ncia definida na velocidade angular com que o vetor percorre o espa o vetorial.

$$\vec{V}_k = \begin{cases} 0 & , \text{ para } k = 0,7 \\ \frac{2}{3}V_B e^{j(k-1)\frac{\pi}{3}} & , \text{ para } k = 1...6 \end{cases} \quad (11)$$

Para o funcionamento da SVM   necess rio identificar os setores em que \vec{v}_{ref}

Figura 11. Hex agono do espa o vetorial do vetor refer ncia nos eixos ortogonais.



Fonte: Adaptado de [15].

est a ao longo do periodo de comuta o. Uma forma de iniciar essa an lise   separar os setores pelos quadrantes do plano ortogonal $\alpha\beta$ como mostrado na Tabela 1.

Analisando o tri ngulo formado pelas componentes $\alpha\beta$ na Figura 12 pode-se definir o  ngulo entre estas, e por exemplo, caso o vetor possua  ngulo menor que 60°   evidente que esteja no setor I.

Tabela 1. Defini o dos setores pelos quadrantes do plano $\alpha\beta$.

Quadrantes	Defini�es	Setores
1	$v_\alpha > 0$ e $v_\beta > 0$	I e II
2	$v_\alpha < 0$ e $v_\beta > 0$	II e III
3	$v_\alpha > 0$ e $v_\beta < 0$	IV e V
4	$v_\alpha < 0$ e $v_\beta < 0$	V e VII

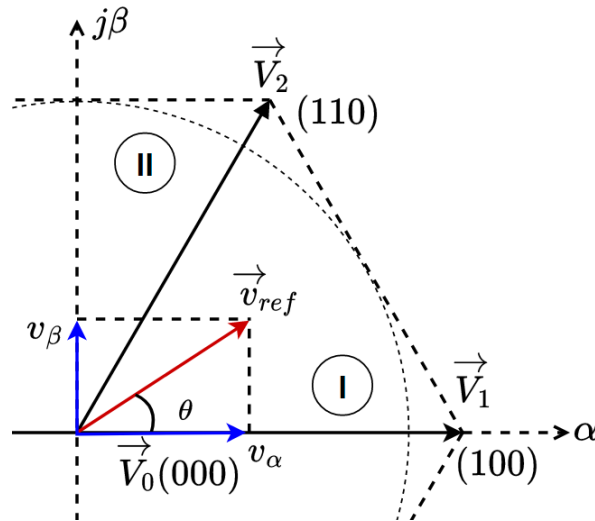
Logo para o  ngulo entre as componentes $\alpha\beta$ pode-se dizer que

$$\tan \theta = \frac{v_\alpha}{v_\beta} \tag{12}$$

E assim, para o exemplo dado, no limite entre os setores I e II t m-se $\tan(60^\circ) = \sqrt{3}$, e com isso   poss vel chegar as condi es para definir os setores do 1  Quadrante em (13).

$$1^{\circ} \text{ Quadrante} \begin{cases} \sqrt{3}v_{\alpha} - v_{\beta} > 0 \rightarrow \text{Setor I} \\ \sqrt{3}v_{\alpha} - v_{\beta} < 0 \rightarrow \text{Setor II} \end{cases} \quad (13)$$

Figura 12. Detalhe do triângulo do vetor referência.



Fonte: Adaptado de [15].

Aplicando a mesma análise trigonométrica para os quadrantes seguintes, e assim de acordo com (14) consegue-se criar três variáveis que a partir da análise de seu sinal defini-se o setor em que o vetor referência se encontra a partir da Tabela 2. Isto acaba facilitando a implementação do algoritmo da SVM pois outra opção seria a cada ciclo de controle do microcontrolador executar o cálculo trigonométrico do ângulo do vetor referência, no caso abordado os valores de $v_{\alpha\beta}$ são cálculos simples de soma e multiplicação por uma componente trigonométrica que será calculada obrigatoriamente dentro do algoritmo de sincronização com a rede elétrica, que será abordado na seção 7 desse mesmo capítulo.

$$\begin{cases} C_1 = v_{\beta} \\ C_2 = \sqrt{3}v_{\alpha} - v_{\beta} \\ C_3 = \sqrt{3}v_{\alpha} + v_{\beta} \end{cases} \quad (14)$$

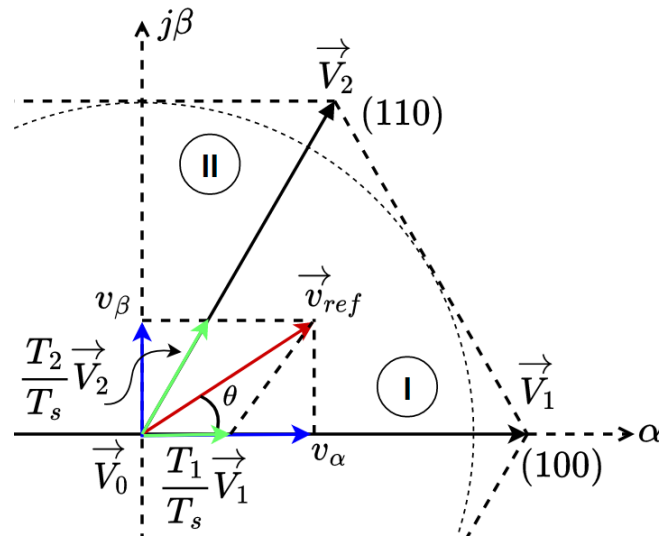
A definição dos tempos de duração dos vetores adjacentes e nulos em um período de comutação T_s é parte fundamental da modulação. Este tem referência com a razão cíclica com que o conversor opera, ou índice de modulação, dado que os tempos dos vetores ativos são dependentes entre si por serem os formadores do vetor referência, ou seja, a parte ativa da razão cíclica. Como ilustrado na Figura 13 para o exemplo de \vec{v}_{ref} no setor I, quanto menor forem os tempos de \vec{V}_1 e \vec{V}_2 maior serão os tempos dos vetores nulos \vec{V}_0 ou \vec{V}_7 , ou seja, menor será o índice de modulação.

Presumi-se que a frequência de comutação dos interruptores do conversor é muito

Tabela 2. Condições para identificação dos setores através das componentes $\alpha\beta$.

Setores	C_1	C_2	C_3
1	> 0	> 0	≥ 0
2	> 0	≤ 0	> 0
3	> 0	≤ 0	< 0
4	≤ 0	< 0	≤ 0
5	≤ 0	≥ 0	< 0
6	≤ 0	> 0	≥ 0

Figura 13. Detalhe do triângulo do vetor referência composto a partir das componentes dos vetores adjacentes e nulo.



Fonte: Adaptado de [15].

maior que a frequência fundamental da tensão senoidal de saída, o que permite assumir que T_s é constante, e logo pode-se escrever o \vec{v}_{ref} como

$$\vec{v}_{ref} = \frac{T_1}{T_s} \vec{V}_1 + \frac{T_2}{T_s} \vec{V}_2 + \frac{T_0}{T_s} (\vec{V}_0 \text{ ou } \vec{V}_7) \quad (15)$$

Onde T_1 e T_2 representam os intervalos de acionamento dos respectivos vetores \vec{V}_1 e \vec{V}_2 , e T_0 o tempo de aplicação dos vetores nulos. Assim, o período de comutação é dado como

$$T_s = T_0 + T_1 + T_2 \quad (16)$$

Partindo de (9) e (11), pode-se definir \vec{v}_{ref} , para o Setor I,

$$\vec{v}_{ref} = v_\alpha + v_\beta = \frac{T_1}{T_s} |\vec{V}_1| e^{j0} + \frac{T_2}{T_s} |\vec{V}_2| e^{j\pi/3} = \frac{T_1}{T_s} |\vec{V}_1| + \frac{T_2}{T_s} |\vec{V}_2| \left(\frac{1}{2} + j \frac{\sqrt{3}}{2} \right) \quad (17)$$

Substituindo as magnitudes dos vetores ativos em (17) como definido em (11), e

separando as partes referentes a α e β , obt em-se

$$\begin{cases} v_\alpha = \frac{T_1}{T_s} \frac{2}{3} V_B + \frac{T_2}{T_s} \frac{1}{3} V_B \\ v_\beta = \frac{T_2}{T_s} \frac{\sqrt{3}}{3} V_B \end{cases} \quad (18)$$

Resolvendo (18) para os tempos dos vetores ativos T_1 e T_2 , e tamb em substituindo a rela o das tens es pelos respectivos  ndices de modula o $m_{\alpha\beta} = \sqrt{3}v_{\alpha\beta}/V_B$, obt em-se

$$\begin{cases} T_1 = \frac{T_s}{2} (\sqrt{3}m_\alpha - m_\beta) \\ T_2 = T_s m_\beta \end{cases} \quad (19)$$

Reescrevendo (19), define-se as raz es dos per odos em que os vetores s o aplicados em rela o ao per odo de comuta o do conversor T_s , no Setor I, como

$$\begin{cases} t_1 = \frac{T_1}{T_s} = \frac{1}{2} (\sqrt{3}m_\alpha - m_\beta) \\ t_2 = \frac{T_2}{T_s} = m_\beta \end{cases} \quad (20)$$

Generalizando (20) para os demais setores   poss vel definir vari veis mostradas em (20) que poder o generalizar o c culo dos tempos de aplica o dos vetores de acordo com a Tabela 3. Observando o Setor I v -se que $t_1 = -W$ e $t_2 = U$, e a Tabela 3 generaliza utiliza o das vari veis criadas para os tempos t_n e t_{n+1} destinados aos demais setores [17].

$$\begin{cases} U = m_\beta \\ V = \frac{1}{2} (\sqrt{3}m_\alpha + m_\beta) \\ W = \frac{1}{2} (-\sqrt{3}m_\alpha + m_\beta) \end{cases} \quad (21)$$

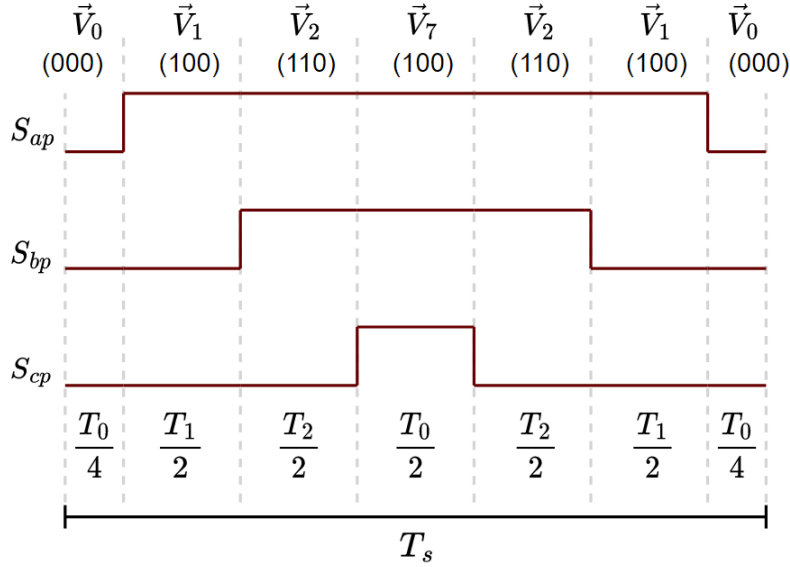
Tabela 3. Aplica es das vari veis UVW para cada raz o c clica dos vetores ativos nos setores.

Setores	1	2	3	4	5	6
t_n	-W	W	U	-U	-V	V
t_{n+1}	U	V	-V	W	-W	-U

  necess rio aplicar a sequ ncia dos vetores para cada setor em um determinado per odo T_s baseado nos bra os do inversor trif sico. A sequ ncia que ser  aplicada  

denominada como simétrica, como apresenta a Tabela 4, e ilustrada para um período de comutação do Setor I na Figura 14.

Figura 14. Pulsos dos interruptores positivos S_{abc_p} para o setor I.



Fonte: Adaptado de [15].

Pela ilustração e das definições dos vetores é possível observar que o interruptor superior (positivo) da fase A, definido como S_{ap} , só não permanece fechado durante metade de um período nulo T_0 . É interessante salientar que para o interruptor inferior S_{an} possui sinal complementar à S_{ap} , e, além disso as comutações são realizadas uma por vez, diminuindo assim as perdas. Fazendo a mesma análise para os outros interruptores positivos das fases seguintes pode-se definir (22) que calcula o tempo da largura do pulso (do inglês, *Duty Cycle*) dentro do período T_s para os interruptores positivos.

$$\begin{cases} d_{ap} = \frac{1}{T_s}(T_1 + T_2 + \frac{T_0}{2}) = t_1 + t_2 + \frac{t_0}{2} \\ d_{bp} = \frac{1}{T_s}(T_2 + \frac{T_0}{2}) = t_2 + \frac{t_0}{2} \\ d_{cp} = \frac{1}{T_s}(\frac{T_0}{2}) = \frac{t_0}{2} \end{cases} \quad (22)$$

Com o intuito de generalizar as definições encontradas em (22) para os outros setores, bastou-se fazer as mesmas análises e assim encontrar para cada um dos setores como mostrado na Tabela 5 as razões cíclicas dos interruptores positivos, e analogamente para os negativos.

Para resumir de forma simples o processo da SVM é ilustrado o fluxograma da Figura 15, onde já é feita menção a ideia do controle por referência síncronas em que é feita a mudança do referencial trifásico estacionário para o dq em que as saídas dos

Tabela 4. Sequência de aplicação dos vetores para os setores da SVM.

Setores	Sequência dos vetores
1	$\vec{V}_0 - \vec{V}_1 - \vec{V}_2 - \vec{V}_7 - \vec{V}_2 - \vec{V}_1 - \vec{V}_0$
2	$\vec{V}_0 - \vec{V}_3 - \vec{V}_2 - \vec{V}_7 - \vec{V}_2 - \vec{V}_3 - \vec{V}_0$
3	$\vec{V}_0 - \vec{V}_3 - \vec{V}_4 - \vec{V}_7 - \vec{V}_4 - \vec{V}_3 - \vec{V}_0$
4	$\vec{V}_0 - \vec{V}_5 - \vec{V}_4 - \vec{V}_7 - \vec{V}_4 - \vec{V}_5 - \vec{V}_0$
5	$\vec{V}_0 - \vec{V}_5 - \vec{V}_6 - \vec{V}_7 - \vec{V}_6 - \vec{V}_5 - \vec{V}_0$
6	$\vec{V}_0 - \vec{V}_1 - \vec{V}_6 - \vec{V}_7 - \vec{V}_6 - \vec{V}_1 - \vec{V}_0$

Tabela 5. Razões cíclicas dos interruptores positivos para os diferentes setores.

Setores	S_{ap}	S_{bp}	S_{cp}
1	$t_1 + t_2 + t_0/2$	$t_2 + t_0/2$	$t_0/2$
2	$t_2 + t_0/2$	$t_1 + t_2 + t_0/2$	$t_0/2$
3	$t_0/2$	$t_1 + t_2 + t_0/2$	$t_2 + t_0/2$
4	$t_0/2$	$t_2 + t_0/2$	$t_1 + t_2 + t_0/2$
5	$t_2 + t_0/2$	$t_0/2$	$t_1 + t_2 + t_0/2$
6	$t_1 + t_2 + t_0/2$	$t_0/2$	$t_2 + t_0/2$

controladores de corrente são índices de modulação constantes, as quais são entrada da modulação como mostrado.

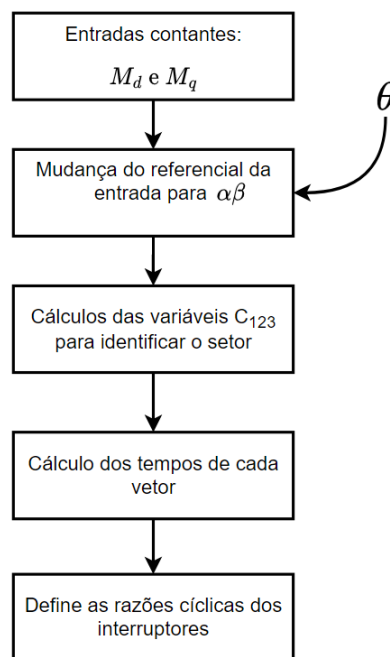
2.3 Filtro de Conexão

O filtro de conexão com a rede têm como função filtrar os harmônicos produzidos pela comutação proveniente do conversor CC-CA para proporcionar uma forma de onda de corrente injetada ou absorvida que se aproxime o máximo possível da frequência fundamental da rede elétrica, ou, tecnicamente, que tenha baixo conteúdo harmônico.

A característica do filtro é filtrar as altas frequências, portanto, do tipo passa-baixas. O projeto incluí a utilização de elementos passivos, indutores e capacitores, para diferentes configurações. As mais encontradas em trabalhos como [13, 17–21] são de filtros L, LC e LCL, como ilustrado na Figura 16.

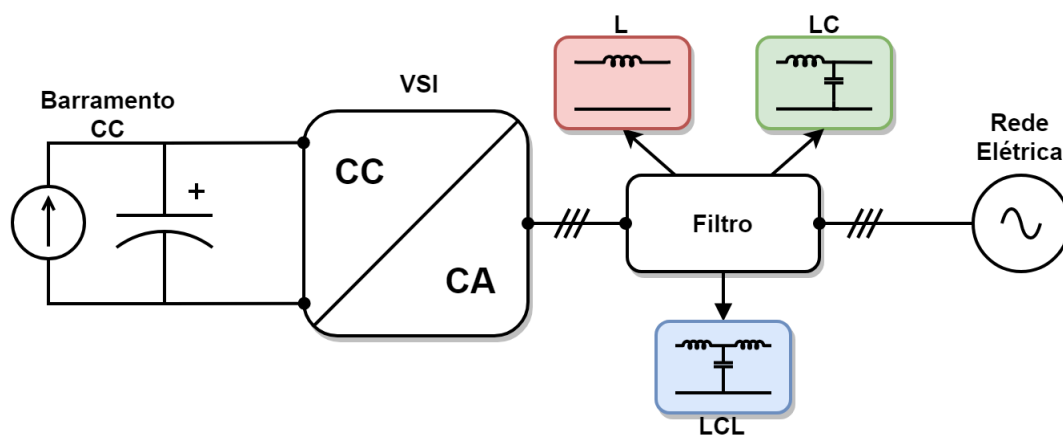
Por se tratar de um filtro de primeira ordem, o filtro L proporciona uma atenuação de 20 dB/década por todo o espectro de frequência. Normalmente prefere-se sua aplicação em sistemas de baixa potência na qual a indutância necessária pode ser maior, porém por se tratar de um elemento passivo apenas e o volume da construção depender do quadrado da corrente por consequência resultará em um filtro

Figura 15. Fluxograma b asico da aplica  o da SVM.



Fonte: Adaptado de [15].

Figura 16. Diagrama do sistema com as principais topologias de filtro para conex o   rede el trica.



Fonte: Adaptado de [22].

de tamanho e peso aceit veis para aplica  o [23].

O filtro LC de segunda ordem j  apresenta maior atenua  o que o filtro L dado a adi  o de mais um elemento passivo em sua arquitetura, o capacitor, o qual apresenta baixa imped ncia para componentes de alta frequ ncia proporcionando uma atenua  o de 40 dB/d cada para componentes acima da frequ ncia de resson ncia do arranjo. Infelizmente para harm nicos da frequ ncia de resson ncia o filtro   visto como uma imped ncia nula com caminho para o terra, o que por exce  o das resist ncias parasitas dos elementos passivos acabaria gerando uma componente de

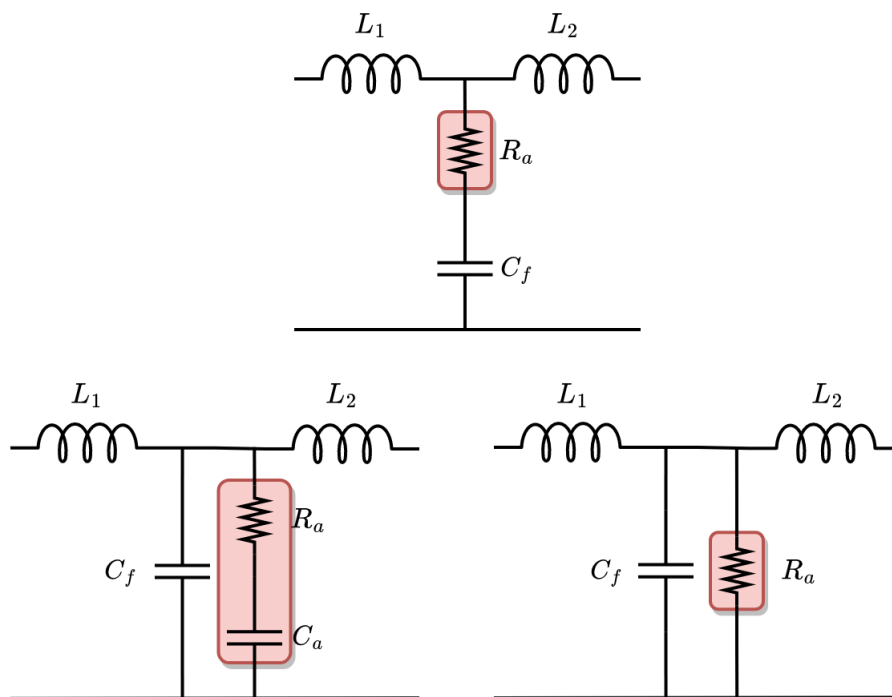
corrente alt ssima, tendo, tamb m correntes elevadas na primeira conex o   rede. Sendo assim, v -se necess rio a adi o de um amortecimento ativo ou passivo ao filtro para tornar vi vel sua utiliza o. E por possuir um capacitor no ponto de conex o   rede, a frequ ncia de resson ncia do filtro pode se alterar a partir de mudan as na imped ncia da rede, tornando mais dif cil a opera o de amortecimento [23].

Com 60 dB/d cada ap s sua frequ ncia de resson ncia, o filtro LCL   o que possui maior atenua o dos 3 que foram mencionados. Por possuir um indutor para conex o   rede el trica, o filtro LCL sofre menos com as altera o da imped ncia do sistema de distribui o, o que n o prejudica tanto o funcionamento do filtro, por m, ainda assim sendo necess rio algum tipo de amortecimento ativo ou passivo como no filtro LC [24].

Neste trabalho, por efeito de compara o, ser o testados tanto o filtro L como o LCL, os quais possuem indutor para conex o com a rede el trica.

Existem diversas alternativas para o amortecimento do efeito de resson ncia do filtro LCL, sejam elas ativas como imped ncia virtual, inclus o de um filtro *Notch* em cascata ao controle, at  alternativas passivas que visam a inser o de um resistor no ramo capacitivo, seja em s rie, paralelo, ou um ramo RC dedicado ao amortecimento, como ilustrados na Figura 17 [25].

Figura 17. Tipos de amortecimento passivo o filtro LCL.



Fonte: Pr prio autor.

Como mencionado em [26], a t cnica de se adicionar um resistor em s rie ao ramo capacitivo   uma das solu o mais simples e tamb m das mais utilizadas em aplica o industriais, al m de tamb m ser observado numa aplica o muito similar

em [20]. Assim, esta a metodologia escolhida para aplica  o do filtro LCL neste trabalho. Definido as topologias dos filtros que ser o testadas na sequ ncia ser  abordado o projeto dos elementos passivos e tamb m da modelagem para o estudo da din mica do sistema.

2.3.1 Projeto do filtro L e LCL

Para dimensionar os filtros s o necess rios os par metros com os quais cada um dos inversores ir  operar, como pot ncia nominal (P_n), frequ ncia de chaveamento (f_s), frequ ncia da rede el trica (f_r), tens o eficaz de linha da rede (V_L), tens o no barramento CC (V_B) e ondula o (ou do ingl s, *ripple*) de corrente de sa da em cada fase (ΔI_L). A Tabela 6 aborda, de forma geral, as caracter sticas mais importantes para o projeto do filtro.

Tabela 6. Caracter sticas dos inversores do sistema *Grid-Tied* para o projeto dos filtros de conex o

Par�metros	S�mbolos	Valores
Tens�o Eficaz de Linha	V_L	220 V
Frequ�ncia da Rede El�trica	f_r	60 Hz
Frequ�ncia de Chaveamento	f_s	15 kHz
Pot�ncia Nominal do Inversor	P_n	10 kW
Corrente Nominal de Sa�da (RMS)	I_{RMS}	26,3 A
Tens�o do Barramento CC	V_B	450 V - 500 V
Ondula�o de corrente no indutor de rede	ΔI_{L_R}	10%

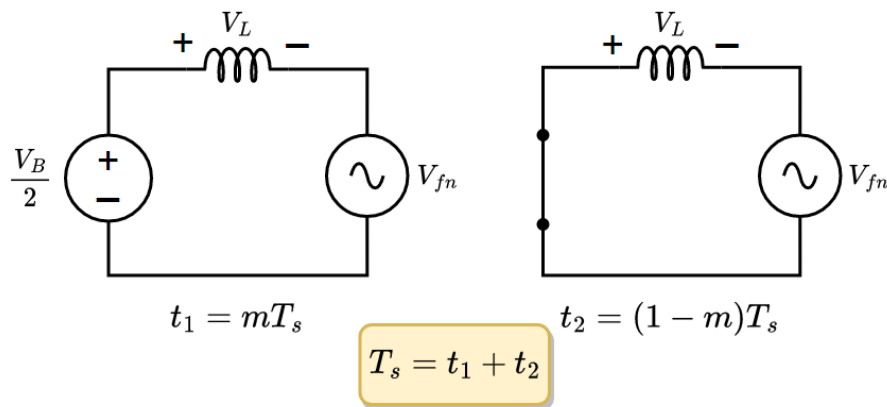
O c culo do filtro L   simplificado e sua express o pode ser deduzida do modelo monof sico de um dos bra os do inversor, conforme ilustrado na Figura 18. Quando conectado   rede durante um per odo de chaveamento T_s e com um  ndice de modula o m , a tens o no indutor pode ser descrita por (23).

$$v_L = L \frac{di_L}{dt} \quad (23)$$

Assim, resolvendo a equa o para a indut ncia L, no momento do pico da corrente, usando o valor da tens o do indutor v_L como a diferen a entre $V_B/2$ e o pico da tens o monof sica da rede V_{fn} , a varia o do tempo dt por mT_s e a varia o da corrente di_L por Δi_L t m-se

$$L = \frac{m \left(\frac{V_B}{2} - \sqrt{2}V_{fn} \right)}{\Delta i_L f_s} \quad (24)$$

Figura 18. Modelo monof asico para o filtro L.



Fonte: Pr oprio autor.

O projeto do filtro LCL se inicia pelo c alculo do indutor do lado do inversor, L_1 , que   o primeiro elemento que atua na redu o do conte do harm nico da corrente afim de estabelecer um *ripple* de corrente desejado. Sendo assim, pode-se seguir a metodologia utilizada por [15], a qual analisa o *ripple* da corrente no pior caso em todo o per odo da onda de tens o da rede, calculando-o pela express o (25).

$$L_1 = \frac{1}{8} \frac{V_{fn}}{f_s \Delta i_{L1}} \quad (25)$$

Para o c alculo do indutor do lado da rede el trica, L_2 , primeiramente   necess rio definir o fator α_L que relaciona os dois indutores do filtro de acordo com

$$L_1 = \alpha_L L_2 \quad (26)$$

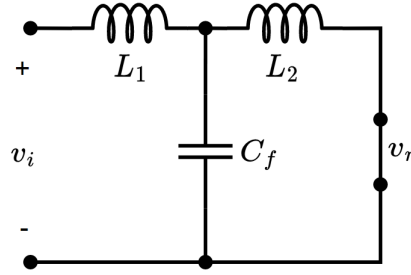
Idealmente quanto maior a indut ncia total do filtro $L_T = L_1 + L_2$ melhor a atenua o harm nica resultante na corrente; contudo, existem restri es para a queda de tens o sobre os indutores, como exemplo, limitar a queda a 10% da tens o da rede, como indicado na express o (27).

$$L_T = L_1 + L_2 \leq 10\% \frac{V_l^2}{2\pi f_r P_n} \quad (27)$$

Para o projeto de L_2 se faz necess rio uma an lise da fun o de transfer ncia do sistema para o controle da corrente da rede $i_r(s)$ em fun o da tens o do inversor $v_i(s)$. Para tal, recorre-se novamente a representa o monof sica do sistema como ilustrada na Figura 19, assumindo a rede el trica como um curto-circuito e desconsiderando o amortecimento passivo no ramo capacitivo [27]. Com isso a imped ncia equivalente entre L_2 e C_f pode ser expressa por (28).

$$Z_{eq} = sL_2 // \frac{1}{sC_1} = \frac{sL_2}{s^2 L_2 C_1 + 1} \quad (28)$$

Figura 19. Equivalente monof asico do filtro LCL para modelagem.



Fonte: Pr oprio autor.

Com isso a tens o no ramo capacitivo pode ser definida como

$$v_c(s) = v_i(s) \frac{Z_{eq}}{sL_1 + Z_{eq}} = v_i(s) \frac{sL_2}{s(s^2L_1L_2C_f + L_1 + L_2)} \quad (29)$$

Logo, obt m-se corrente no indutor L_2 conforme (30).

$$i_r(s) = \frac{v_c(s)}{sL_2} = v_i(s) \frac{1}{s(s^2L_1L_2C_f + L_1 + L_2)} \quad (30)$$

Ajustando para a forma de fun o de transfer ncia e deixando o maior termo do denominador como m ltiplo unit rio t m-se

$$\frac{i_r(s)}{v_i(s)} = \frac{1}{(L_1 + L_2)} \frac{\left(\frac{L_1 + L_2}{L_1L_2C_f}\right)}{s\left(s^2 + \frac{L_1 + L_2}{L_1L_2C_f}\right)} \quad (31)$$

Relacionando (31) com a forma padr o de uma fun o de transfer ncia de segunda ordem como dado por (32)   poss vel determinar a equa o da frequ ncia de resson ncia (w_0) em (33).

$$G(s) = K \frac{w_n^2}{s^2 + 2\zeta w_n s + w_n^2} \quad (32)$$

$$w_0 = \sqrt{\frac{L_1 + L_2}{L_1L_2C_f}} \quad (33)$$

Substituindo (26) e (27) em (33) obt m-se a frequ ncia de resson ncia do filtro em fun o da indut ncia total L_T e de α_L .

$$w_0 = \sqrt{\frac{(1 + \alpha_L)^2}{\alpha_L L_T C_f}} \quad (34)$$

Resolvendo (34) para encontrar o valor da capacit ncia C_f tem-se

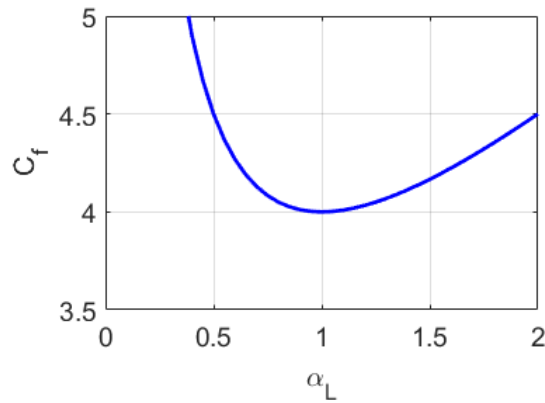
$$C_f = \frac{1}{w_0^2 L_T} \frac{(1 + \alpha_L)^2}{\alpha_L} \quad (35)$$

Para qualquer frequ ncia de resson ncia desejada   poss vel determinar qual o fator α_L que resulta na menor capacit ncia do filtro. Fazendo a an lise da derivada como mostrado em (36), e ilustrado de forma normalizada em   rela o frequ ncia na Figura 20, tem-se

$$\frac{\partial C_f}{\partial \alpha_L} = \frac{1}{w_0^2 L_T} \left(1 - \frac{1}{\alpha_L^2} \right) \quad (36)$$

$$\frac{\partial C_f}{\partial \alpha_L} = 0 \rightarrow \alpha_L = 1 \quad (37)$$

Figura 20. Capacit ncia normalizada em fun o do fator α_L .



Fonte: Pr prio autor.

Logo C_f pode ser calculado por (38) para uma determinada frequ ncia de resson ncia escolhida.

$$C_f = \frac{2}{w_0^2 L_1} \quad (38)$$

Para garantir elevado fator de pot ncia para o sistema   recomendado que o fluxo de pot ncia reativa do ramo capacitivo seja no m ximo 5% da pot ncia ativa total do conversor, sendo assim, o valor de $C_{f,max}$   dado em (39) [26]. Al m disso, para certificar a boa atenua o das componentes de alta frequ ncia, a frequ ncia de resson ncia   limitada de acordo com (40).

$$C_{f,max} = 0,05 \left(\frac{P_n}{2\pi f_r V_l^2} \right) \quad (39)$$

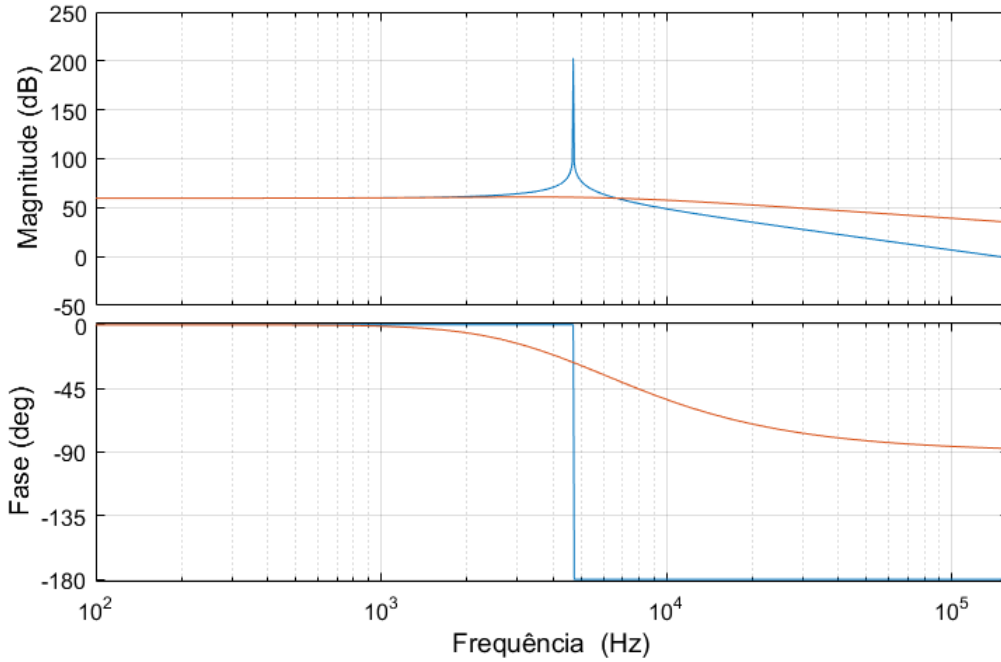
$$10f_r \leq f_0 \leq f_s/2 \quad (40)$$

O  ltimo t pico a ser abordado   o projeto do resistor de amortecimento R_a . Para tal,   necess rio analisar a resposta em frequ ncia da fun o de transfer ncia obtido similarmente como em (31), o m todo das imped ncias equivalentes, que revela a rela o entre a corrente da rede e a tens o do inversor [27]. A fun o $i_r(s)/v_i(s)$  

mostrada em (41), o diagrama de *Bode* do sistema amortecido e sem amortecimento é mostrado na Figura 21.

$$\frac{i_r(s)}{v_i(s)} = \frac{sR_a C_f + 1}{s^3 L_1 L_2 C_f + s^2 (L_1 + L_2) C_f R_a + s(L_1 + L_2)} \quad (41)$$

Figura 21. Resposta em frequência para o filtro LCL com amortecimento (em laranja) e sem amortecimento (em azul).



Fonte: Próprio autor.

Como mostrado por [27] o resistor de amortecimento R_a pode ser projetado através de (42) que resulta na maior atenuação do efeito de ressonância na sua resposta em frequência.

$$R_a = \sqrt{\frac{L_T}{C_f}} = \sqrt{\frac{L_1 + L_2}{C_f}} \quad (42)$$

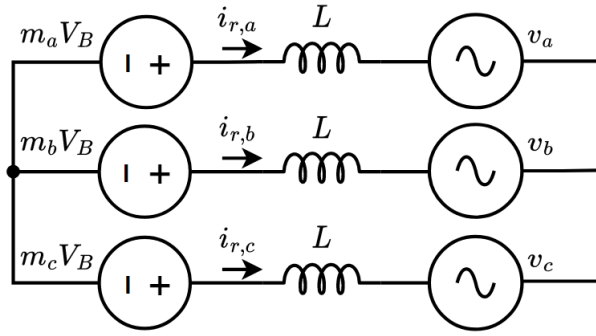
2.4 Modelo dinâmico para o controle da corrente de saída

A Figura 22 mostra o circuito equivalente do modelo médio de um inversor trifásico VSI conectado à rede pelo filtro L. A equação que descreve o circuito pode ser escrita como (43) em coordenadas estacionárias abc [28].

$$L \frac{d\vec{i}_{r,abc}}{dt} = \vec{m}_{abc} V_B - \vec{v}_{abc} \quad (43)$$

onde \vec{v}_{abc} é o vetor das tensões de linha $\begin{bmatrix} v_{ab} \\ v_{bc} \\ v_{ca} \end{bmatrix}$.

Figura 22. Modelo médio do inversor com filtro L.



Fonte: Próprio autor.

Para os dois filtros L e LCL, a estratégia de controle de corrente será feita a partir da transformação das leituras de correntes no plano estacionário abc para o plano girante síncrono $dq\theta$. Esta mudança de referencial feita a partir das transformadas de Park e Clarke trás consigo a facilidade do rastreamento de uma referência constante em vez de um sinal senoidal como se espera para sistema conectados à rede elétrica. Esta vantagem permite a utilização de controladores clássicos como o Proporcional Integral (PI) que garantem uma boa resposta transitória e de regime permanente se bem sintonizados.

As transformadas diretas abc para $dq\theta$ e a inversa são descritas por (44) e (45), respectivamente, onde na primeira, a fase A da rede elétrica é alinhada à coordenada d , e portanto, a amplitude da corrente estará presente nesta componente e o controle poderá ser realizado a partir dela.

$$\begin{bmatrix} x_d \\ x_q \\ x_0 \end{bmatrix} = \frac{2}{3} \underbrace{\begin{bmatrix} \cos(\theta) & \cos(\theta - \frac{2\pi}{3}) & \cos(\theta + \frac{2\pi}{3}) \\ -\text{sen}(\theta) & -\text{sen}(\theta - \frac{2\pi}{3}) & -\text{sen}(\theta + \frac{2\pi}{3}) \\ \frac{1}{2} & \frac{1}{2} & \frac{1}{2} \end{bmatrix}}_{\mathbf{T}} \begin{bmatrix} x_a \\ x_b \\ x_c \end{bmatrix} \quad (44)$$

$$\begin{bmatrix} x_a \\ x_b \\ x_c \end{bmatrix} = \frac{2}{3} \underbrace{\begin{bmatrix} \cos(\theta) & \text{sen}(\theta) & 1 \\ \cos(\theta - \frac{2\pi}{3}) & -\text{sen}(\theta - \frac{2\pi}{3}) & 1 \\ \cos(\theta + \frac{2\pi}{3}) & -\text{sen}(\theta + \frac{2\pi}{3}) & 1 \end{bmatrix}}_{\mathbf{T}^{-1}} \begin{bmatrix} x_d \\ x_q \\ x_0 \end{bmatrix} \quad (45)$$

Aplicando a transformação para $dq\theta$ em (43) têm-se

$$L \frac{d}{dt} (\mathbf{T}^{-1} \vec{i}_{r,dq}) = \mathbf{T}^{-1} \vec{m}_{dq} V_B - \mathbf{T}^{-1} \vec{v}_{dq} \quad (46)$$

Multiplicando \mathbf{T} em ambos os lados da expressão e manipulando a derivada

chega-se à

$$L\left(\frac{d\vec{i}_{dq}}{dt} + \mathbf{T}\frac{d\mathbf{T}^{-1}}{dt}\vec{i}_{dq}\right) = \vec{m}_{dq}V_B - \vec{v}_{dq} \quad (47)$$

Computando a derivada da transformada, obtém-se

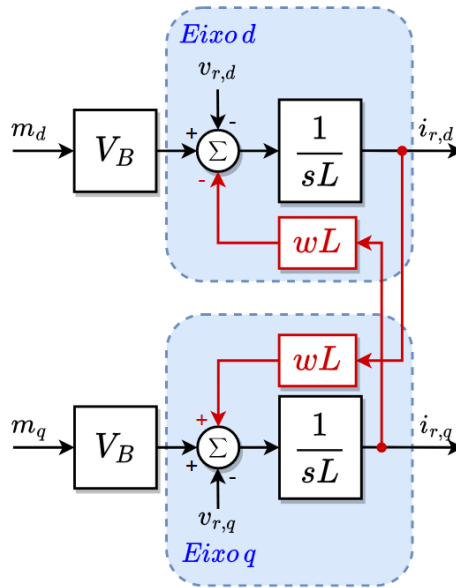
$$\mathbf{T} \cdot \frac{d\mathbf{T}^{-1}}{dt} = \begin{bmatrix} 0 & -w \\ w & 0 \end{bmatrix} = \mathbf{W} \quad (48)$$

Com isso a equação equivalente do circuito com filtro L em componentes $dq\theta$ é descrito por (49).

$$L\frac{d\vec{i}_{dq}}{dt} = \vec{m}_{dq}V_B - \vec{v}_{dq} - \mathbf{W}L\vec{i}_{dq} \quad (49)$$

Aplicando a transformada de Laplace em (49) é possível representar o sistema em diagrama de blocos como ilustrado na Figura 23. Vê-se que existe um acoplamento no sistema entre as componentes dq como destacado em vermelho, dado que a transformada possui termos que são função do tempo.

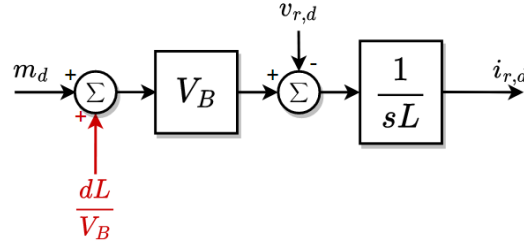
Figura 23. Diagrama de blocos dos eixos dq do inversor com filtro L.



Fonte: Próprio autor.

O desacoplamento pode ser feito a partir da alimentação direta do termo da equação (50) no índice de modulação, por exemplo para a coordenada d , e ilustrado pela Figura 24.

$$dL = wL \cdot i_{r,q} \quad (50)$$

Figura 24. Desacoplamento do eixo d com filtro L.


Fonte: Próprio autor.

Observa-se que o desacoplamento é feito a partir de uma estrutura *feedforward* dos termos do acoplamento dos eixos. Sendo assim, o novo índice de modulação pode ser definido como m'_{dq} conforme por (51).

$$\begin{cases} m'_d = m_d + \frac{dL}{V_B} = m_d + \frac{L i_{r,q}}{V_B} \\ m'_q = m_q + \frac{dL}{V_B} = m_q - \frac{L i_{r,d}}{V_B} \end{cases} \quad (51)$$

Substituindo o novo índice em (49) e assumindo as componentes da rede $\vec{v}_{r,dq}$ constantes dentro de um período de chaveamento, reescreve-se a equação (52). Em seguida, aplicando a transformada de Laplace, substituindo as variáveis por perturbações e assim obtendo o modelo dinâmico das correntes com as entradas sendo os índices de modulação em (53).

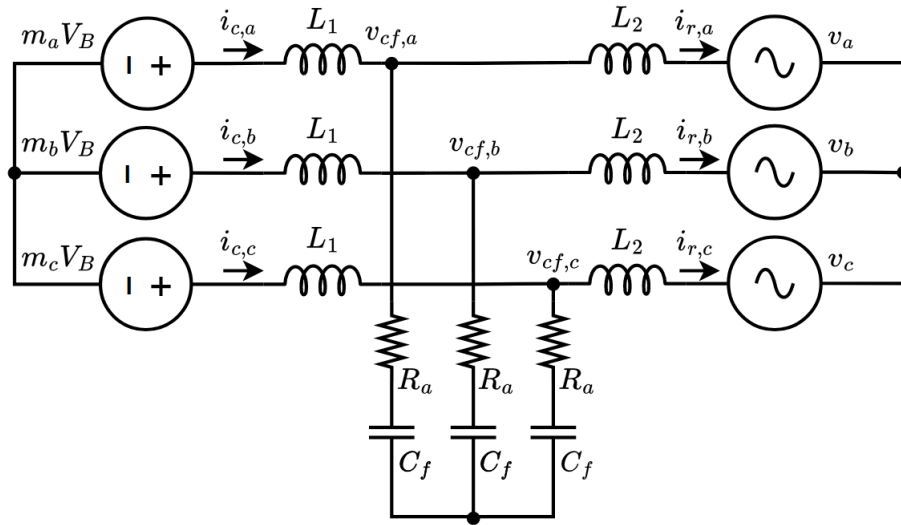
$$\begin{cases} L \frac{di_{r,d}}{dt} = m'_d V_B \\ L \frac{di_{r,q}}{dt} = m'_q V_B \end{cases} \quad (52)$$

$$\begin{cases} \hat{i}_{r,d}(s) = \frac{V_B}{sL} \\ \hat{\eta}'_d(s) = \frac{V_B}{sL} \\ \hat{i}_{r,q}(s) = \frac{V_B}{sL} \\ \hat{\eta}'_q(s) = \frac{V_B}{sL} \end{cases} \quad (53)$$

Para o filtro LCL, o circuito do modelo médio do conversor visto pela rede elétrica é como o ilustrado pela Figura 25 e descrito matematicamente por (54). De forma análoga ao realizado para o inversor com filtro L, a mudança do referencial estacionário abc pode ser feita a partir da substituição por termos dq associados à transformada \mathbf{T} . Sendo assim, de forma semelhante, é possível exemplificar para a primeira equação referente ao indutor do lado do conversor L_1 em (54), obtendo-se (55).

$$\begin{cases} L_1 \frac{d\vec{i}_{c,abc}}{dt} = \vec{m}_{abc} V_B - \vec{v}_{C,abc} \\ L_2 \frac{d\vec{i}_{r,abc}}{dt} = \vec{v}_{C,abc} - \vec{v}_{r,abc} \\ C_f \frac{d\vec{v}_{Cf,abc}}{dt} = \vec{i}_{c,abc} - \vec{i}_{r,abc} \end{cases} \quad (54)$$

Figura 25. Modelo médio do inversor com filtro LCL.



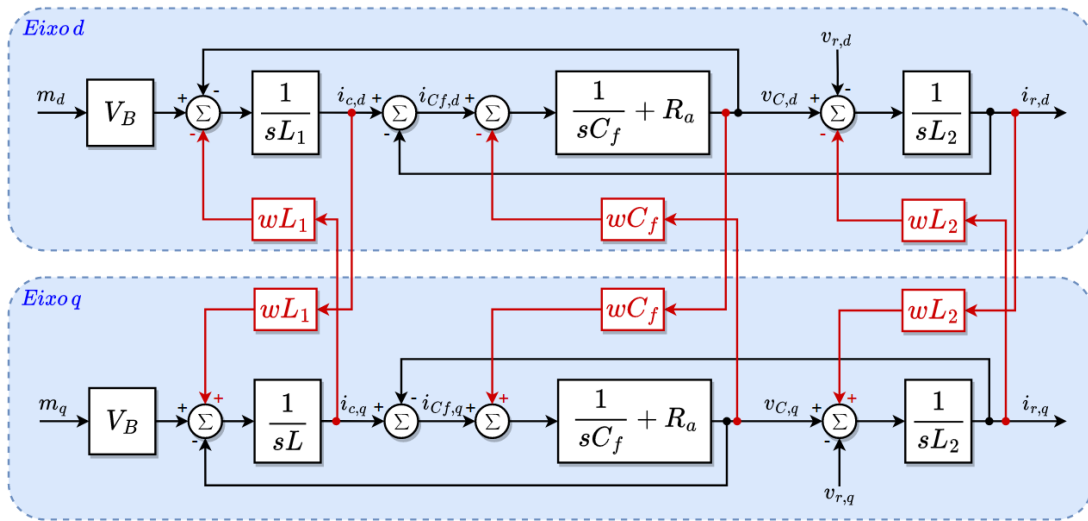
Fonte: Próprio autor.

$$L \frac{d}{dt} (\mathbf{T}^{-1} \vec{i}_{c,dq}) = \mathbf{T}^{-1} \vec{m}_{dq} V_B - \mathbf{T}^{-1} \vec{v}_{C,dq} \quad (55)$$

Aplicando o mesmo conceito nas outras equações de (54) e, desenvolvendo a derivada da transformada, chega-se no sistema de equações em coordenadas dq para o filtro LCL com amortecimento passivo no ramo capacitivo, de acordo com (56).

$$\begin{cases} L_1 \frac{d\vec{i}_{c,dq}}{dt} = \vec{m}_{dq} V_B - \vec{v}_{C,dq} - L_1 \cdot \mathbf{W} \vec{i}_{c,dq} \\ L_2 \frac{d\vec{i}_{r,dq}}{dt} = \vec{v}_{C,dq} - \vec{v}_{r,dq} - L_2 \cdot \mathbf{W} \vec{i}_{r,dq} \\ C_f \frac{d\vec{v}_{Cf,dq}}{dt} = \vec{i}_{c,dq} - \vec{i}_{r,dq} - C_f \cdot \mathbf{W} \vec{v}_{Cf,dq} \end{cases} \quad (56)$$

Assim como no modelo do filtro L, neste, observa-se que as componentes dos eixos dq possuem um acoplamento devido a transformada ser uma função do tempo, mas neste caso a complexidade é maior devido a planta ser de ordem 3. Na Figura 26 é apresentado o diagrama de blocos do sistema com filtro LCL para os eixos dq , onde, em vermelho, são destacadas as componentes do acoplamento entre os eixos.

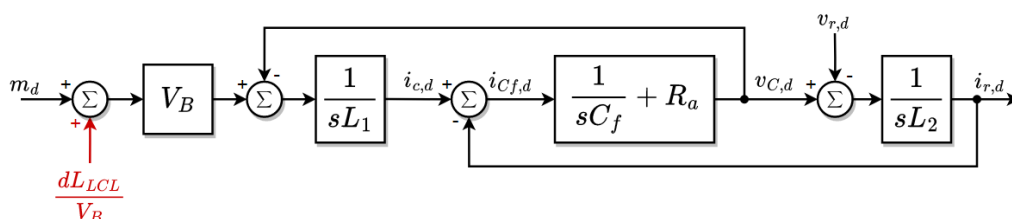
Figura 26. Diagrama de blocos dos eixos dq com filtro LCL.


Fonte: Próprio autor.

Novamente, o desacoplamento dos eixos pode ser feito por uma realimentação direta no índice de modulação. Contudo, no caso do filtro LCL existem 3 componentes a serem compensadas, duas referentes às correntes dos indutores e uma relativa à tensão no ramo capacitivo amortecido. A realimentação levará em conta apenas as duas primeiras componentes, sendo que a compensação do ramo capacitivo necessitaria do sensoriamento das suas tensões, e, além disso, também existe a justificativa que o acoplamento devido aos capacitores não interfere de forma substancial na funcionalidade do controlador [29]. Para a compensação das componentes dos indutores usa-se a convenção de que as correntes do lado do conversor $i_{c,dq}$ possuem valor médio instantâneo equivalente às correntes do lado da rede $i_{r,dq}$ e, assim, o termo de realimentação dL_{LCL} pode ser definido como

$$dL_{LCL} = w(L_1 + L_2) \cdot i_{r,dq} \quad (57)$$

A Figura 27 exemplifica como é feito o desacoplamento do eixo d para o controle de corrente do sistema utilizando o termo (57) e também já eliminando a parcela do ramo capacitivo amortecido.

 Figura 27. Desacoplamento do eixo d com filtro LCL.


Fonte: Próprio autor.

Sendo assim, a nova representação do índice de modulação é definida como

$$\begin{cases} m'_d = m_d + \frac{dL_{LCL}}{V_B} = m_d + \frac{w(L_1 + L_2) i_{r,q}}{V_B} \\ m'_q = m_q - \frac{dL_{LCL}}{V_B} = m_q - \frac{w(L_1 + L_2) i_{r,d}}{V_B} \end{cases} \quad (58)$$

A partir do diagrama de blocos dos eixos desacoplados dq é possível aplicar a técnica de dedução da função de transferência do sistema, e, também da teoria de perturbação a pequenos sinais para assim encontrar o modelo que define a dinâmica das correntes $i_{r,dq}$ em função dos respectivos índices de modulação m'_{dq} , como mostrado em (59).

$$\begin{cases} G_{i,d}(s) = \frac{\hat{i}_{r,d}(s)}{\hat{m}'_d(s)} = \frac{(sR_a C_f + 1)V_B}{s^3 L_1 L_2 C_f + s^2 (L_1 + L_2) C_f R_a + s(L_1 + L_2)} \\ G_{i,q}(s) = \frac{\hat{i}_{r,q}(s)}{\hat{m}'_q(s)} = \frac{(sR_a C_f + 1)V_B}{s^3 L_1 L_2 C_f + s^2 (L_1 + L_2) C_f R_a + s(L_1 + L_2)} \end{cases} \quad (59)$$

2.5 Modelo dinâmico para o controle da tensão do barramento CC

O controle de tensão do barramento CC é uma importante função do sistema *Grid-Tied* do eletroposto, uma vez que todas as fontes de energia necessitam de uma tensão estabilizada para operarem de modo adequado (absorvendo ou injetando corrente neste elemento). Sendo assim, o controlador de tensão será responsável por definir o referencial de corrente $i_{r,d}^*$ que está associado à potência ativa, e, portanto, a modelagem matemática tem como objetivo a definição da função de transferência dada por (60).

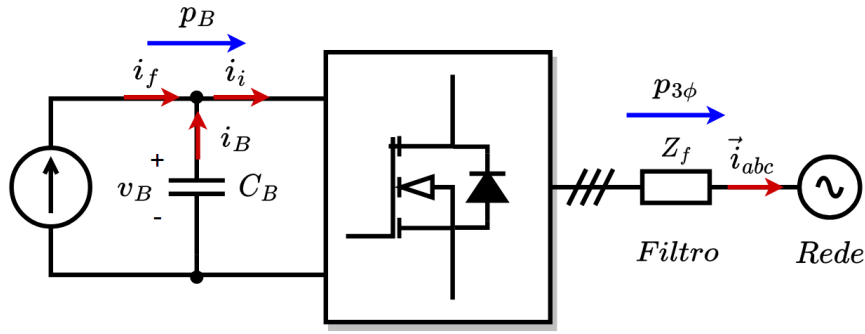
$$G_V(s) = \frac{v_B(s)}{i_{r,d}(s)} \quad (60)$$

A Figura 28 representa o sistema *Grid-Tied* pela perspectiva do barramento CC. A configuração do filtro nesta modelagem não altera os resultados e, portanto, é generalizado para uma impedância Z_f . As correntes da parte CC são definidas como corrente das fontes i_f , corrente do banco capacitivo i_B , e a corrente CC dos inversores somadas como i_i , já no lado da rede têm-se o vetor das correntes trifásicas \vec{i}_{abc} . Com isso, as potências do lado CC e do lado CA podem ser definidas por (61).

$$\begin{cases} p_{3\phi} = v_a i_a + v_b i_b + v_c i_c = \frac{3}{2} (v_{r,d} i_{r,d} + v_{r,q} i_{r,q}) \\ p_b = -v_B C_B \frac{dv_B}{dt} + v_B i_f \end{cases} \quad (61)$$

Parte-se da premissa que as potências podem ser igualadas, desprezando as perdas inerentes ao chaveamento e também dos elementos passivos, sendo assim o ba-

Figura 28. Modelo médio do inversor pela visão do barramento CC.



Fonte: Próprio autor.

lanço de potência é dado como

$$\frac{3}{2}(v_{r,d}\dot{i}_{r,d} + v_{r,q}\dot{i}_{r,q}) = -v_B C_B \frac{dv_B}{dt} + v_B \dot{i}_f \quad (62)$$

Aplicando perturbações nas variáveis obtém-se

$$\begin{aligned} \frac{3}{2} \left[(V_{r,d} + \hat{v}_{r,d})(I_{r,d} + \hat{i}_{r,d}) + (V_{r,q} + \hat{v}_{r,q})(I_{r,q} + \hat{i}_{r,q}) \right] = & -(V_B + \hat{v}_B) C_B \frac{d(V_B + \hat{v}_B)}{dt} \\ & + (V_B + \hat{v}_B)(I_f + \hat{i}_f) \end{aligned} \quad (63)$$

Anulando as perturbações diferentes de \hat{v}_d e assumindo $V_q \approx 0$ para uma rede equilibrada, têm-se

$$\frac{3}{2} \left[(V_{r,d} I_{r,d} + V_{r,d} \hat{i}_{r,d}) \right] = -V_B C_B \frac{d\hat{v}_B}{dt} + V_B I_f + \hat{v}_B I_f \quad (64)$$

Podendo se considerar a igualdade de

$$\frac{3}{2} V_{r,d} I_{r,d} = V_B I_f \quad (65)$$

Então, simplifica-se (64) para

$$\frac{3}{2} V_d \hat{i}_{r,d} = -V_B C_f \frac{d\hat{v}_B}{dt} + \hat{v}_B I_f \quad (66)$$

Supondo que toda a corrente da rede venha exclusivamente do capacitor, assume-se $I_f = 0$. Além disso, também definiu-se que a componente V_d é equivalente à tensão de pico de fase da rede elétrica V_p . Fazendo as devidas substituições e aplicando a transformada de Laplace em (66) chega-se à função de transferência para o controle de tensão conforme (67).

$$G_v(s) = \frac{\hat{v}_B(s)}{\hat{i}_{r,d}} = -\frac{3}{2} \frac{V_p}{V_B C_f s} \quad (67)$$

2.6 Estimativa da capacit ncia do barramento CC

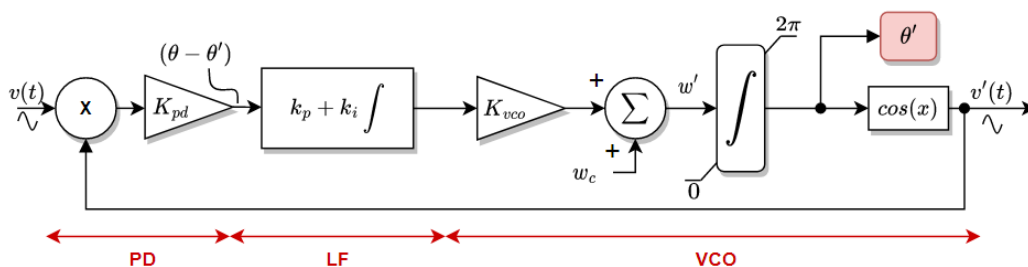
A metodologia adotada para se estimar o valor da capacit ncia do barramento CC   a apresentada por [30] e em (68). Esta leva em considera  o a tens o m nima desejada no barramento CC, a pot ncia (P_B) que se deseja trocar a partir do capacitor, e tamb m o tempo que se fornecer  essa pot ncia hipoteticamente tendo o capacitor como  nica fonte de energia, do ingl s tempo de *hold up* (t_{hu}).

$$C_B = \frac{2P_B \cdot t_{hu}}{V_B^2 - V_{B,min}^2} \quad (68)$$

2.7 Algoritmo de sincroniza  o com a rede el trica

A t cnica mais utilizada para sincroniza  o de conversores de interface com a rede el trica CA   o PLL (do ingl s, *Phase Locked Loop*) [31]. Este algoritmo possui 3 est gios principais de funcionamento: Detector de Fase (do ingl s, PD - *Phase Detector*), La o de filtro (do ingl s, LF - *Loop Filter*) e o Oscilador Controlado por tens o (do ingl s VCO - *Voltage Controlled Oscillator*). O diagrama simplificado de um PLL aplicado a um sinal senoidal   mostrado na Figura 29.

Figura 29. Diagrama b sico do PLL.



Fonte: Adaptado de [31].

Uma lineariza  o do sistema pode ser feito a partir da Figura 29 conforme mostrado na Figura 30 de acordo com [32]. O filtro passa-baixas (FPB)   inserido ao sistema para poder atenuar as componentes harm nicas que inserem dist rbios ao sistema, sendo caracterizadas por $D(s)$. A fun  o de transfer ncia em malha aberta (FTMA) do PLL linearizado pode ser descrita por (69).

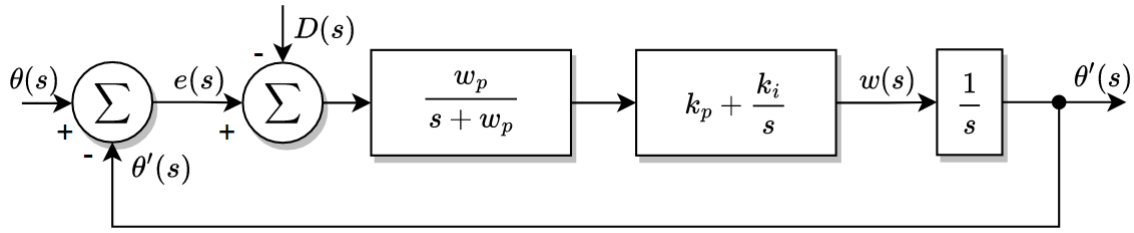
$$FTMA_{PLL}(s) = \frac{k_p w_p (s + w_z)}{s^2 (s + w_p)} \quad (69)$$

onde $w_z = k_i/k_p$.

A partir da an lise feita por [32]   poss vel calcular a margem de fase (MF) para a din mica do PLL a partir de

$$MF = \tan^{-1}\left(\frac{k^2 - 1}{2k}\right) \quad (70)$$

Figura 30. Diagrama do PLL linearizado.



Fonte: Adaptado de [32]

onde k é um valor constante e é escolhido de acordo com a resposta transitória e estabilidade requeridas para o sistema, pois possui relação com a frequência do FPB e os ganhos do controlador PI, sendo definida por $w_p = k^2 w_z$.

O ganho proporcional do PI é definido como a frequência de cruzamento desejada w_c , pois assim a MF é maximizada. Logo, o projeto do PLL pode ser feito a partir das equações apresentadas em (71).

$$\begin{cases} k_p = w_c \\ k_i = w_c^2/k \\ w_p = kw_c \end{cases} \quad (71)$$

2.7.1 SRF-PLL

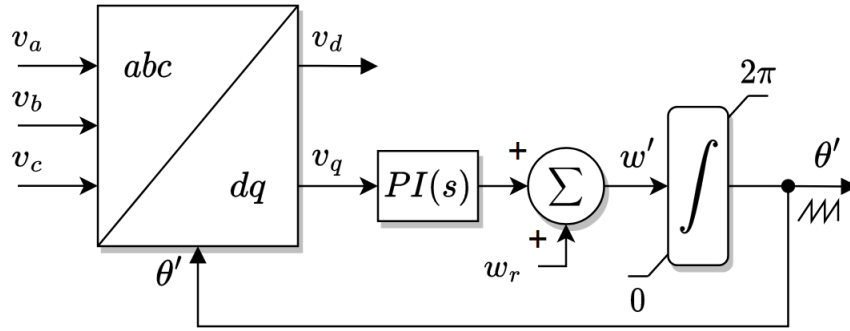
Um dos PLLs mais utilizados para sistemas trifásicos funciona a partir de referências síncronas (SRF - *Synchronous Reference Frame*) como mostrado na Figura 31, no qual a realimentação da fase do PLL é feita diretamente na transformada de Park até que a componente do sinal de quadratura v_q venha a ser a nula e, portanto, a diferença da fase do PLL e da rede elétrica também. Além da transformada de Park, também se faz necessária a de Clarke. Ambas são expostas respectivamente em (72) e (73).

$$v_{dq} = T_{dq} \cdot v_{\alpha\beta} \rightarrow \begin{bmatrix} v_d \\ v_q \end{bmatrix} = \begin{bmatrix} \cos(\theta) & \text{sen}(\theta) \\ -\text{sen}(\theta) & \cos(\theta) \end{bmatrix} \begin{bmatrix} v_\alpha \\ v_\beta \end{bmatrix} \quad (72)$$

$$v_{\alpha\beta} = T_{\alpha\beta} \cdot v_{abc} \rightarrow \begin{bmatrix} v_\alpha \\ v_\beta \end{bmatrix} = \frac{2}{3} \begin{bmatrix} 1 & -1/2 & -1/2 \\ 0 & \sqrt{3}/2 & -\sqrt{3}/2 \end{bmatrix} \begin{bmatrix} v_a \\ v_b \\ v_c \end{bmatrix} \quad (73)$$

A relação entre a realimentação de fase do PLL, θ' , e a fase atual da rede elétrica, θ , pode ser explicada pela transformada de Park na transformação dos sinais de quadratura $\alpha\beta$ defasados de 90° entre si e já normalizados, em que tem-se (74).

Figura 31. Diagrama básico do PLL.



Fonte: Adaptado de [31].

$$v_{dq} = T_{dq}' \cdot v_{\alpha\beta} \rightarrow \begin{bmatrix} v_d \\ v_q \end{bmatrix} = \begin{bmatrix} \cos(\theta') & \text{sen}(\theta') \\ -\text{sen}(\theta') & \cos(\theta') \end{bmatrix} \begin{bmatrix} \text{sen}(\theta) \\ \cos(\theta) \end{bmatrix} = \begin{bmatrix} \cos(\theta - \theta') \\ \text{sen}(\theta - \theta') \end{bmatrix} \quad (74)$$

A adição da frequência angular da rede w_r , em *feedforward*, contribui para o algoritmo iniciar próximo da sua saída em regime $\theta - \theta' \approx 0$. LF se trata de um controlador Proporcional Integral (PI), fará este erro de fase tender à 0. Portanto, v_q pode ser linearizado por $\text{sen}(\theta - \theta') \approx \theta - \theta'$, e assim o erro de fase calculado pelo detector de fase é

$$\text{erro} = v_q \approx \theta - \theta' \quad (75)$$

2.7.2 DSOGI-PLL

Sob condições em que a rede elétrica não sofre com desbalanceamento de fases ou distorções harmônicas, o SRF-PLL apresenta resultados satisfatórios para sincronização do sistema à rede. Quando exposto à estes problemas é necessário diminuir a largura de banda do controlador para reduzir os efeitos das harmônicas, porém, em relação ao desbalanceamento do sistema esta solução não será suficiente e o desempenho será prejudicado [33]. Para superar esta dificuldade é indicada a utilização de um PLL que extraia as componentes positiva e negativa da rede elétrica, o que permitirá a sincronização do algoritmo com a componente fundamental da tensão.

A técnica que será utilizada neste trabalho é apresentada em [34]. Se trata de um DSOGI-PLL (*Dual Second Order Generalized Integrator-PLL*) que utiliza inicialmente a transformada de Clarke para mudar o referencial trifásico para o bifásico estacionário $\alpha\beta$. Na sequência, os sinais passam por um gerador de sinais de quadratura (do inglês QSG - *Quadrature signal generator*) que funciona como um filtro e também cria novos sinais $\alpha\beta$ com componentes defasadas 90° das originais e, assim, criando as componentes de sequência positiva que depois passam pelo SRF-PLL discutido anteriormente.

A sequ ncia positiva pode ser extra da do referencial trif sico abc a partir de

$$v_{abc}^+ = \begin{bmatrix} v_a^+ & v_b^+ & v_c^+ \end{bmatrix} = [T_+]v_{abc} \quad (76)$$

$$[T_+] = \frac{1}{3} \begin{bmatrix} 1 & a^2 & a \\ a & 1 & a^2 \\ a^2 & a & 1 \end{bmatrix} \quad (77)$$

onde $a = e^{-j\frac{2\pi}{3}}$.

Para obter as componentes $\alpha\beta$ de sequ ncia positiva basta aplicar (78).

$$v_{\alpha\beta}^+ = [T_{\alpha\beta}]v_{abc}^+ \quad (78)$$

Portanto, substituindo (76) em (78) e fazendo as devidas manipula es chega-se na express o para extrair a sequ ncia positiva a partir dos sinais originais $\alpha\beta$ por

$$v_{\alpha\beta}^+ = [T_{\alpha\beta}]v_{abc}^+ = [T_{\alpha\beta}][T_+]v_{abc} = [T_{\alpha\beta}][T_+][T_{\alpha\beta}]^{-1}v_{\alpha\beta} = \frac{1}{2} \begin{bmatrix} 1 & -q \\ q & 1 \end{bmatrix} v_{\alpha\beta} \quad (79)$$

onde $q = e^{-j\frac{\pi}{2}}$.

Para gerar os sinais $v_{\alpha\beta}$ defasados de 90° utiliza-se de um integrador generalizado de segunda ordem (do ingl s SOGI - *Second Order Generalized Integrator*) [35] que possui a din mica descrita pelas fun o de transfer ncia mostradas em (80), e estrutura ilustrada pela Figura 32.

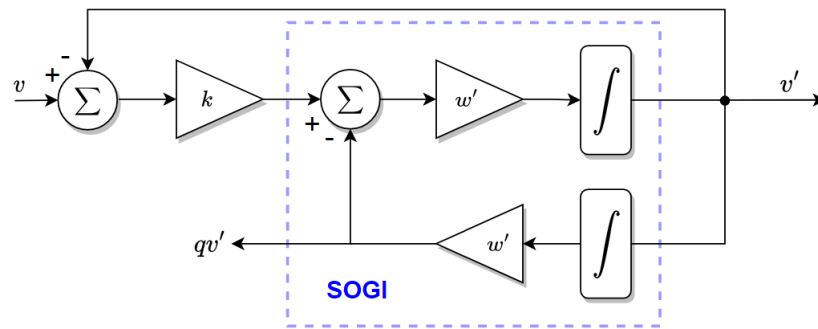
$$\begin{cases} D(s) = \frac{v'(s)}{v(s)} = \frac{kw's}{s^2 + kw's + w'^2} \\ Q(s) = \frac{qv'(s)}{v(s)} = \frac{kw's}{s^2 + kw's + w'^2} \end{cases} \quad (80)$$

onde fator o k determina o fator de amortecimento do sistema, e w' a frequ ncia de resson ncia, ou a frequ ncia alvo do SOGI.

Em [34] t m-se como sugest o a utiliza o de $k = \sqrt{2}$ para obter uma resposta criticamente amortecida, e ainda exp e bons resultados a partir desta defini o.

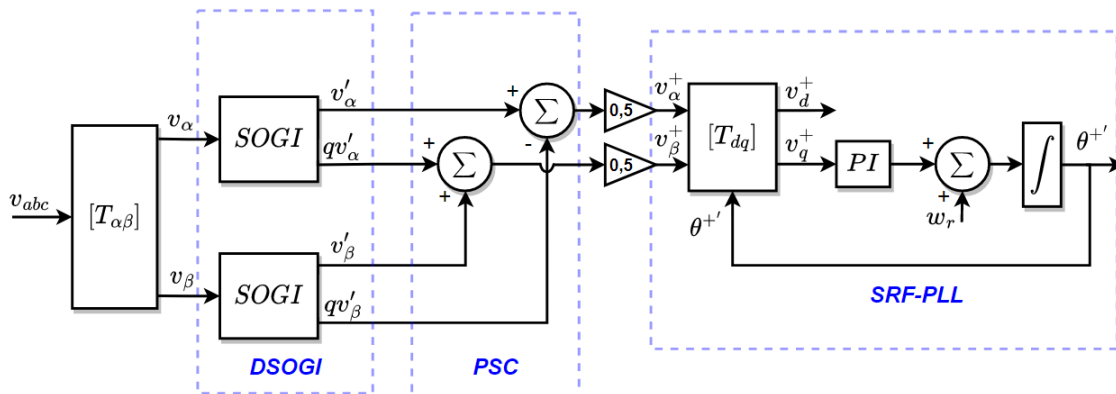
Ent o utilizando dois SOGI para cada componente $v_{\alpha\beta}$ se obt m $v'_{\alpha\beta}$ e $qv'_{\alpha\beta}$ que s o utilizados para calcular $v_{\alpha\beta}^+$ de sequ ncia positiva atrav s de (79). Logo, o sistema completo do DSOGI-PLL pode ser ilustrado pela Figura 33, que anexa a gera o dois sinais de quadratura defasados pelo DSOGI mais o extrator de sequ ncia positiva (PSC - *Positive Sequence Calculator*) e o SRF-PLL.

Figura 32. Esquem atico do SOGI.



Fonte: Adaptado de [34].

Figura 33. Esquem atico do DSOGI-PLL.



Fonte: Adaptado de [34].

2.8 Estrat egia de controle do sistema

O sistema  e composto por dois inversores trif asicos para lidar com a pot encia total do sistema de 20 kW, sendo que o barramento CC ser a controlado para 450V e isso eleva a faixa de corrente nos interruptores para apenas um inversor. Al em disso a utiliza ao de dois inversores possibilita a utiliza ao da t ecnica de entrela amento (do ingl es, *interleaved*) que tr as benef cios na qualidade da forma de onda da corrente, menor esfor os dos interruptores, e tamb em menores ru idos por interfer ncias eletromagn ticas (do ingl es, EMI - Electromagnetic interference) [36], onde diversas topologias de conversores eletr nicos com *interleaved* s o utilizadas em sistema que lidam com VEs pela alta qualidade da energia que proporcionam.

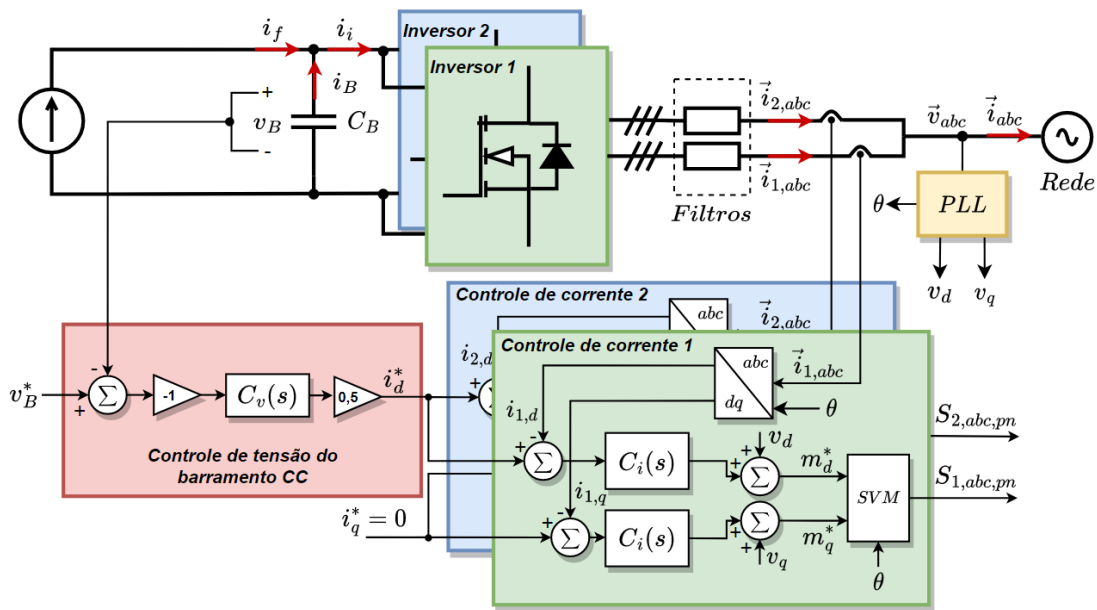
Ap os a obten ao dos modelos din amicos para o controle de corrente e tens o  e necess rio determinar e projetar os controladores para as malhas. Neste trabalho se utilizar a de controladores convencionais do tipo PI para controle de corrente dos inversores e tamb em para o controle de tens o do barramento CC, em ambos os casos, atingindo erro nulo em regime permanente. O projeto destes ser a feito no dom nio da frequ ncia a partir de an lises com diagramas de Bode para se atingir as margens

de fase desejadas, assim como as frequ ncias de cruzamento para cada malha de controle.   importante frisar que a utiliza o de controladores PI, com estrutura mostrada em (81), s  apresenta resultados de qualidade por causa da utiliza o da transforma o do referencial abc para o estacion rio dq , caso contr rio seria necess rio a utiliza o de outro controlador, como por exemplo um proporcional-ressonante (PR) [37]. A Figura 34 mostra uma vis o geral do controle do sistema *Grid-Tied*. Observa-se que o controle de tens o gera a refer ncia da corrente do eixo direto i_d^* , e o referencial da componente de quadratura i_q^*   mantido em 0 para obter fator de pot ncia unit rio. Posteriormente, i_q^* ser  alterada para a inje o de pot ncia reativa. Al m disso, o controle de corrente de cada inversor   feito de maneira isolada com cada um recebendo metade do valor de sa da do controlador de tens o.

$$C(s) = k_i \left(\frac{\tau_i s + 1}{s} \right) \quad (81)$$

onde τ_i   a rela o entre o ganho proporcional e o integral k_p/k_i .

Figura 34. Diagrama de controle do sistema *Grid-Tied*.

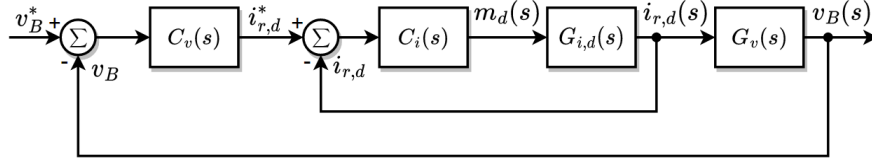


Fonte: Pr prio autor.

Para melhorar a compreens o   mostrada na Figura 35 o esquem tico das malhas de controle de corrente i_d e tens o v_B para um inversor.   proposto que o controle lidar  com os valores de corrente e tens o em sua escala real. Sendo assim, as fun es de transfer ncia em malha aberta (FTMA) para a corrente e tens o podem ser definidas como mostrado em (82), onde observa-se que a malha fechada (FTMF) do la o de corrente se insere em cascata   malha de tens o.

$$\begin{cases} FTMA_i(s) = C_i(s)G_{i,d}(s) \\ FTMA_v(s) = C_v(s)FTMF_i(s)G_v(s) \end{cases} \quad (82)$$

Figura 35. Malhas de controle simplificado.



Fonte: Próprio autor.

O projeto do controlador de corrente se inicia a partir da fase necessária que o PI de corrente deverá inserir na $FTMA_c$ do sistema sem compensação para atender aos requisitos de projeto. Definindo-se uma frequência de cruzamento desejada w_c , o cálculo do ângulo do PI, com uma margem de fase (MF) desejada, pode ser calculado por

$$fasePI = MF - \left(180^\circ + \angle FTMA_c(jw_c)\right) \quad (83)$$

Após determinada a fase que o PI deverá inserir na planta, calcula-se a relação entre os ganhos do controlador a partir de (84).

$$\tau_i = \frac{\tan(fasePI + 90^\circ)}{w_c} \quad (84)$$

Com τ_i é feita a análise do ganho do sistema na frequência de cruzamento desejada a partir do compensador ainda sem o ganho k_p em série e, assim, é definido o ganho da parte integral como:

$$k_i = \left(\left| \left(\frac{\tau_i jw_c + 1}{jw_c} \right) \cdot FTMA(jw_c) \right| \right)^{-1} \quad (85)$$

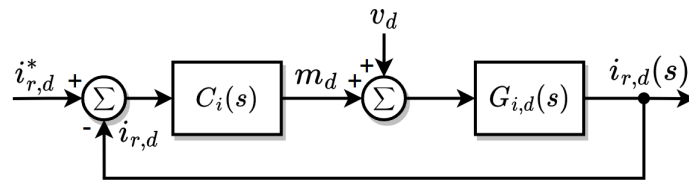
E conseqüentemente, o ganho da parte proporcional k_p pode ser encontrada por

$$k_p = \tau_i \cdot k_i \quad (86)$$

2.8.1 Malha *feedforward* de tensão

Em ambas configurações de filtros utilizados, L e LCL, foi adicionado na malha de controle de corrente um compensador *feedforward* de tensão, como já apresentado na Figura 34 e detalhado aqui pela Figura 36 para o eixo d .

A justificativa para a utilização do *feedforward* como mostrado em [38, 39] vem do fato de que os harmônicos da rede elétrica influenciam na corrente de saída

Figura 36. Detalhe da adição da componente *feedforward*.


Fonte: Próprio autor.

do sistema fazendo com que componentes de baixa frequência apareçam. Além de inibir estes efeitos, o *feedforward* também reduz os esforços do controlador de corrente fazendo com que este opere nas variações necessárias para atender as dinâmicas das correntes nos indutores de conexão à rede elétrica, além também de permitir que o sistema inicialize sem grandes picos de corrente.

A realimentação do *feedforward* ainda sofre um ganho dado pelo valor da tensão do barramento $1/V_B$ para adequar aos limites do índice de modulação, entre 0 e aproximadamente 1, dado que de forma direta o valor de v_d reflete o pico da tensão de fase da rede elétrica.

2.9 Discretização e amostragem

A discretização das funções de transferência, de controladores e filtros se faz necessária para aplicação do sistema proposto em um controlador digital, no caso deste trabalho através de um *Digital Signal Processor* (DSP) LAUNCHXL-F28379D com processador da série C2000 da *Texas Instruments* [40]. Pelo método de discretização de *Tustin* basta aplicar a substituição do termo contínuo s por

$$s = \frac{2}{T_a} \frac{1 - z^{-1}}{1 + z^{-1}} \quad (87)$$

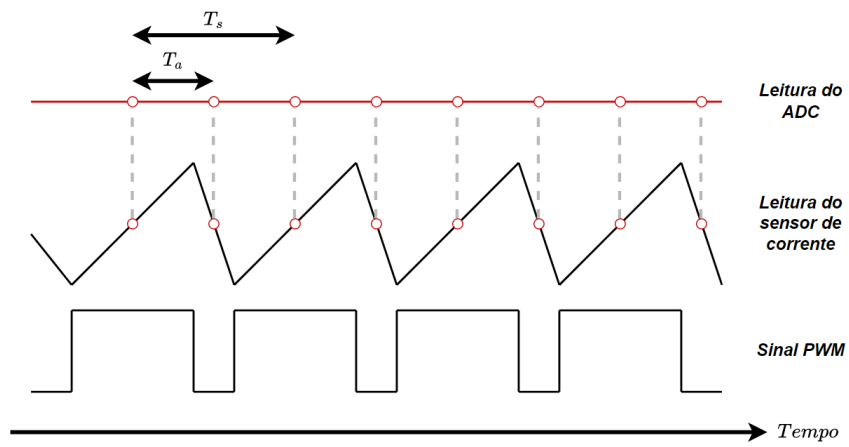
onde T_a é o tempo de amostragem que é feita a leitura das variáveis do controle.

Para aplicação de conversores chaveados se utiliza comumente o tempo de amostragem como o inverso do dobro da frequência de chaveamento para atender o critério da amostragem de *Nyquist* [41], sendo assim dado por

$$T_a = \frac{1}{2f_s} \quad (88)$$

Além disso, esta associação entre o tempo de amostragem e o de chaveamento permite a utilização da técnica de amostragem síncrona do sinal de corrente que faz com que parte do *ripple* presente na leitura do ADC seja filtrada de forma natural como é detalhada pela Figura 37, que pode ser implementada facilmente ao configurar a amostragem do ADC nos pontos médios dentro do período do sinal PWM.

Figura 37. Amostragem s incrona.



Fonte: Adaptado de [17].

3 RESULTADOS DE SIMULAÇÃO

Esta seção tem como objetivo apresentar os resultados das simulações utilizadas para validar a teoria apresentada no capítulo anterior para, assim, seguir com a implementação laboratorial do sistema proposto através de controle digital. Os resultados foram obtidos a partir do *software* MATLAB/Simulink®. Inicialmente será abordado o algoritmo de sincronização à rede elétrica de distribuição, e, na sequência serão tratados os controles de tensão e corrente.

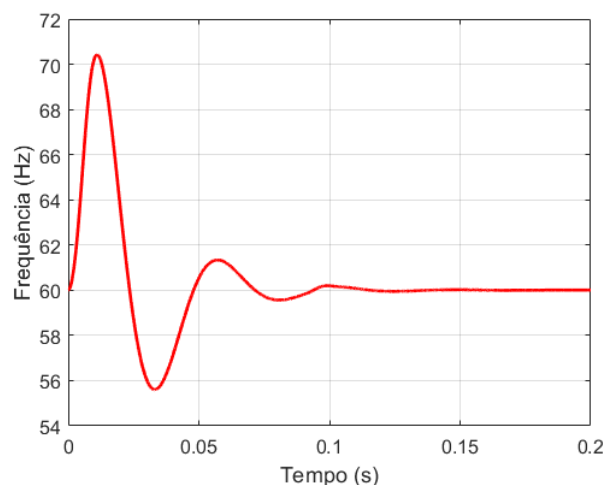
3.1 Resultados do DSOGI-PLL

Utilizando os passos abordados em (71) e definindo os parâmetros $k = 2,4$ e $f_p = 24$ Hz, como sugeridos em [32], chegou-se aos ganhos do controlador PI mostrado em (89). Assim, aplicando a técnica de discretização abordado na seção 2.9 montou-se a estrutura do DSOGI-PLL de forma discreta a partir da leitura das tensões da rede elétrica com 30 kHz de amostragem.

$$\begin{cases} k_p = w_c = 150,8 \\ k_i = \frac{w_c^2}{k} = 9,48.10^3 \end{cases} \quad (89)$$

Para avaliar o funcionamento do algoritmo, configurou-se as tensões da rede elétrica para ficarem adiantadas em 30° para dificultar a inicialização do PLL. A Figura 38 mostra o transitório da resposta da frequência de saída do PLL. Observa-se que a entrada em regime permanente ocorre aproximadamente no tempo de 0,1 segundos e, após isso, se estabiliza na frequência da rede em 60 Hz.

Figura 38. Resposta da frequência do DSOGI-PLL.



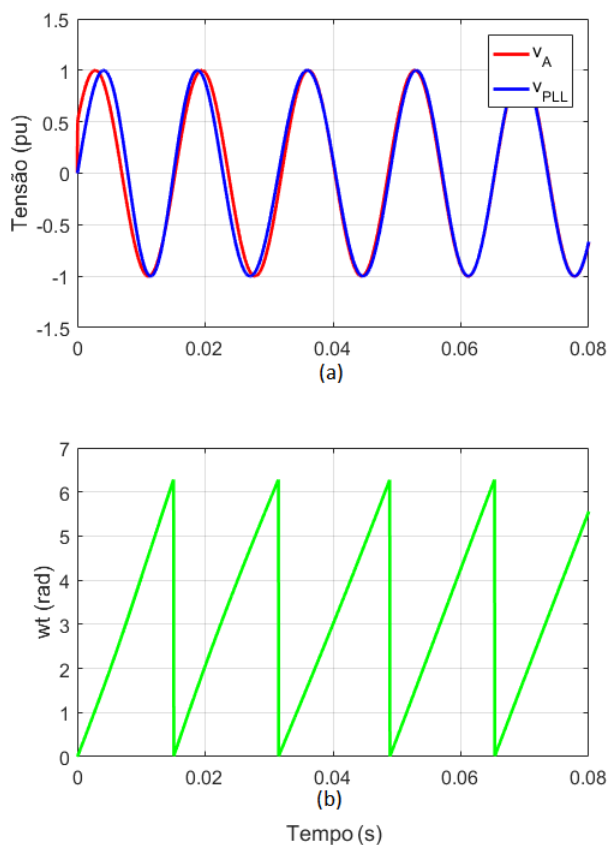
Fonte: Próprio Autor

A oscilação inicial não é preocupante para o funcionamento do sistema pois

a conex  o   a rede el trica s  ocorre ap s a estabiliza  o do PLL. A resposta em frequ ncia   muito relevante para futuros algoritmos de prote  o do sistema para identificar falhas na rede caso ocorra a falta de uma fase por exemplo, assim atuando como um algoritmo de anti-ilhamento [18].

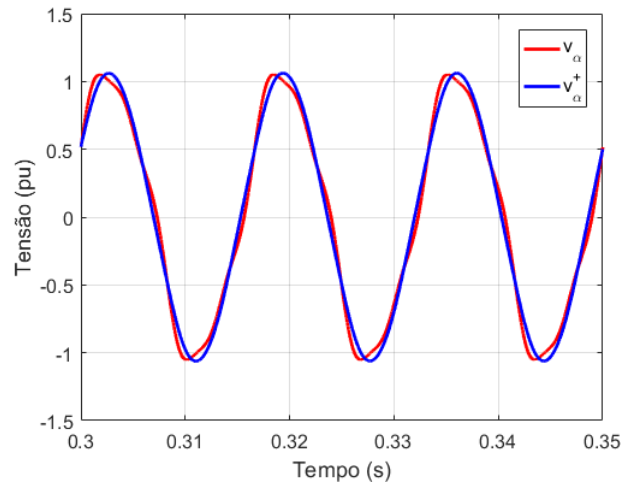
Outro resultado interessante de se observar   o apresentado na Figura 39(a), o qual compara a tens o normalizada da fase A com o sinal senoidal de sa da do PLL, que obrigatoriamente devem estar em fase. Verifica-se que a resposta de fase do PLL   mais r pida que a de frequ ncia, dado que o sinal de referencia do PLL visivelmente j  est  quase em fase com a rede el trica pr ximo dos 0,06 segundos. O gr fico da Figura 39(b) mostra o valor do angulo θ utilizado nos c lculos das transformadas do referencial abc para dq .

Figura 39. Resposta de fase e  ngulo do DSOGI-PLL.



Fonte: Pr prio Autor

Por fim, a Figura 40 aborda a justificativa para se utilizar um DSOGI-PLL em vez de um SRF-PLL para sistemas trif sicos. Adicionou-se componentes de 3  e 5  ordens   tens o para simular uma rede el trica com distor  es. O resultado da forma de onda normalizada   mostrado em vermelho por v_α , e a componente de sequ ncia positiva v_α^+ , em azul, obtida via DSOGI,   enviada ao algoritmo PLL evitando assim oscila  es nas vari veis de sa da causadas pela m  qualidade da tens o no ponto de conex o do sistema.

Figura 40. Compara  o entre a componente de entrada e de seq encia positiva de v_α .

Fonte: Pr prio Autor

3.2 Controle de corrente

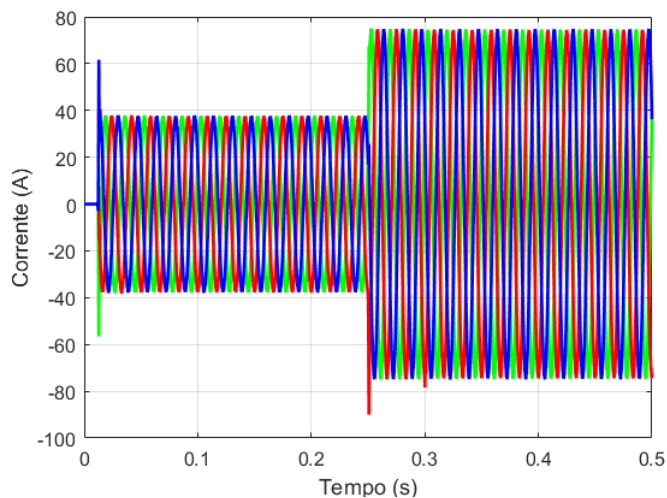
Para validar o controle de corrente via simula  o utilizou-se, inicialmente, de uma fonte de tens o cont nua fixa para emular o barramento CC do eletroposto. Para o filtro L utilizou-se ramos indutivos de $520 \mu H$ e $1 mH$, e, para o filtro LCL apenas a configura  o em que $L_1 = L_2 = 520 \mu H$, cada inversor com seu filtro dedicado. J  para o ramo capacitivo amortecido do filtro LCL foi definido $C_f = 4,4 \mu F$, e conseq entemente com os valores dos indutores citados anteriormente, calculou-se o resistor de amortecimento $R_a = 15,37 \Omega$.

Se tratando dos par metros de projeto do controlador optou-se por manter a frequ ncia de cruzamento da planta em um d cimo da frequ ncia de chaveamento $f_c = 1,5 \text{ kHz}$ promovendo j  uma boa atenua  o das componentes do chaveamento e boa velocidade de resposta. A margem de fase foi definida em 60 graus para assim garantir um fator de amortecimento ao sistema que ser  r pido o suficiente por m sem oscila  es e grandes *overshoots*.

Com degraus de 50% e 100% da carga nominal do sistema sendo injetada na rede, a Figura 41 mostra as formas de onda das correntes trif sica utilizando o filtro LCL. Observa-se que o controle responde de forma satisfat ria. Apenas no momento da conex o   rede el trica que   poss vel identificar um *overshoot* de 39,26% em rela  o   refer ncia de corrente, este fato   compreens vel j  que se trata da situa  o mais cr tica para o sistema, e, tamb m   previs vel que a inicializa  o na rede el trica nunca ser  feita a partir de um valor t o alto de pot ncia a ser injetada ou absorvida.

Como mostrado na Figura 42, quando o sistema inicia em rampa, o *overshoot* anteriormente mostrado   quase inexistente. Neste teste, a refer ncia de corrente vai de seu valor nominal equivalente aos 20 kW de pot ncia em rampa de 0 a 0,1 segundos, em seguida, permanece neste valor at  0,25 segundos onde se inicia uma

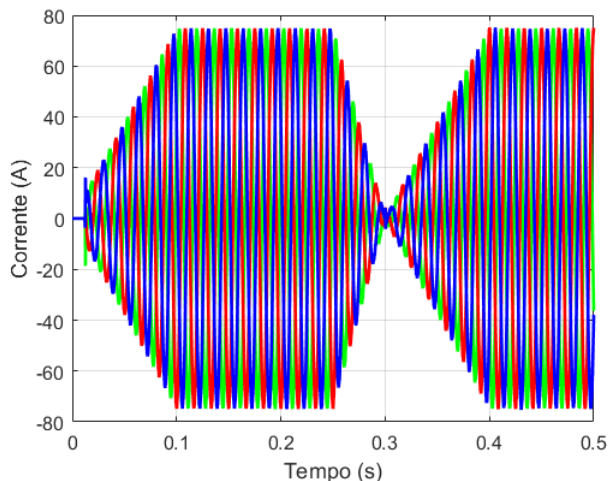
Figura 41. Resposta do controle de corrente do sistema   degraus de carga injetando corrente na rede el etrica.



Fonte: Pr oprio Autor

rampa de transi  o de estado de pot ncia, de injetando corrente na rede el etrica para absorvendo. Ap os o sistema estar absorvendo pot ncia da rede, a refer ncia de corrente cresce em rampa para atingir o valor nominal de pot ncia para, assim, finalizar a valida  o de ambos os modos de funcionamento com os par metros de projeto definidos.

Figura 42. Resposta do controle de corrente  s rampas e transi  o entre os modos de funcionamento.

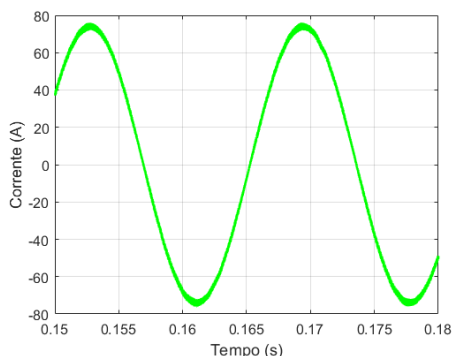


Fonte: Pr oprio Autor

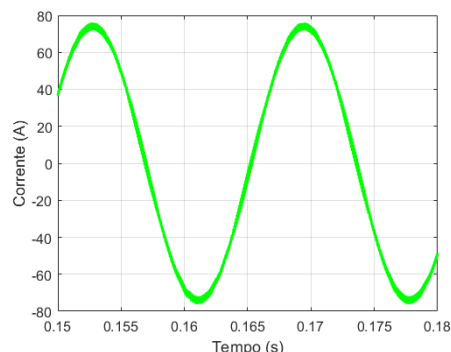
Uma das vantagens da utiliza  o de dois inversores em paralelo   a possibilidade de realizar o entrela amento (do ingl s, *interleaved*) dos sinais portadores do chaveamento para que parte do *ripple* de corrente se anule naturalmente, aumentando a qualidade da corrente drenada ou injetada na rede el etrica. A compara  o entre as formas de onda de corrente com as respectivas distor  es harm nicas totais (DHT)

para os tipos de filtros propostos   mostrada na Figura 43.

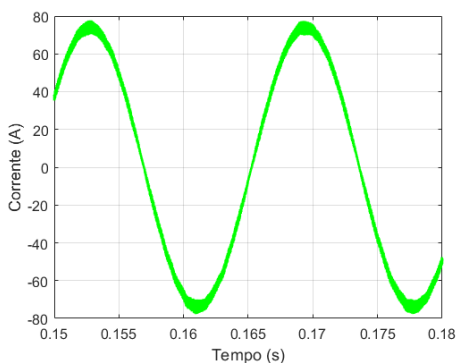
Figura 43. Formas de onda de corrente com suas taxas de distor o harm nica total para cada tipo de filtro proposto.



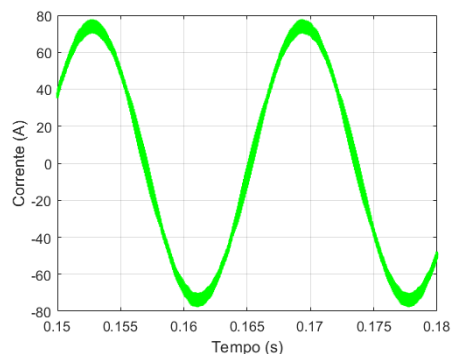
(a) $L = 1\text{mH}$ com *interleaved*
DHT = 2,1%.



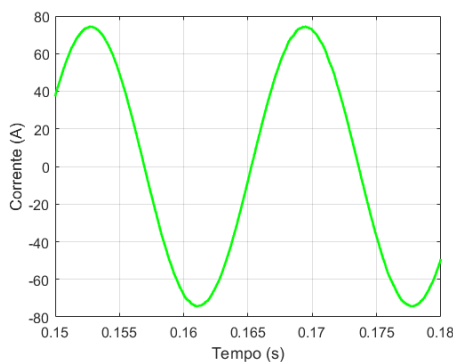
(b) $L = 1\text{mH}$ sem *interleaved*
DHT = 2,61%.



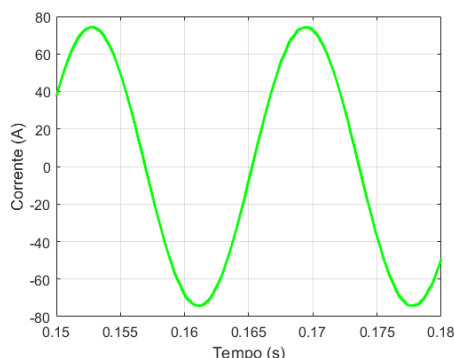
(c) $L = 520\mu\text{H}$ com *interleaved*
DHT = 3,54%.



(d) $L = 520\mu\text{H}$ sem *interleaved*
DHT = 4,7%.



(e) $L_1 = L_2 = 520\mu\text{H}$ e $C_f = 4,4\mu\text{F}$ com
interleaved
DHT = 1,42%.



(f) $L_1 = L_2 = 520\mu\text{H}$ e $C_f = 4,4\mu\text{F}$ sem
interleaved
DHT = 1,65%.

Fonte: Pr prio Autor

Os 6 resultados apresentados em pot ncia nominal est o dentro das normativas do estado de Mato Grosso do Sul pela concession ria de energia Energisa atrav s da NDU-013 que comissiona que um sistema de gera o distribu da (GD) em seu funcionamento em pot ncia nominal deve conter uma DHT abaixo dos 5%, assim como na norma IEEE 1547 [42].

Dado os valores de indut ncia para o filtro L   esperado que quanto maior a indut ncia menor a DHT apresentada na forma de onda de corrente. Mesmo abaixo do valor projetado fielmente pelo c culo apresentado na se o 2.3.1, que se trata do filtro L com 520 μH , este apresenta um resultado com uma DHT de 4,7%, esta que atrav s do *interleaved*   potencializada para 3,54%; a qual   visivelmente alcanada pelo cancelamento do *ripple* ao longo do crescimento da onda senoidal de corrente, e tamb m levemente em seu pico. O *ripple* de corrente sem *interleaved* fica em aproximadamente 8,85 A para um pico de corrente de 74 A o que resulta em um *ripple* percentual Δi_L de 11,95% pr ximo ao normalmente utilizado no projeto dos indutores de 10%. J  que o *ripple* de corrente possui uma rela o linear com a indut ncia de conex o, para a indut ncia de 1 mH o resultado obtido foi de 4,47 A equivalente   um Δi_L de 6%.

O *interleaved* agrega na melhoria da qualidade de todas as configura es de filtro utilizada, por m   observado que a melhora alcanada com a ativa o desta fun o   bem mais expressiva no filtro com menor atenua o e maior *ripple*, sendo as redu es na DHT, respectivamente pela sequ ncia da Figura 43, como 0,51%, 1,16% e 0,23%. O que aumenta a viabilidade da utiliza o do filtro L com menor indut ncia por seu menor volume e custo.

Como j  previsto, o filtro LCL se sobressai sobre as outras duas configura es mostradas com uma DHT pr xima de 1,5% e Δi_{L2} de 1,75%, j  se encaixando dentro das normativas com uma pot ncia bem abaixo da nominal. E como comentando anteriormente, a utiliza o do *interleaved*, nesta configura o, n o gera tantos ganhos na qualidade da corrente.

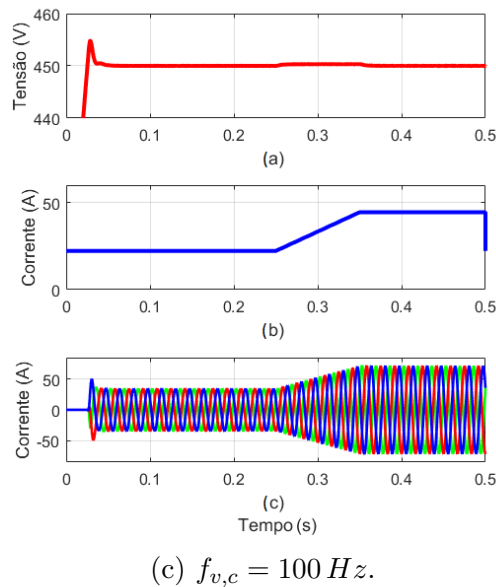
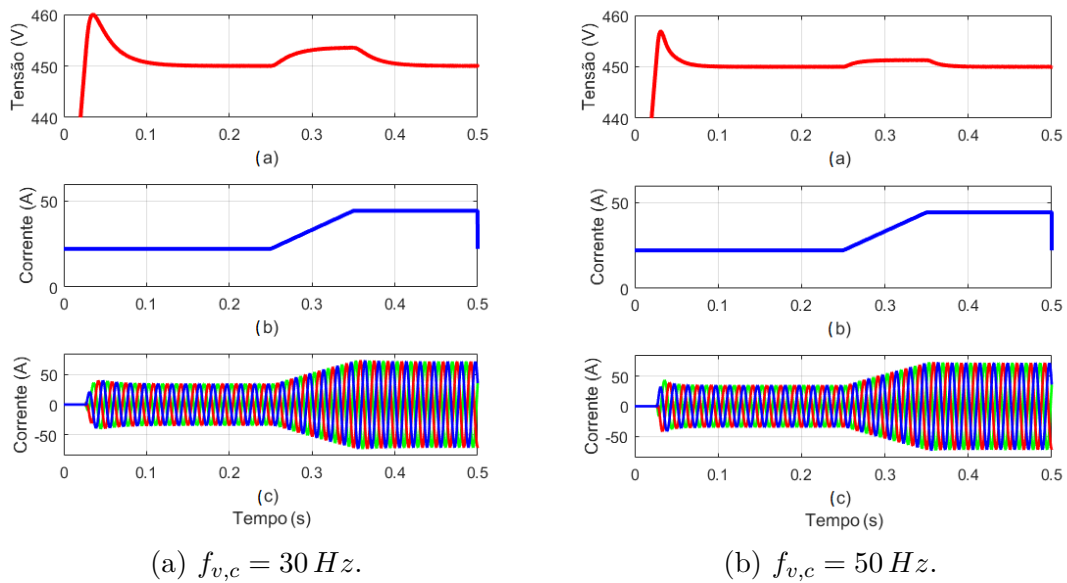
3.3 Controle de tens o

Para as simula es, definiu-se a capacit ncia do barramento CC como $C_B = 10\text{ mF}$ como valor pr ximo a estima o feita a partir da equa o (68) utilizando como base metade da pot ncia nominal do sistema, 10 kW.

A malha de controle teve como par metros uma margem de fase de 80° para proporcionar um amortecimento maior do que o da malha de corrente, pois, caso o barramento CC sofra com oscila es de grande amplitude isso se refletir  na refer ncia de corrente repassada ao controle de corrente. J  a frequ ncia de cruzamento $f_{v,c}$ foi escolhida com o objetivo de isolar as malhas de controle entre si. Dada a frequ ncia de cruzamento do controle de corrente $f_{i,c}$ de 1,5 kHz, deve-se escolher, assim, valores que sejam menores que um d cimo de $f_{i,c}$ para que as malhas trabalhem isoladas entre si. Outro fator tamb m na escolha da frequ ncia de cruzamento   o *ripple* natural de 360 Hz que estar  presente na onda de tens o, sendo, assim, desejado um valor menor para atenua o deste efeito. A Figura 44 exemplifica os resultados de simula o do sistema para um padr o de corrente que chega ao barra-

mento CC i_B mostrada em azul, que inicia com metade da corrente nominal e finaliza transitando em rampa para pot ncia completa. Em vermelho, o comportamento da tens o do barramento CC e a  ltima figura as correntes trif sicas injetadas na rede el trica para frequ ncias de cruzamento em 30, 50 e 100 Hz, utilizando o filtro LCL, com resultados para demais filtros muito parecido por se tratar de uma din mica da planta de tens o, onde as diferen as na corrente seriam apenas a forma de onda.

Figura 44. Diferen a da din mica do barramento CC dado a frequ ncia de cruzamento do controle.



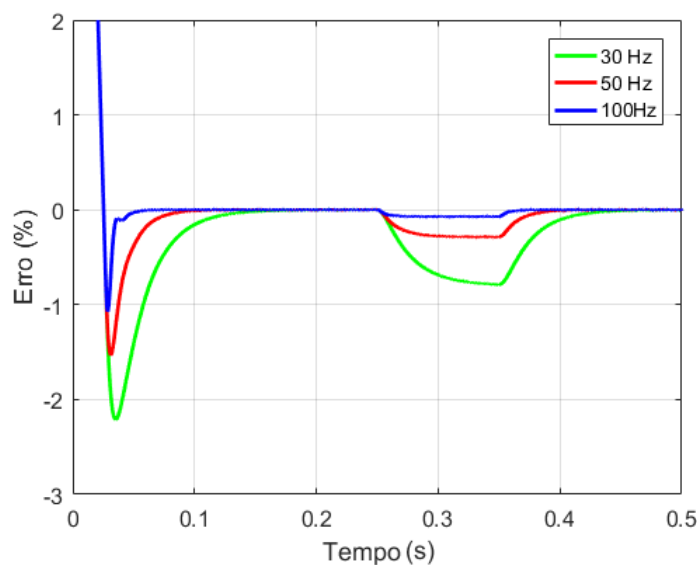
Fonte: Pr prio Autor

Os controles se diferenciam basicamente pela velocidade que o sistema atinge os referenciais quando estes ficam constantes, e tamb m o tamanho do erro no momento da rampa de transi o, dado que o controlador PI n o   capaz de rastrear este tipo

de sinal com erro nulo, por m, observa-se que quanto maior a velocidade do controle menor   o erro, como pode ser observado na Figura 45 que mostra em gr fico o detalhamento do erro para as frequ ncias de cruzamento dos testes. Al m disso, os *overshoots* observados s o bem baixos em rela  o ao referencial de 450V, sendo o maior deles 2,1% n o trazendo preocupa  o ao funcionamento.

Mesmo com as diferen as observadas, qualquer uma das frequ ncias atenderiam muito bem o sistema, dado que a flutua  o de tens o fica pr xima aos 1% em rela  o a refer ncia. Tamb m   importante frisar que os controladores de corrente das fontes de energia encontradas no eletroposto possuem um controle de corrente bem lento em compara  o   esta malha de tens o. Se tratando das correntes trif sicas da rede el trica pouco se alteraram em seus comportamentos apenas uma observa  o em rela  o a resposta para a frequ ncia de 100 Hz em que houve um princ pio de *overshoot* por causa da maior velocidade. Portanto, optou-se por utilizar $f_{v,c} = 50 \text{ Hz}$.

Figura 45. Erro da tens o do barramento CC para diferentes frequ ncias de cruzamento.

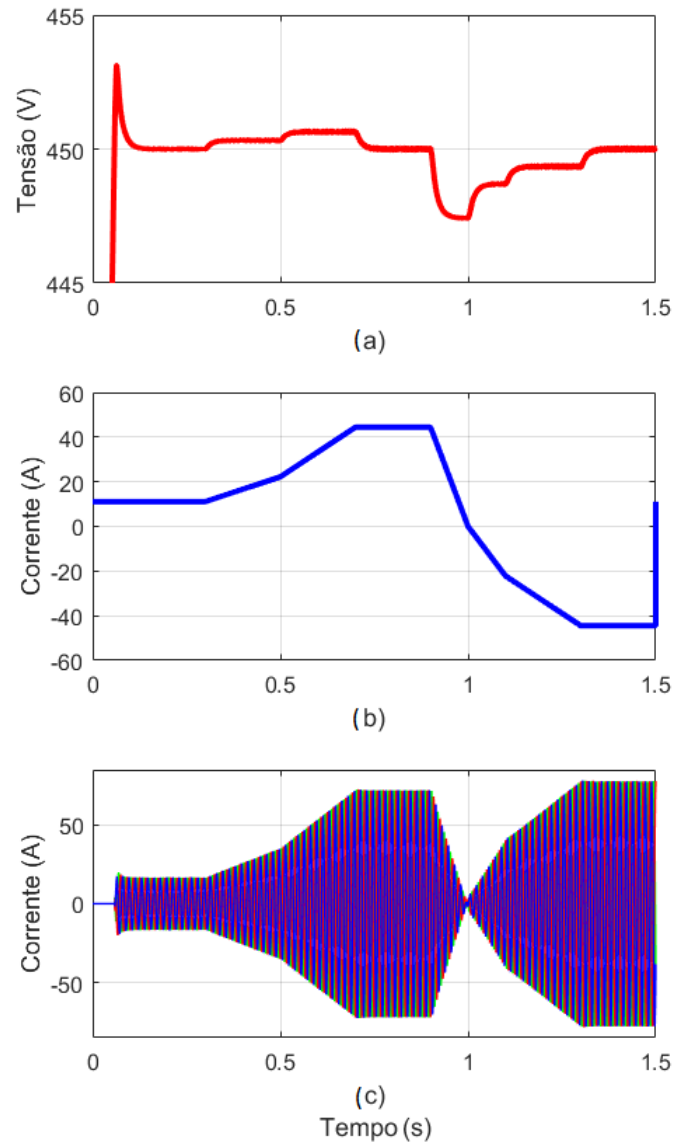


Fonte: Pr prio Autor

O  ltimo resultado retrata um perfil de corrente do barramento CC mais condizente com o funcionamento que ser  imposto ao inversor *Grid-Tied* apresentando tanto inje  o de corrente na rede el trica quanto absor  o, e, exigindo corrente nominal em ambos os sentidos como   mostrado na Figura 46. A conex o   rede el trica ocorre quando o barramento CC, carregado pela corrente i_B , atinge o valor de 450V. Neste momento   iniciado as malhas de controle de tens o e corrente at  ent o desabilitadas. Observa-se que as oscila  es na tens o do barramento CC ficaram abaixo de 1% do valor nominal de refer ncia com um baixo erro nas transi  es em rampa, e, al m disso, no momento da conex o, aproximadamente em 0,06 segundos, n o ocorre nenhum pico nas correntes trif sicas, e tamb m no momento de invers o de

sentido do fluxo de pot ncia do conversor em 1 segundo.

Figura 46. Resultados de simula o para o controle completo do sistema com uma refer ncia de corrente do barramento CC bidirecional.



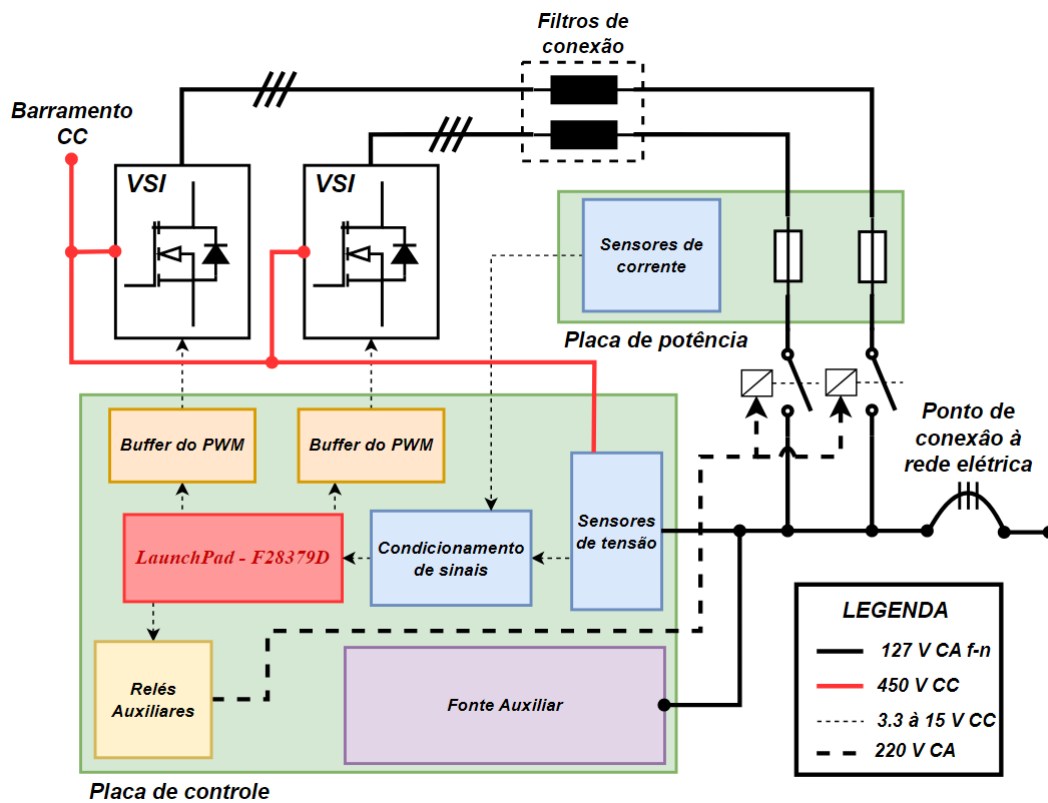
Fonte: Pr prio Autor

4 PROTÓTIPO IMPLEMENTADO E RESULTADOS EXPERIMENTAIS

O seguinte capítulo tem o objetivo de apresentar a implementação do protótipo do inversor bidirecional *Grid-Tied* e os resultados obtidos a partir do mesmo.

Uma visão geral da montagem é mostrada na Figura 47. O esquemático apresenta a função das placas de acordo com o seu posicionamento nas placas de circuito impresso (PCB).

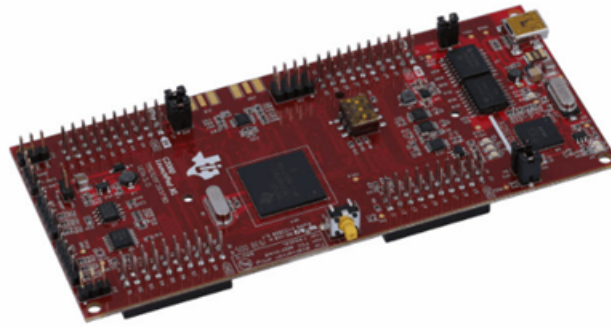
Figura 47. Esquemático da montagem do protótipo do inversor bidirecional *Grid-Tied*.



Fonte: Próprio Autor.

No controle do sistema é utilizado um LAUNCHXL-F28379D da *Texas Instruments* de 32 bits mostrado na Figura 48. Este apresenta 200 MHz de clock, conversores analógicos digitais (ADC) de 12 e 16 bits, e unidade de cálculos em ponto flutuante (FPU) [40]. No total foram utilizados 6 canais PWM, 3 para cada inversor, 9 ADCs, 6 para as correntes dos inversores, 2 para as tensões da rede elétrica, e 1 para tensão do barramento CC, além de 4 portas de uso geral (do inglês, GPIO - *General Purpose Input/Output*) para acionamento dos relés auxiliares dos contadores de conexão do sistema à rede.

Para os projetos das PCBs foi utilizado o software profissional *Altium Designer*, e para o desenho do painel montado do sistema o software de desenho 3D *Solid Works*.

Figura 48. LAUNCHXL-F28379D da *Texas Instruments*.

Fonte: [40]

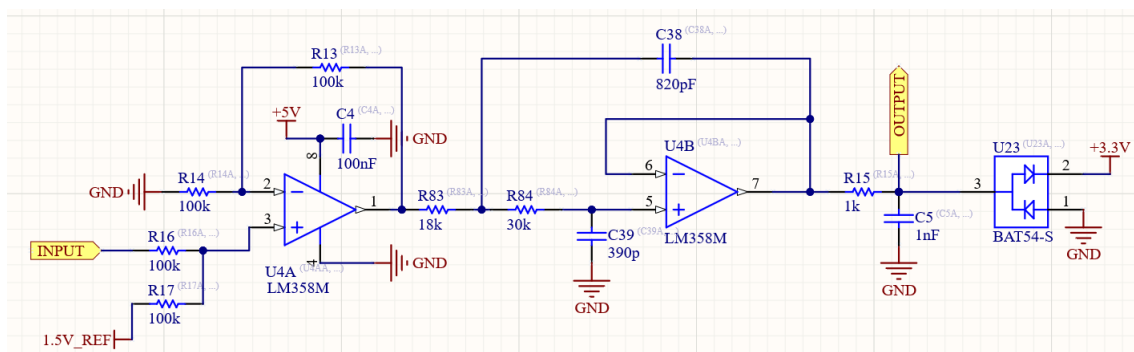
4.1 Projetos das placas de controle e pot ncia

4.1.1 Condicionamento de sinais

A primeira fun o da placa de controle   a de condicionar os sinais dos sensores de corrente e tens o para as leituras dos ADCs do DSP. Os sinais adquiridos pelos sensores possuem valores tanto positivos como negativos por se tratarem de ondas senoidais, e, a leitura do ADC s o suporta sinais entre 0 e 3 V como detalhado em [40]. Portanto, o condicionamento com amplificadores operacionais foi projetado de forma a adicionar um *offset* ao sinal provido dos sensores para eliminar a parte negativa, e, ap s este est gio, inseriu-se um filtro passa-baixas de segunda ordem para reduzir a influ ncia dos ru dos de chaveamento no controle. Este foi sintonizado em 12 kHz.

A Figura 49 mostra o esquem tico utilizado para o condicionamento de sinais com um circuito integrado (CI) com amplificador duplo, configura o esta que   replicada para todos os sinais dos sensores. Por fim, vale ressaltar que em sua sa da foi colocado uma prote o para sobretens o e subtens o com um CI BAT54.

Figura 49. Esquem tico do circuito de condicionamento de sinais no *Altium Designer*.

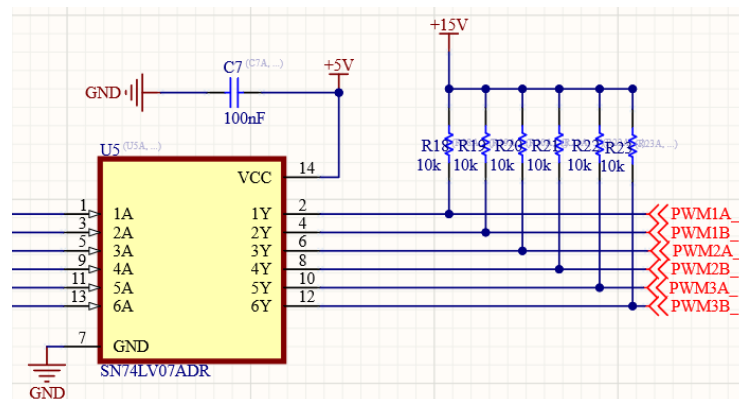


Fonte: Pr prio Autor.

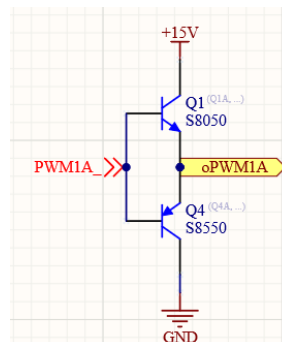
4.1.2 *Buffer* PWM

O *buffer* do sinal PWM tem como objetivo fazer com que o sinal tenha tanto amplitude necess aria para acionamento do *Gate Driver* do m odulo inversor como fornecer a corrente necess aria. Sendo assim, o primeiro est agio utiliza um CI de 6 entradas/sa idas SN74LV07 que possui dreno aberto e assim o n ivel de tens o da sa ida   determinada pela tens o colocada no resistor de *pull-up* como pode ser observado na Figura 50(a).   interessante observar que ocorre invers o na l ogica de acionamento, por m, isto   facilmente corrigido via *firmware*. Por fim, um amplificador de corrente em meia ponte utilizando transistores do tipo NPN e PNP faz o papel de *buffer* de corrente como mostrado na Figura 50(b).

Figura 50. Detalhe do circuito *buffer* do PWM.



(a) *buffer* de tens o.



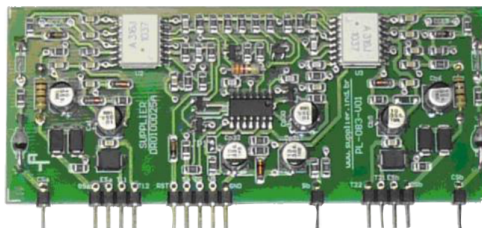
(b) *buffer* de corrente.

Fonte: Pr oprio Autor.

Os sinais para os *Gate drivers* dos inversores s o enviados atrav s de conectores tipo IDC de 14 pinos com amplitude de 0 e 15 V, e sua alimenta o tamb m   feita por esta conex o com uma tens o de 15V. Os inversores utilizados s o da fabricante SEMIKRON e possuem o *Gate driver* dedicado da Supplier DRO100D25A, Figura 51. Este aciona transistores MOSFET ou IGBT em at  100 kHz de forma isolada com invers o na tens o de *gate* no momento em que o interruptor deve parar de conduzir, o que acelerar  a din mica de bloqueio do semicondutor se comparado  

apenas impor um n vel l gico baixo de 0 V. [43]

Figura 51. *Gate driver* DRO100D25A da Supplier.



Fonte: [43]

4.1.3 Sensores de tens o e corrente

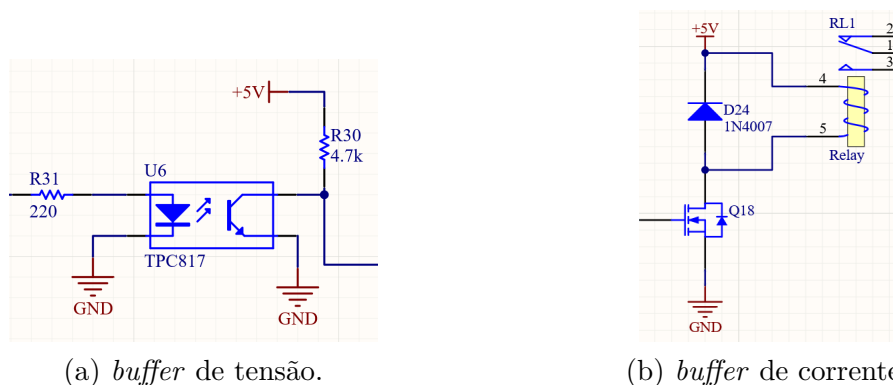
Para a leitura dos sinais de correntes e tens es optou-se por utilizar sensores isolados atrav s de efeito Hall, ambos da mesma fabricante de sensores, LEM. Para realizar a aquisi o das tens es e correntes utilizou-se respectivamente para a tens o e corrente, o LV25-P e LA35-NP. Para o sensor de tens o sua utiliza o   bem simplificada, a partir da limita o de corrente do enrolamento prim rio se delimita a tens o m xima de leitura que proporcionar  tamb m corrente m xima no enrolamento secund rio, que funciona como fonte de corrente. Assim, dentro dos limites de resist ncia dados no *datasheet* [44], escolhe-se um valor para determinada tens o que ser  enviada ao condicionamento de sinais. Por exemplo, para o LV25-P a corrente do secund rio m xima   de 25 mA RMS, ent o colocou-se uma associa o de resistores de 160 Ω que produzir  uma tens o m xima e m nima de:

$$v_{max,min} = \pm\sqrt{2} \cdot 0,025 \cdot 160 = \pm 5,64 V \quad (90)$$

Com a associa o dos resistores   poss vel ajustar a amplitude desejada e ainda permanecer nos limites de resist ncia do sensor. Por exemplo, para uma associa o de 120 Ω e 40 Ω a leitura pode ser feita no resistor de menor valor proporcionando uma amplitude m xima e m nima agora de $\pm 1,41 V$ onde basta adicionar um *offset* de 1,5 V para ajustar os limites em aproximadamente 0 e 3 V. Este mesmo procedimento pode ser replicado para o sensor de corrente respeitando seus valores de refer ncia, dados em [45], para a corrente do secund rio e tamb m para as resist ncias m xima e m nima.

O acionamento dos rel  auxiliares   realizado a partir de optoacopladores que acionam um transistor *low-side* para acionar a bobina do rel  como mostrado na Figura 52. O objetivo   fazer com que a corrente de acionamento n o seja provida pela porta utilizada no DSP e sim pela fonte de alimenta o da placa de controle.

Figura 52. Detalhe do circuito de acionamento dos rel es.

(a) *buffer* de tens o.(b) *buffer* de corrente.

Fonte: Pr prio Autor.

4.1.4 Fonte auxiliar

Para alimenta o, tanto da placa de controle quanto dos sensores da placa de pot ncia, optou-se pelo projeto de uma fonte *flyback* dado a necessidade da alimenta o em v rios n veis diferentes de tens o, al m da necessidade de fontes sim tricas e isolamento. A teoria completa acerca do conversor *flyback* n o ser  tratada neste trabalho como pode ser vista em [46], mas ser o feitos alguns coment rios acerca do projeto. As tens es necess rias e suas fun es s o resumidas na Tabela 7, assim como uma previs o de pot ncia que foi utilizada para o c lculo do transformador.

Tabela 7. Fontes de tens o necess ria para o projeto do *flyback*.

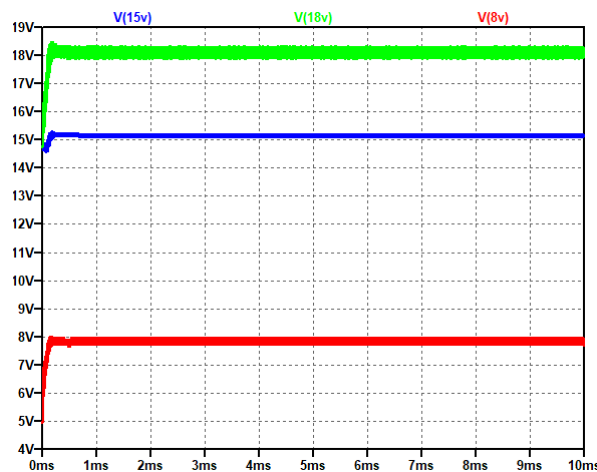
Tens�o	Corrente prevista	Alimenta�o
+15V	500 mA	Sensores de tens�o e corrente
-15V	500 mA	Sensores de tens�o e corrente
+5V	400 mA	Condicionamento de sinais e rel�s auxiliares
+3V3	50 mA	Prote�o e Condicionamento de sinais
+15V	500 mA	Gate driver 1
+15V	500 mA	Gate driver 2

Cada tens o presente na Tabela 7, exceto +3V3 gerado a partir dos 5 V com regulador linear, representa um enrolamento presente no transformador, al m de existir um enrolamento auxiliar que ser  utilizado para o controle da fonte de alimenta o do circuito integrado (CI) de controle UC3844. A metodologia de projeto utilizada   apresenta por [46], em que o controle   aplicado ao enrolamento auxiliar e por consequ ncia da rela o de espiras, os outros enrolamentos t m seguem

o mesmo referencial equivalente. A valida o do funcionamento do projeto se deu, inicialmente, atrav s de simula o no software *LTspice*; para exemplo   mostrado na Figura 53, em azul, a tens o do enrolamento auxiliar, em verde, a tens o que ser  os +15V, e em vermelho, +5V.

A metodologia de controle utilizada   mais simplificada pelo fato de que as tens es das fontes ser o posteriormente ajustadas via reguladores lineares, sendo assim, o controle por equival ncia s  precisa gerar tens es com amplitude de tens o maior que o desejado, no caso como sugest o de [46], 3 V a mais como tamb m   poss vel se observar na Figura 53. Caso contr rio seria necess rio um controle baseado diretamente na tens o que se deseja controlar o qual   exemplificado nas aplica es t cnicas de [47].

Figura 53. Resultado de Simula o da fonte auxiliar *flyback*.

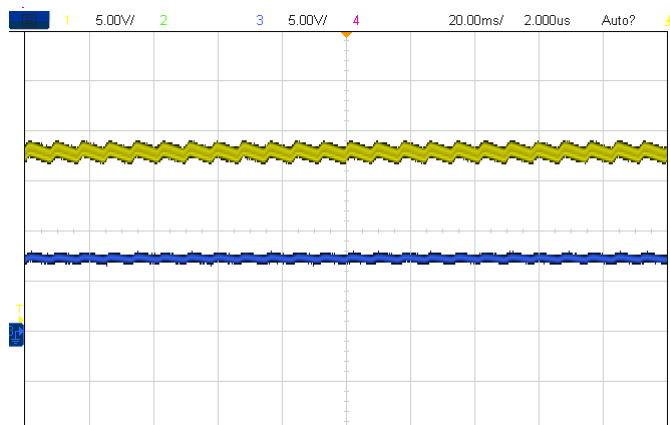


Fonte: Pr prio Autor.

A pot ncia de projeto foi de aproximadamente 42 W, supondo um rendimento de 70%, a pot ncia de entrada resultante   de 60 W. A fonte foi projetada para a tens o de entrada de 127 V RMS, com frequ ncia de chaveamento de 75 kHz. As tens es resultantes s o est veis e possuem apenas *ripple* de 200 mV causado por propaga o de ru dos de efeito eletromagn tico (do ingl s, EMI - *electromagnetic interference*) devido ao chaveamento do conversor, e, tamb m pelas n o idealidades do transformador, por m, este *ripple* n o afeta o funcionamento do sistema como ser  observado nos resultados experimentais. Uma representa o simples da estabilidade das tens es obtidas pode ser observada na Figura 54. As formas de onda apresentadas s o antes da limita o aplicada pelo regulador linear, logo, a ondula o observada n o est  presente no valor final. Os valores m dios apresentados na Figura 54 s o 17,92 V e 7,5 V, referentes as fontes de 15 V e 5 V respectivamente.

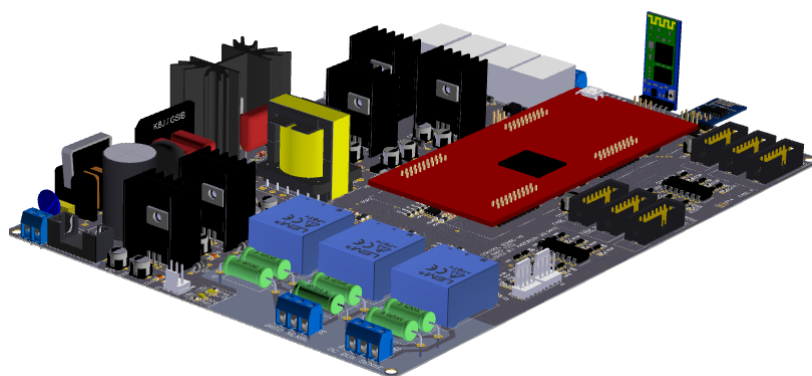
As placas confeccionadas de controle e pot ncia, em seu modelo 3D, s o mostradas, respectivamente, nas Figuras 55 e 56.

Figura 54. Tens es da fonte Flyback. Escalas - Tempo: 20 ms/div; Em amarelo a tens o da fonte de 15V: 5 V/div; Em azul a tens o da fonte de 5V: 5 V/div.



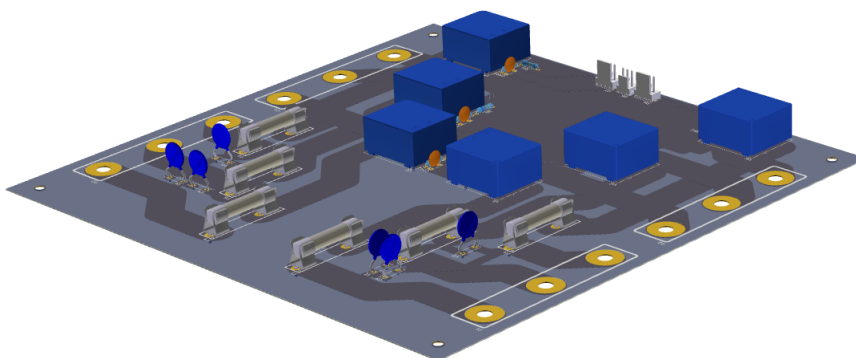
Fonte: Pr oprio Autor.

Figura 55. Modelo 3D da placa de controle feita no *Altium Designer*.



Fonte: Pr oprio Autor.

Figura 56. Modelo 3D da placa de pot ncia feita no *Altium Designer*.



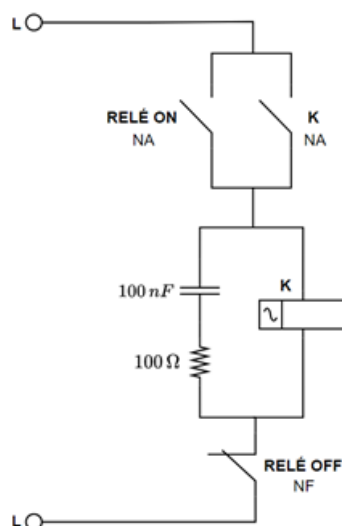
Fonte: Pr oprio Autor.

4.1.5 Acionamento dos contatores

A placa de controle possui 4 rel s auxiliares, 2 para cada inversor. Esta configura  o foi escolhida para cada par de rel s funcionar como botoeiras de liga e

desliga como pode ser visto pelo circuito de acionamento da bobina do contator, tal como mostrado na Figura 57. O contato normalmente aberto (NA) do *REL E ON* ser  fechado por um breve instante de tempo para acionar a bobina do contator K. Logo ser  aberto novamente, neste momento o contato NA de K j  efetuar  o efeito de selo de acionamento do contator e este s  ser  desligado quando o contato NF do *REL E OFF* for aberto.

Figura 57. Circuito de acionamento do contator.



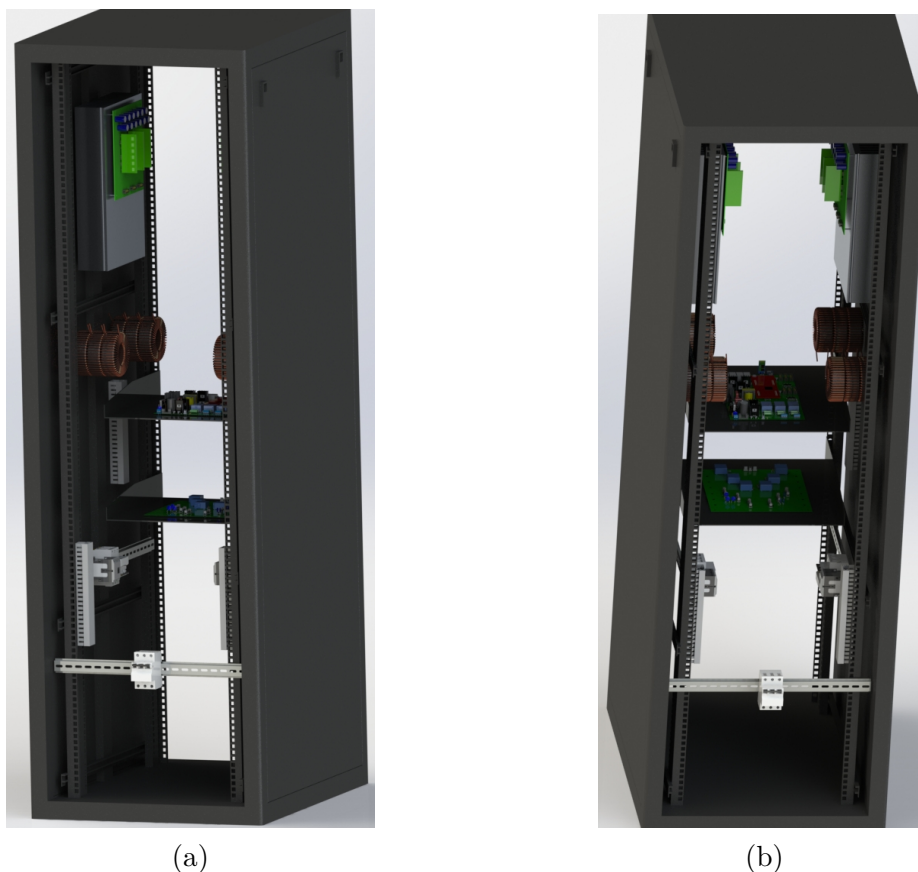
Fonte: Pr prio Autor.

Al m disso, adicionou-se ao circuito um ramo RC em paralelo com a bobina principal do contator para amortecer o acionamento e tamb m para circula  o de corrente quando desligado e, assim, evitando gera  o de ru dos para a placa de controle, o que poderia alterar as leituras dos sinais de baixa tens o enviados e recebidos pelo DSP.

4.2 Montagem do sistema *Grid-Tied*

Por disponibilidade, e tamb m, pela densidade de componentes que o sistema *Grid-Tied* ocupa, optou-se por fazer sua montagem em um *rack* de servidor que estava dispon vel no laborat rio. Utilizando o software de desenho Solid Works e os modelos 3D das placas projetadas no Altium Designer chegou-se a uma perspectiva da montagem, como apresentado na Figura 58.

O sistema foi separado em n veis visando afastar os sinais de alta tens o dos de baixa. O primeiro n vel s o os inversores de pot ncia da *Semikron* que recebem o barramento CC de 400 V   500 V, abaixo deste n vel, v m os filtros de conex o   rede el trica, que s o conectados na placa de pot ncia, e, em seguida, t m-se os contadores um n vel abaixo. Como a placa de controle recebe e envia sinais das diversas partes do sistema, esta ficou localizada no meio da montagem, facilitando as co-

Figura 58. Foto da montagem 3D do prot otipo do inversor bidirecional *Grid-Tied*.

Fonte: Pr oprio Autor.

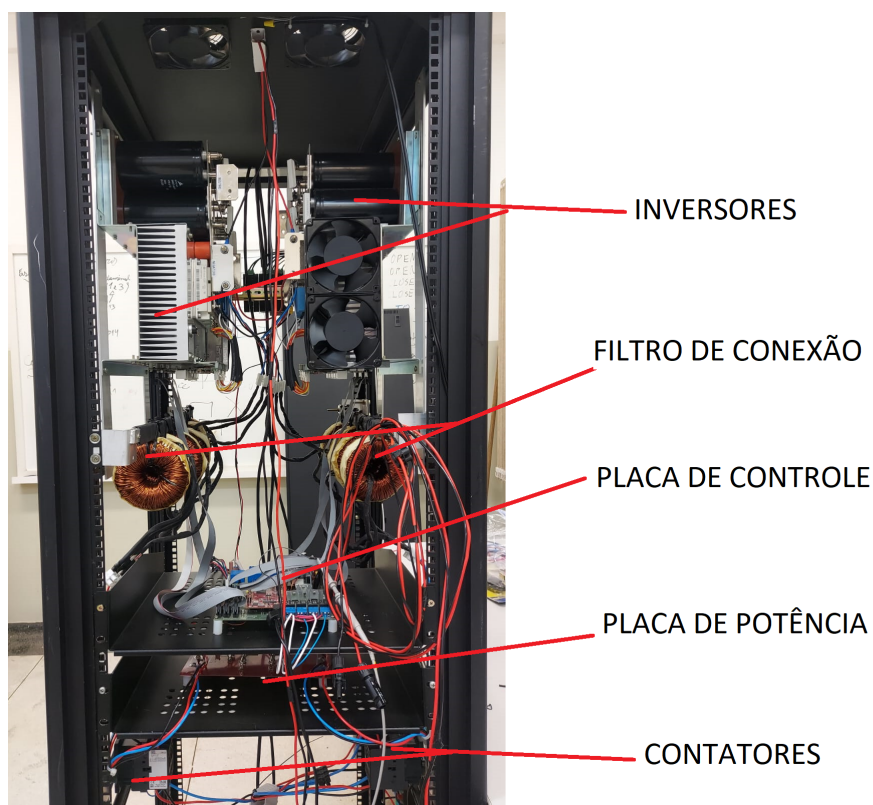
nex oes aos inversores, e, tamb em da alimenta ao da placa de pot encia logo abaixo e, ainda, mantendo a uma certa dist ancia dos indutores que podem gerar interfer encia eletromagn tica. As conex oes mais longas foram passadas dentro de trilhos de PVC para melhor organiza ao dos condutores. A Figura 59 apresenta a montagem do sistema em laborat rio destacando as partes anteriormente mencionadas.

4.3 Resultados do sistema implementado

Para a obten ao de resultados foi utilizado o oscilosc pio *Keysight DSOX3054T* com 4 canais e j a incluso uma fun ao de FFT (do ingl es, *Fast Fourier Transform*) para medi ao de DHT das correntes do sistema. Como fonte de tens o CC foi utilizado o simulador fotovoltaico *TerraSAS ETS 600* com tens o m xima de 600V e corrente de 16,7 A, totalizando 10 kW de pot encia em padr es nominais.

4.3.1 Valida ao do algoritmo de sincronismo

O primeiro resultado experimental buscado foi validar o funcionamento do DSOGI-PLL implementado no DSP pois todo o controle nas coordenadas dq depende do

Figura 59. Foto da montagem em rack do prot otipo do inversor bidirecional *Grid-Tied*.

Fonte: Pr prio Autor.

sincronismo pelo ângulo θ .

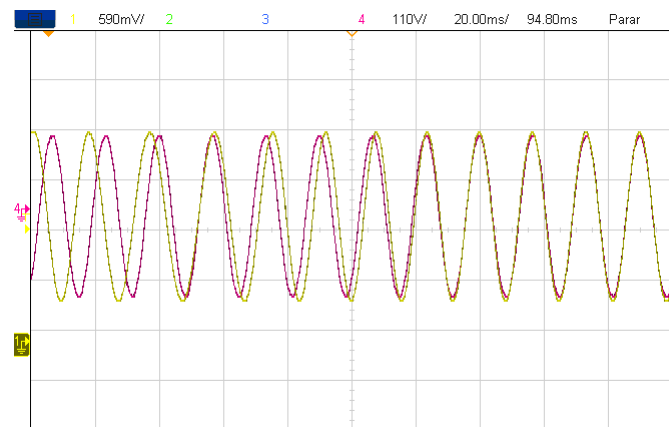
Atrav s do perif rico de convers o digital para anal gico (do ingl s, DAC - *digital to analog converter*) do DSP colocou-se o sinal senoidal de sa da do DSOGI-PLL para compara o com a medi o da fase A da rede el trica para, assim, demonstrar o processo do algoritmo at  a sincroniza o total do sistema. Na Figura 60, em rosa, observa-se a leitura da tens o da rede el trica e em amarelo o sinal do DAC. V -se que o DSOGI-PLL inicia aproximadamente 90° atrasado da fase da rede e em cerca de 120 ms consegue a sincroniza o, garantindo assim que a conex o e o funcionamento do controle ser  feito de forma adequada.

4.3.2 Controle de corrente

Os testes iniciais do controle de corrente foram feitos a partir da alimenta o de cargas resistivas com a fonte de tens o CC. O intuito foi o de checar o funcionamento correto do controle a partir de altera es no referencial de corrente e, tamb m, se este consegue proporcionar uma qualidade na forma de onda de corrente dadas as limita es de atenua o das componentes harm nicas de cada filtro utilizado, citando, filtros L de $520 \mu\text{H}$ e 1 mH , e LCL de $L_1 = L_2 = 520 \mu\text{H}$ e C_f de $4,4 \mu\text{F}$.

A Figura 61 apresenta os resultados do sistema funcionando com 1,2 kW com cargas resistivas e o filtro L de menor indut ncia. Em rosa, a medi o da tens o

Figura 60. Demonstr ao do algoritmo DSOGI-PLL em sincroniza o com   rede.



Fonte: Pr prio Autor.

da fase A da rede el trica para evidenciar o sincronismo com a corrente, em azul e verde, respectivamente, as correntes das fases A e B das resist ncias conectadas em Y, e por  ltimo, em amarelo, o sinal de refer ncia de sincronismo do DSOGI-PLL.

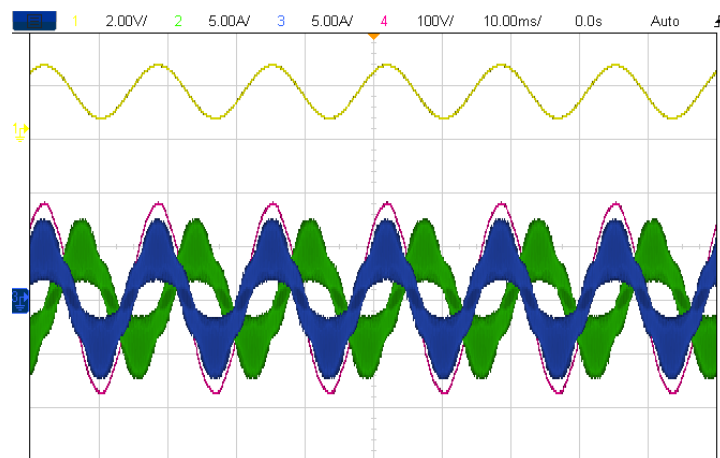
Como nas simula es, aqui tamb m   demonstrado o efeito do funcionamento em *interleaved* dos inversores, neste caso, ganhando destaque para uma situa o em que a pot ncia do sistema   quase 20 vezes menor do que a de projeto, limita o esta causada tanto pela indisponibilidade de um banco de resist ncia de tal tamanho assim como restri es nos equipamentos de medi o utilizados para extrair o maior detalhamento das formas de onda, por exemplo, a ponteira de corrente utilizada *Keysight* N2893A, que possui limite de corrente de pico em 15 A.

Na Figura 61(a)   poss vel observar o *ripple* de corrente bem evidenciado, com $\Delta I_L = 5,31$ A, valor abaixo dos resultados de simula o em conex o   rede el trica pelo fato do sistema estar alimentando resist ncias e tamb m pela n o linearidade das indut ncias dos indutores que podem possuir uma curva de indut ncia que decresce de acordo a corrente, como pode ser observado nos projetos [48]. Quando ativa-se na Figura 61(b), o *interleaved*, o *ripple* de corrente sofre uma diminui o como j  esperado e passa a ser $\Delta I_L = 1,25$ A, al m disso, visualmente tamb m pode se afirmar que ocorreu uma atenua o das componentes de alta frequ ncia pelo fato da onda senoidal fundamental de 60 Hz estar mais aparente.

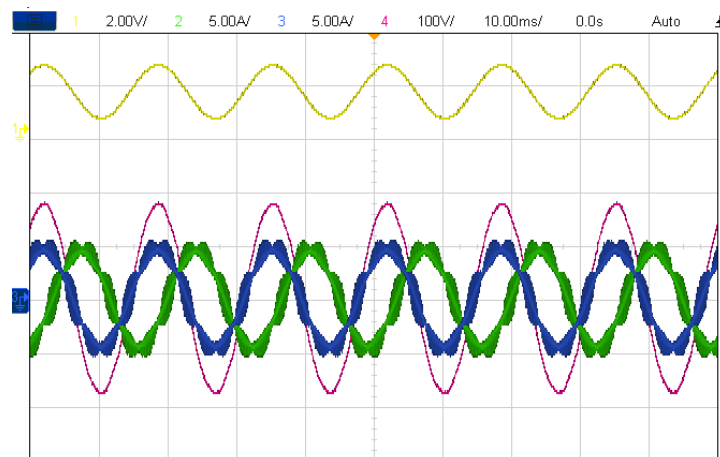
Agora com o filtro L de 1 mH, como mostrado na Figura 62, observa-se uma diminui o no *ripple* e na melhoria de qualidade da forma de onda das correntes como j  era esperado por se tratar de um aumento na indut ncia de filtragem. O *ripple* sem *interleaved* medido foi de $\Delta I_L = 3,1$ A e com a funcionalidade de *interleaved* reduz abaixo dos 1 A.

Como os resultados com filtro L de 1 mH com *interleaved* j  demonstraram uma  tima qualidade nas formas de onda das correntes, era esperado para o filtro LCL uma qualidade ainda melhor onde n o se notaria de forma acentuada outras

Figura 61. Formas de onda para o sistema alimentando cargas resistivas com 1,2 kW com filtro L de 520 μH . Escalas - Tempo: 10 ms/div; Em amarelo a tens o de refer ncia do PLL: 2 V/div; Em azul corrente da fase A: 5 A/div; Em verde corrente da fase B: 5 A/div; Em rosa a tens o da fase A da rede el trica: 100 V/div.



(a) Sem *interleaved*



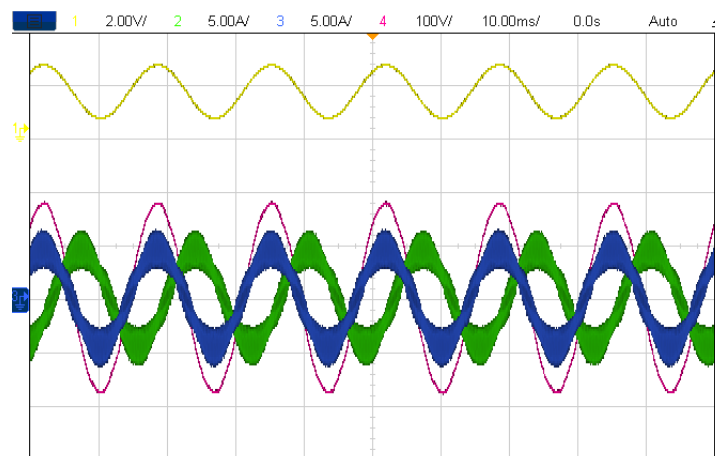
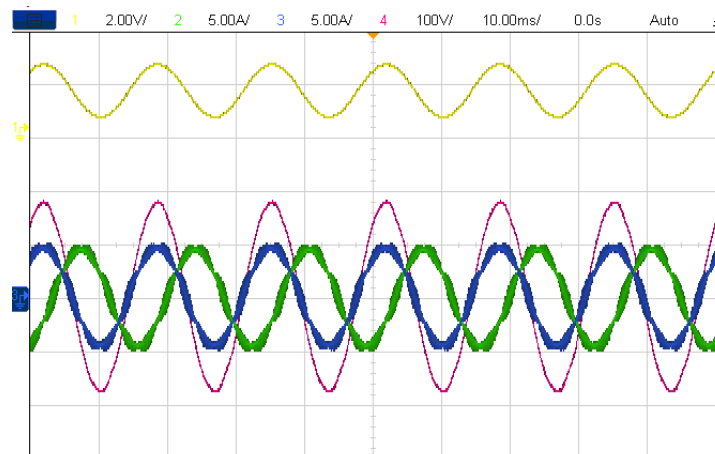
(b) Com *interleaved*

Fonte: Pr oprio Autor.

componentes de frequ ncia maiores que a fundamental, dada a maior atenua o proporcionada pela configura o de 3 ordem. O resultado da Figura 63 confirma as suposi es anteriores onde v -se a forma senoidal quase perfeita das ondas de corrente com um *ripple* menor que 0,5 A, mesmo com uma pot ncia considerada baixa para os valores dos elementos passivos.

Para testes de estabilidade e assentamento, analisou-se o instante de inicializa o do sistema e tamb m aplicou-se degraus na refer ncia de corrente para validar o funcionamento, por completo, antes de partir para testes em conex o   rede el trica. As Figuras 64 e 65 demonstram os resultados para valida o do sistema com cargas resistivas, as quais exp em a estabilidade do sistema frente   mudan as bruscas em seu referencial de funcionamento, no caso uma mudan a de 30% para 100% da carga

Figura 62. Formas de onda para o sistema alimentando cargas resistivas com 1,2 kW com filtro L de 1 mH. Escalas - Tempo: 10 ms/div; Em amarelo a tens o de refer ncia do PLL: 2 V/div; Em azul corrente da fase A: 5 A/div; Em verde corrente da fase B: 5 A/div; Em rosa a tens o da fase A da rede el trica: 100 V/div.

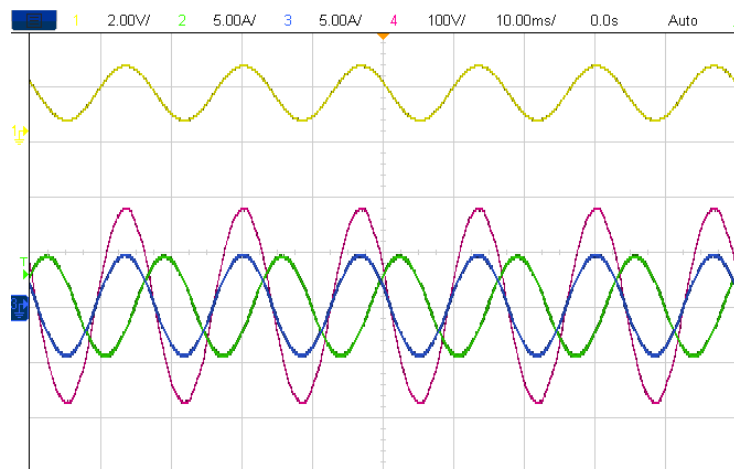
(a) Sem *interleaved*(b) Com *interleaved*

Fonte: Pr prio Autor.

total de 1,2 kW.

Na inicializa o, a entrada em regime permanente ocorre antes dos 10 ms com *overshoot* pr ximo a 100% em rela o ao valor final. A an lise deste  ltimo   explicado pela presen a da malha *feedforward* que inicia o controle de corrente com um  ndice de modula o elevado. Ainda pelo comportamento observado no degrau da Figura 65 n o se observa nenhum *overshoot* j  que a sa da final do controle j  est  estabilizada tendo o controlador PI trabalhando apenas nos ajustes necess rios para atender ao referencial de entrada. Portanto, p de-se validar os controladores de corrente utilizados, e, indiretamente, t m tamb m os m todos de c culo aplicados, possibilitando, assim, partir para testes em conex o a rede el trica apenas com controle de corrente, em um primeiro momento.

Figura 63. Formas de onda para o sistema alimentando cargas resistivas com 1,2 kW com filtro LCL sem interleaved. Escalas - Tempo: 10 ms/div; Em amarelo a tens o de refer ncia do PLL: 2 V/div; Em azul corrente da fase A: 5 A/div; Em verde corrente da fase B: 5 A/div; Em rosa a tens o da fase A da rede el trica: 100 V/div.



Fonte: Pr prio Autor.

Figura 64. Inicializa o do sistema para cargas resistivas com 600 W. Escalas - Tempo: 100 ms/div; Em amarelo a tens o de refer ncia do PLL: 2 V/div; Em azul corrente da fase A: 5 A/div; Em verde corrente da fase B: 5 A/div; Em rosa a tens o da fase A da rede el trica: 200 V/div.

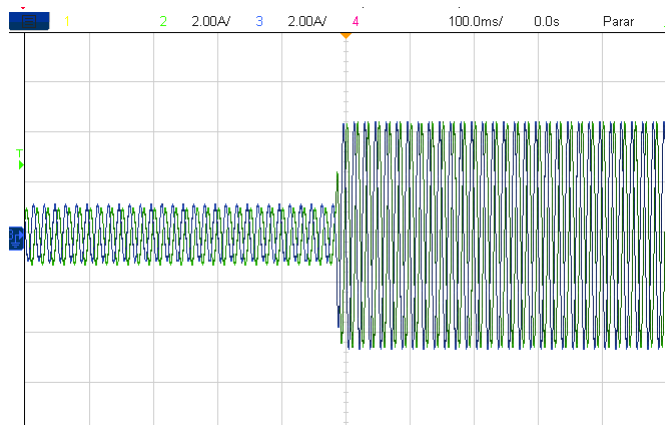


Fonte: Pr prio Autor.

Visto os bons resultados com o *interleaved* e a n o altera o da din mica do sistema por causa deste, definiu-se para os filtros propostos a utiliza o desta fun o. Portanto, n o ser  ponto de discuss o para os resultados tanto em conex o   rede quanto para os testes de controle de tens o; em ambos, subentende-se que a fun o est  ativa.

Na Figura 66 s o apresentados as formas de onda das correntes no mesmo padr o dos testes feitos com carga resistiva, mas, agora em conex o   rede el trica sendo injetada uma pot ncia trif sica de 4 kW utilizando os 3 filtros propostos. Pot ncia esta, limitada pelo pico m ximo permitido pela ponteira de corrente.

Figura 65. Degrau de 30% para 100% de uma carga total de 1,2 kW. Escalas - Tempo: 10 ms/div; Em azul corrente da fase A: 2 A/div; Em verde corrente da fase B: 2 A/div.



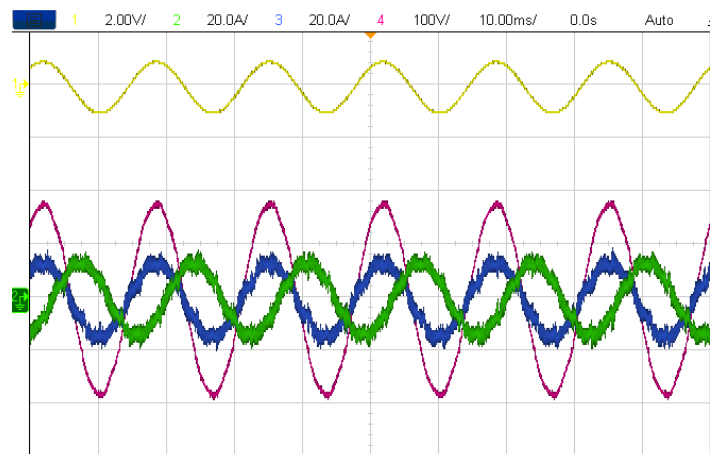
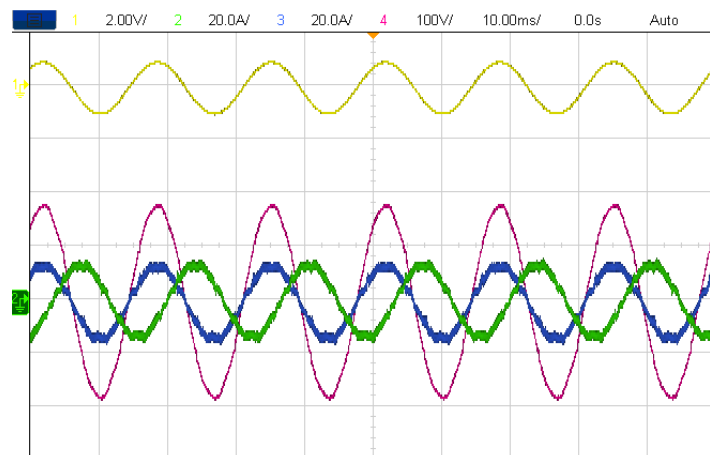
Fonte: Pr oprio Autor.

Observa-se, a princ ipio, que existem deforma es nas formas de onda das correntes nos 3 resultados que n o constavam anteriormente com apenas cargas resistivas; estas altera es se traduzem em uma DHT pior para os 3 testes.   importante destacar que a utiliza o de uma fonte conectada   rede el trica, ainda que isolada galvanicamente, pode gerar interfer ncias que resultem nessas componentes. Al m disso, a fonte em quest o possui um retificador trif sico convencional em sua entrada, o qual apresenta um baixo fator de pot ncia. A conex o do sistema n o   mais adequado pelo fato de ser um circuito distante do quadro geral do laborat rio, podendo, assim, existir uma alta imped ncia entre o sistema *Grid-Tied* e a rede el trica da concession ria.

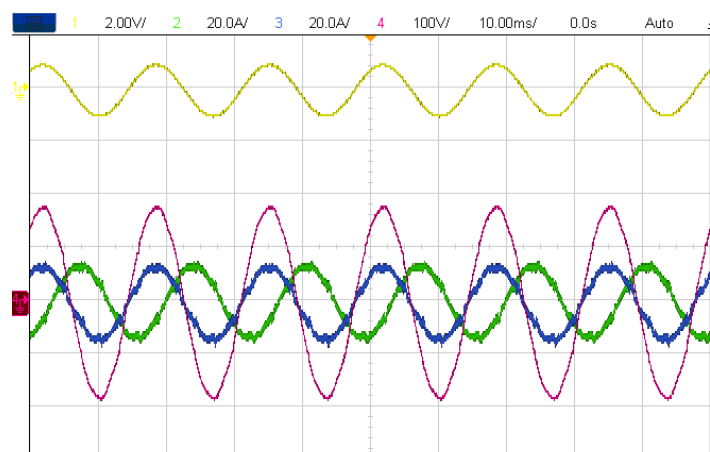
As DHTs medidas para os 3 resultados da Figura 66 foram respectivamente 13,63%, 7,6% e 6,52%. J  para os *ripples* das correntes ΔI_L obteve-se em porcentagem 7,74%, 3,87% e 3,53%, respectivamente. Percebe-se, deste modo, que todos os filtros proporcionaram um *ripple* abaixo dos 10% assim como nas simula es do sistema em conex o com   rede, portanto, pode-se afirmar que generalizando estes resultados para pot ncias de maior valor, as formas de ondas das correntes resultariam em DHTs melhores e formatos ainda mais senoidais e com menos destaque para as perturba es observadas. Esta afirma o   atestada pelos resultados de simula o para 4 kW, mostrada na Figura 67. As DHTs obtidas foram respectivamente 14,81%, 7,38% e 3,8%, os quais apenas para o filtro LCL se dist ncia do obtido nos testes experimentais, por m, para os filtros L os resultados s o muito condizentes e pr ximos.

Um fato a se observar   a proximidade dos resultados experimentais do filtro L de 1 mH com o filtro LCL, sendo que tanto nos testes com resist ncias quanto em simula o o LCL sempre sobrepassou os resultados dos outros dois filtros com uma boa margem tanto em *ripple* como em qualidade da forma de onda da corrente. Uma

Figura 66. Formas de onda para o sistema conectado  a rede el trica injetando 4 kW. Escalas - Tempo: 10 ms/div; Em amarelo a tens o de refer ncia do PLL: 2 V/div; Em azul corrente da fase A: 20 A/div; Em verde corrente da fase B: 20 A/div; Em rosa a tens o da fase A da rede el trica: 100 V/div.

(a) L de 520 μH 

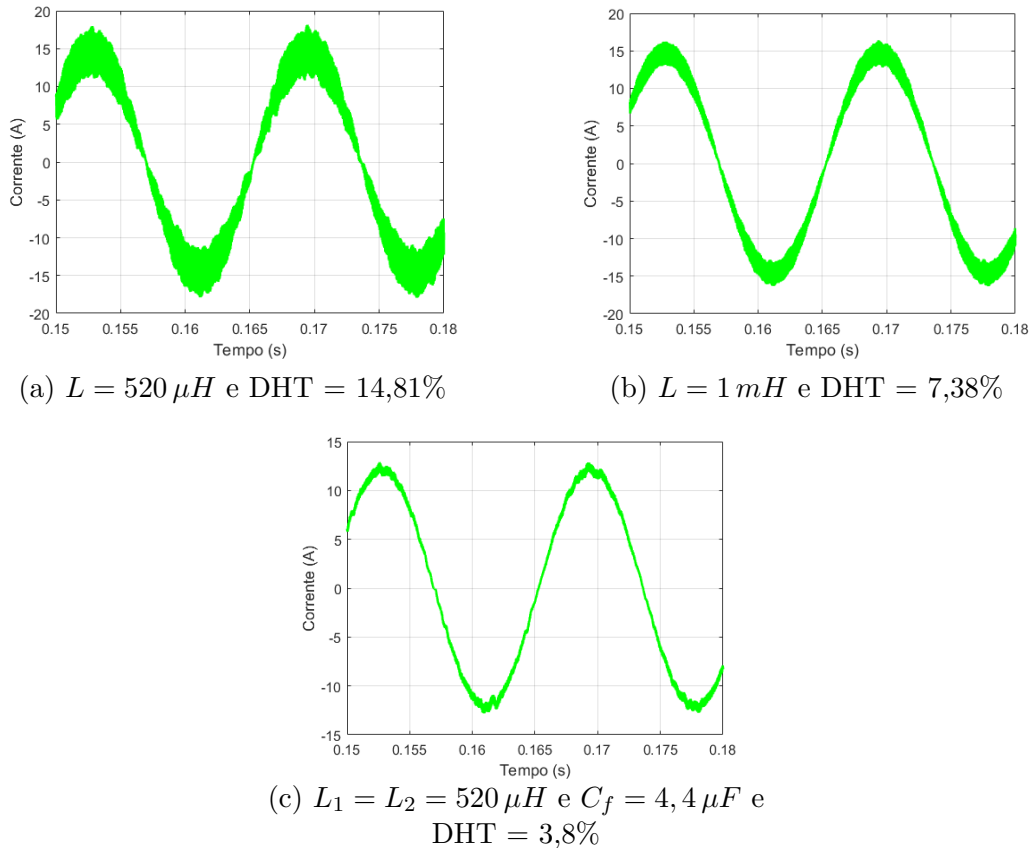
(b) L de 1 mH



(c) LCL

Fonte: Pr prio Autor.

Figura 67. Formas de onda de corrente para a simula  o do sistema com 4 kW, considerando os filtros propostos.



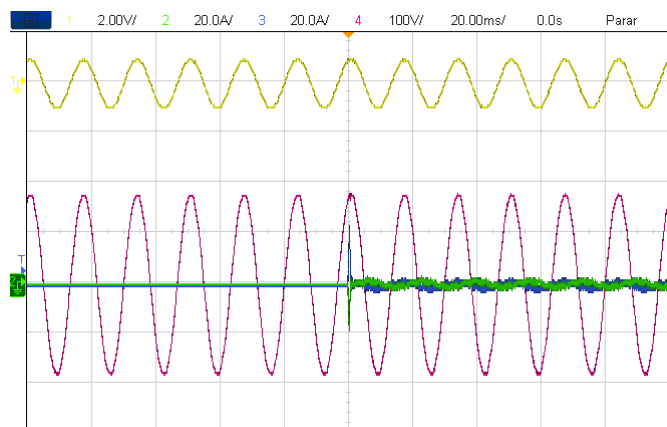
Fonte: Pr oprio Autor

explica  o para este ocorrido   a interfer ncia j  comentada da fonte CC utilizada quando o sistema trabalha em conex o   rede el trica. A fonte acaba inserindo uma componente de alta frequ ncia ao resultado final de corrente, isto ser  corroborado pelas formas de ondas apresentadas nos testes da malha de tens o quando em fun  o retificador PWM conectado   rede el trica.

Para encerrar, as Figuras 68 e 69 apresentam os resultados dos sistema para instantes onde este sofre altera  es s bitas em seu funcionamento, quando no momento da conex o   rede el trica e tamb m quando   aplicado um degrau na corrente de refer ncia.

No primeiro caso observa-se que o sistema sofre um *overshoot* antes da estabiliza  o num referencial de corrente de $I_d = 2$ A, contudo, este pico de corrente n o chega a ficar pr ximo da corrente nominal, I_d para 20 kW. J  nos momentos dos degraus apresentados, o controle consegue seguir a refer ncia de modo bem suave e sem *overshoot* demonstrando a boa sintonia do controlador e, tamb m, n o apresenta nenhuma oscila  o de amplitude nas correntes para chegada em regime permanente. O filtro utilizado nesses resultados foi o L de 1 mH, por m, pode-se

Figura 68. Formas de onda para o momento da conex o do sistema a rede el trica com $I_d = 2$. Escalas - Tempo: 10 ms/div; Em amarelo a tens o de refer ncia do PLL: 2 V/div; Em azul corrente da fase A: 20 A/div; Em verde corrente da fase B: 20 A/div; Em rosa a tens o da fase A da rede el trica: 100 V/div.



Fonte: Pr prio Autor.

assumir que a mesma estabilidade e velocidade no controle apresentadas ser o similares nos outros filtros, dado a utiliza o dos mesmos par metros no projeto dos controladores de corrente.

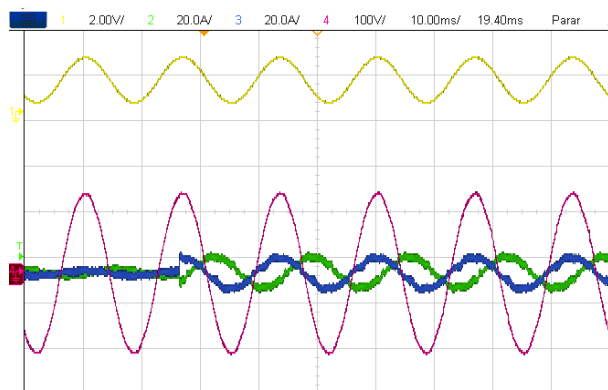
Por fim, a Figura 70 demonstra o sistema funcionando para a pot ncia m xima atingida em laborat rio 7,6 kW, com filtro LCL e com DHT de 4,21%, sendo este resultado generalizado para os outros dois filtros tamb m, mostrando assim que n o se teriam problemas em aumentar a pot ncia e manter a estabilidade e controle apresentadas nas baixas pot ncias. Este resultado foi retirado utilizando uma ponteira de corrente de menor qualidade que a mencionada anteriormente apenas para a fase A, neste caso a *Keysight* 1146B, por m possui uma escala m xima de 100A. As demais correntes das fases B e C s o os sinais de tens o dos condicionamentos de sinais, apenas para visualiza o do funcionamento do sistema trif sico.

4.3.3 Controle de tens o

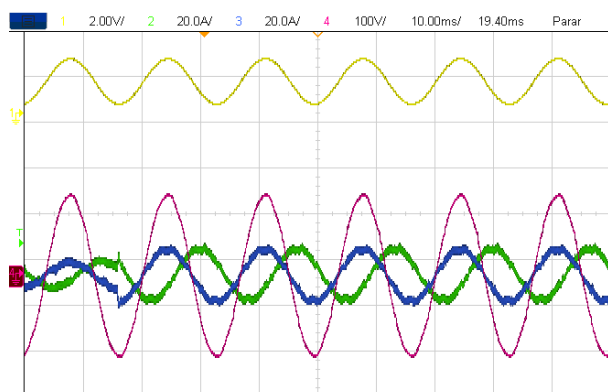
O barramento CC utilizado foi o pr prio presente nos inversores do prot tipo que em conjunto resultam em uma capacit ncia de 6 mF, sendo mais que o suficiente para realizar os testes e valida es do controle de tens o.

Assim como para a valida o do controle de corrente, o controle de tens o tamb m foi testado com cargas resistivas antes da conex o do sistema   rede el trica. O teste consistiu em configurar a fonte CC TerraSAS para o modo fonte de corrente, e, assim, quem estaria encarregado de controlar a tens o do barramento CC seria o sistema *Grid-Tied*. Para esta valida o utilizou-se apenas do filtro LCL, tendo os resultados obtidos a seguir generalizados e validados indiretamente tamb m para os outros dois filtros.

Figura 69. Formas de onda para respostas das correntes do sistema ap os degraus na refer encia de $I_d = 2$ A para $I_d = 8$ A, e depois para $I_d = 12$ A em conex o a rede el trica. Escalas - Tempo: 10 ms/div; Em amarelo a tens o de refer encia do PLL: 2 V/div; Em azul corrente da fase A: 5 A/div; Em verde corrente da fase B: 5 A/div; Em rosa a tens o da fase A da rede el trica: 100 V/div.



(a)



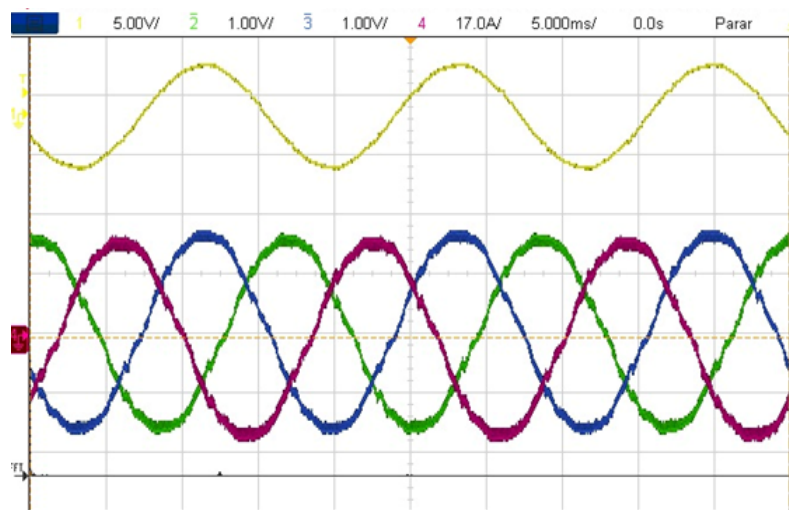
(b)

Fonte: Pr prio Autor.

A Figura 71 mostra a inicializa o do sistema como se estivesse conectado   rede el trica, a fonte de corrente equivalente das fontes de energia do eletroposto carregam o barramento CC, e no momento em que a tens o (em rosa) atinge 450 V o sistema *Grid-Tied*   acionado, controlando a tens o no ponto de refer ncia de 450 V. Observa-se que ap os o acionamento, o sistema leva cerca de 200 ms para entrar em regime permanente com as correntes senoidais (em azul e verde) com amplitude fixa.

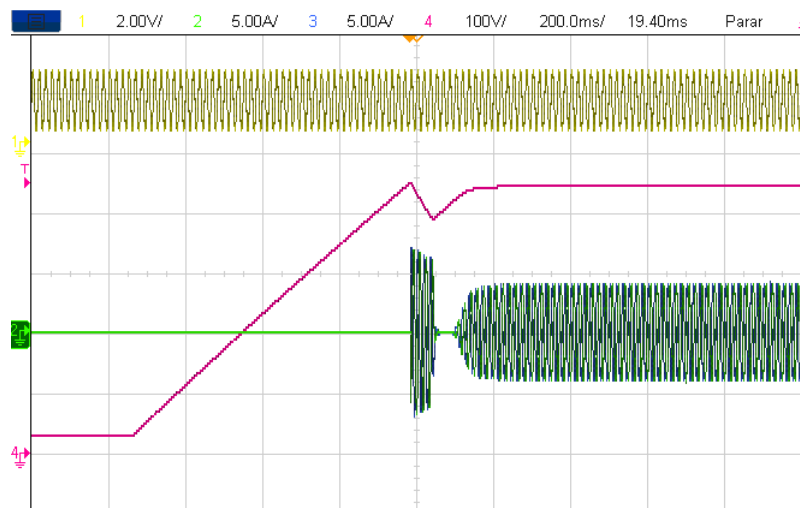
Outra an lise a se fazer   que para este teste o sistema tem que aumentar as correntes nas resist ncias para diminuir a tens o do barramento CC. Para aumentar se diminui o valor de refer ncia de corrente ou at  se anula pois n o   poss vel absorver pot ncia da rede el trica; esta  ltima situa o pode ser observada no instante de 100 ms no qual a tens o necessita aumentar novamente, mas agora com o sistema ligado, ent o a sa da do controlar   quase zerada.

Figura 70. Formas de onda para o sistema injetando 7,6 kW na rede el trica com filtro LCL. Escalas - Tempo: 5 ms/div; Em amarelo sinal do sensor de tens o da fase A: 5 V/div; Em azul sinal do sensor de corrente da fase B: 1 V/div; Em verde sinal do sensor de corrente da fase C: 1 V/div; Em rosa a corrente da fase A da rede el trica: 17 A/div.



Fonte: Pr prio Autor.

Figura 71. Formas de onda para respostas do controle de tens o do barramento CC na inicializa o com TerraSAS em modo fonte de corrente e com cargas resistivas no lado CA de 1,2 kW. Escalas - Tempo: 10 ms/div; Em amarelo a tens o de refer ncia do PLL: 2 V/div; Em azul corrente da fase A: 5 A/div; Em verde corrente da fase B: 5 A/div; Em rosa a tens o do barramento CC: 100 V/div.

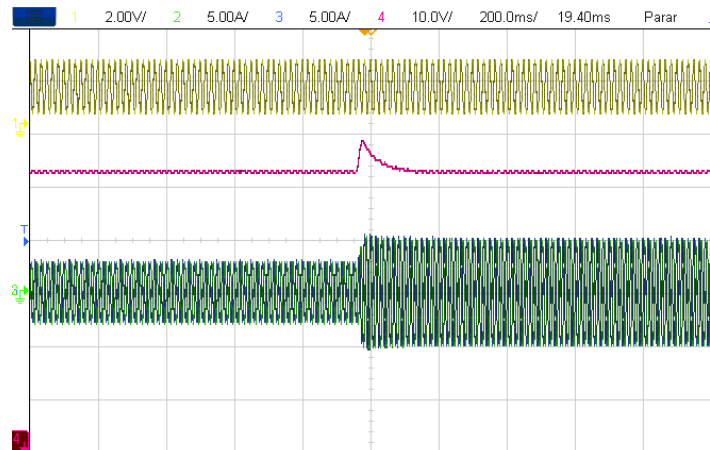


Fonte: Pr prio Autor.

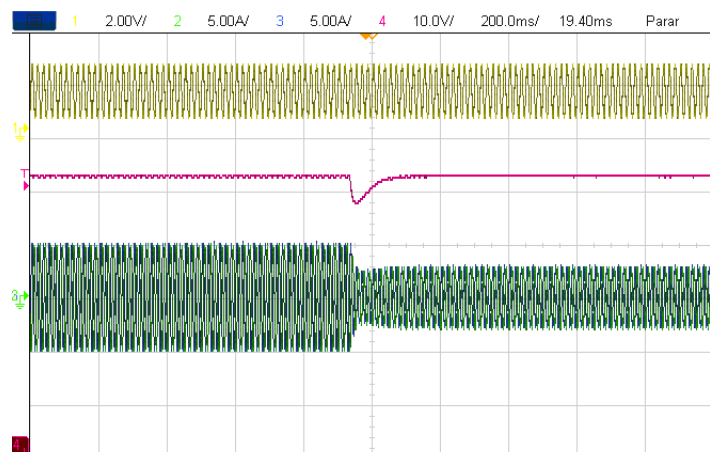
Perturbando o sistema de forma a alterar a corrente de entrada do barramento CC p de-se verificar o comportamento do controle de tens o para restabelecer o novo ponto de funcionamento. Os resultados tanto para o aumento quanto para diminui o de pot ncia s o mostrados na Figura 72. A pot ncia mais elevada   de 1,35 kW e a menor metade deste valor.

Em ambas as situa es de mudan a de carga percebe-se que o comportamento  

Figura 72. Formas de onda para respostas do controle de tens o do barramento CC para degraus de carga no lado CA de 0,775 kW e 1,35 kW com TerraSAS em modo fonte de corrente. Escalas - Tempo: 10 ms/div; Em amarelo a tens o de refer ncia do PLL: 2 V/div; Em azul corrente da fase A: 5 A/div; Em verde corrente da fase B: 5 A/div; Em rosa a tens o do barramento CC: 100 V/div.



(a) Aumento de pot ncia



(b) Diminui o de pot ncia

Fonte: Pr prio Autor.

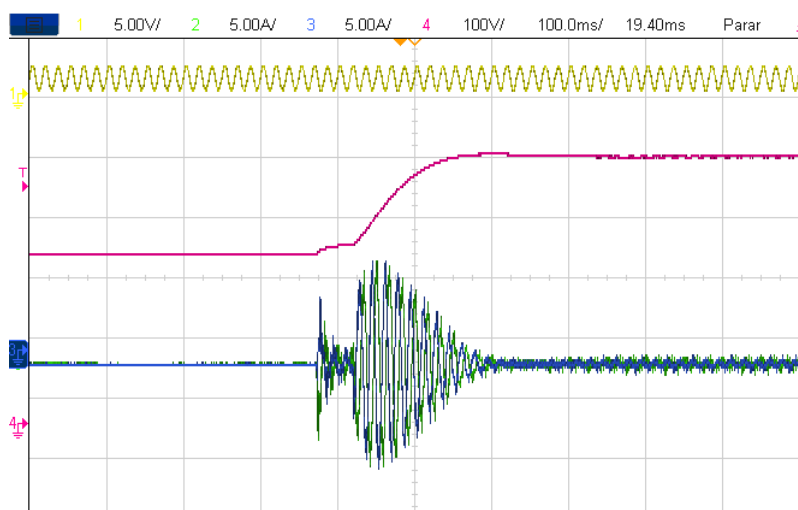
linear, ou seja, tanto os *overshoots* como o tempo de assentamento s o iguais, sendo estes 1,25% e de aproximadamente 150 ms. Com a valida o do funcionamento com cargas resistivas partiu-se para testes de controle de tens o com o sistema em funcionamento como retificador PWM trif sico.

A metodologia de testes para a pr xima etapa inicia com a retirada da fonte CC do experimento. Agora, o barramento CC   alimentado a partir de um retificador trif sico convencional, com uma tens o pr xima a 310 V cont nuos. Essa tens o   obtida atrav s de tr s resist ncias de *bypass*, conectadas em s rie   rede el trica e em paralelo a um dos contatores dos inversores. Isso foi necess rio para inibir o pico de corrente inicial durante o carregamento da capacit ncia do barramento CC at  o n vel de tens o inicial do teste. Quando o sistema   iniciado, o contator em paralelo

remove as resist ncias e o sistema funciona normalmente. No lado do barramento, foram inseridas resist ncias para teste de degraus de carga, com um valor m aximo de 2,8 kW.

A Figura 73 mostra os resultados da inicializa  o do sistema ainda sem carga, apenas com a capacit ncia do barramento CC, para avaliar se o sistema conseguiria manter o n vel de tens o de refer ncia. O sistema demora cerca de 3 ciclos da rede el trica para iniciar definitivamente, este tempo foi determinado para garantir o fechamento da contatora quando o controle iniciar, e isto acabou causando o efeito de dois transit rios. Ap s isso, rapidamente o controle de tens o aumenta a corrente absorvida para elevar a tens o do barramento CC, levando aproximadamente 230 ms para entrar em regime permanente e sem *overshoot*.

Figura 73. Formas de onda para respostas do controle de tens o do barramento CC na inicializa  o no modo retificador PWM conectado   rede sem carga no lado CC. Escalas - Tempo: 10 ms/div; Em amarelo a tens o de refer ncia do PLL: 2 V/div; Em azul corrente da fase A: 5 A/div; Em verde corrente da fase B: 5 A/div; Em rosa a tens o do barramento CC: 100 V/div.



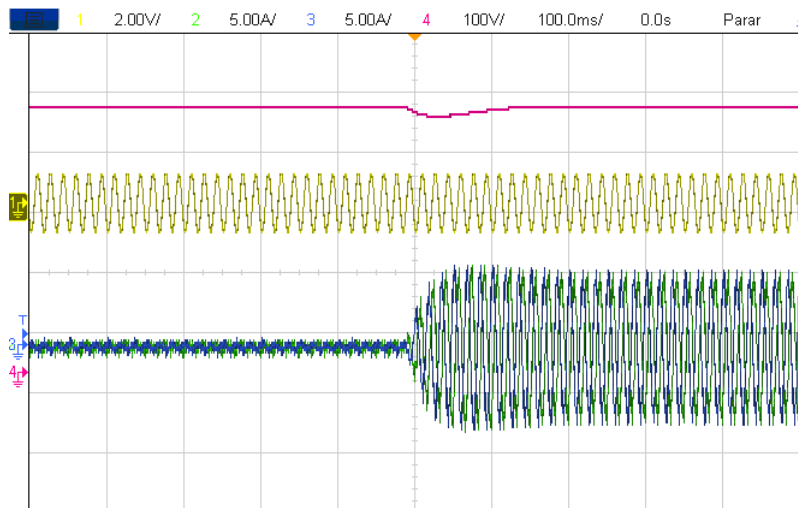
Fonte: Pr prio Autor.

Em seq ncia   feito um degrau de carga de 1,35 kW em paralelo ao barramento CC para perturbar o sistema como mostrado na Figura 74. A tens o do barramento cai para 430 V e retorna ao seu valor de regime em 130 ms. Em rela  o  s correntes da rede nota-se um pequeno *overshoot* que pode ser desconsiderado por causa do seu baixo valor percentual tanto em rela  o ao valor final de regime para esta carga quanto para o valor nominal projetado do sistema.

Para o aumento de carga necessitou-se diminuir a tens o do sistema para 380 V e assim drenar 2,8 kW da rede el trica com as resist ncias dispon veis, como mostrado na Figura 75.

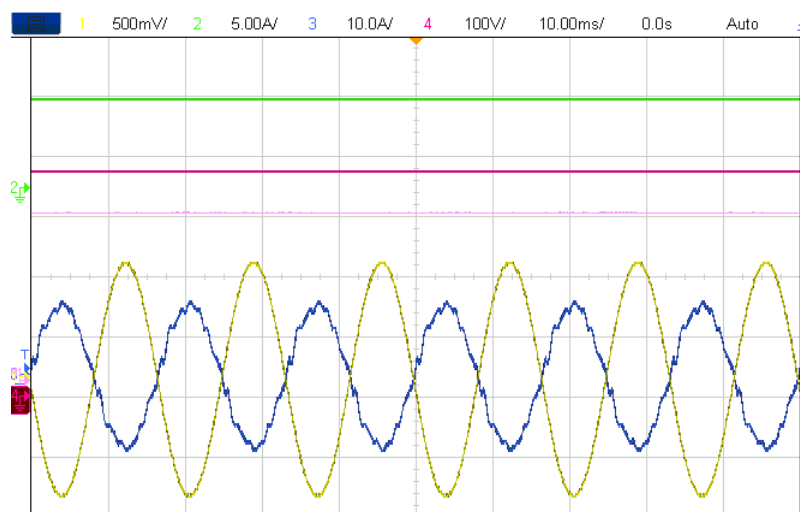
Em rela  o   forma de onda de corrente senoidal drenada da rede el trica, a primeira observa  o a ser feita   o n vel de *ripple* presente na onda de corrente, que

Figura 74. Formas de onda para respostas do controle de tens o do barramento CC para um degrau de carga de 1,35 kW no lado CC no modo retificador PWM conectado   rede. Escalas - Tempo: 10 ms/div; Em amarelo a tens o de refer ncia do PLL: 2 V/div; Em azul corrente da fase A: 5 A/div; Em verde corrente da fase B: 5 A/div; Em rosa a tens o do barramento CC: 100 V/div.



Fonte: Pr prio Autor.

Figura 75. Formas de onda para respostas do controle de tens o do barramento CC em regime permanente no modo retificador PWM conectado   rede com carga de 2,8 kW no lado CC. Escalas - Tempo: 10 ms/div; Em amarelo a tens o de refer ncia do PLL 500 mV/div; Em azul corrente da fase A: 10 A/div; Em verde corrente do barramento CC: 5 A/div; Em rosa a tens o do barramento CC: 100 V/div.



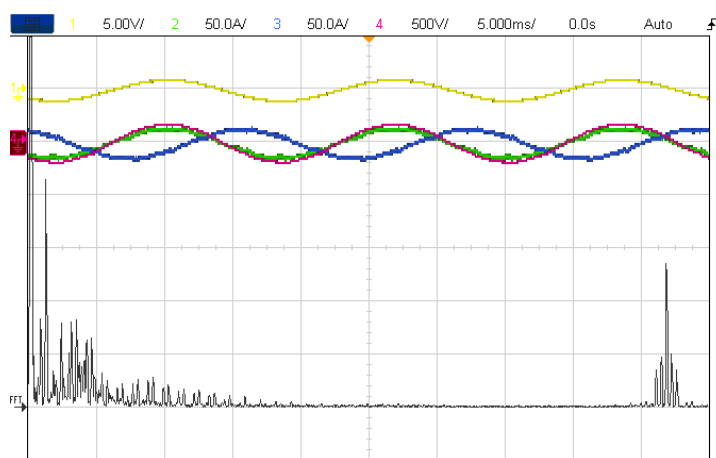
Fonte: Pr prio Autor.

pode ser comparado ao resultado da Figura 63, que apresenta um valor pr ximo a 1 A. Em seguida, tamb m se nota uma ondula o que pode ser causada pela imped ncia da rede, que acaba trazendo harm nicas m ltiplas da fundamental, ou tamb m por se tratar de um funcionamento com baixa pot ncia. Esse fato j  foi observado em testes de simula o, mas, desconsiderando isso,   poss vel afirmar que

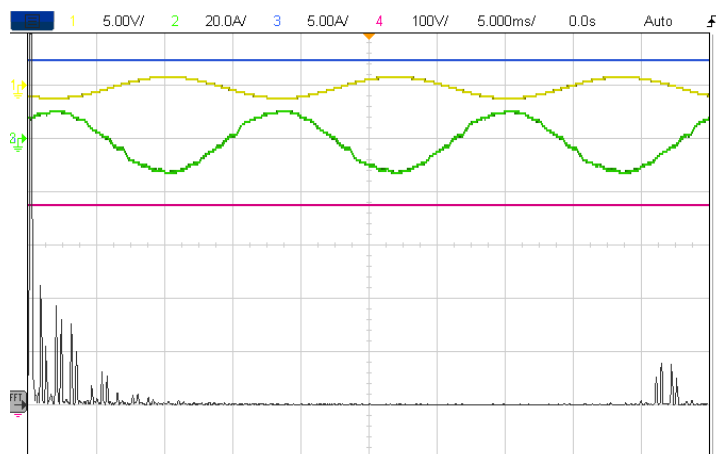
este resultado se aproxima do observado com carga resistiva. A DHT observada   de 5,5%, abaixo dos valores observados quando o sistema injetava a pot ncia proveniente da fonte CC nos testes de controle de corrente, mesmo com uma pot ncia menor, neste caso 4 kW. Comparando visualmente este resultado de 2,8 kW com o teste anterior de 4 kW e com o filtro LCL da Figura 66, percebe-se que esta forma de onda   melhor e apresenta menos *ripple* ao longo da senoide.

As afirma es anteriores podem ser confirmadas pela Figura 76 que apresenta as FFTs para os dois testes em quest o, injetando 4 kW via fonte CC TerraSAS e retificando 2,8 kW com 380 V de refer ncia no barramento CC.

Figura 76. FFT da corrente da rede el trica para as duas fun es do sistema.



(a) Injetando 4 kW via fonte CC



(b) Retificando 2,8 kW com carga resistiva no lado CC

Fonte: Pr prio Autor.

As escalas para as Figuras apresentadas em 76 rela o   FFT s o na vertical a amplitude de cada componente com 100 mA/div e, na horizontal, escala m xima de 16 kHz e frequ ncia central de 8 kHz, ou seja, 1,6 KHz/div. Observa-se que ambas possuem picos caracter sticos pr ximos a frequ ncia de 15 kHz, como esperado, por se tratar da frequ ncia de chaveamento do conversor; por m, em 76(a) v -se uma

maior amplitude nesta componente harm onica de 268,75 mA e em 76(b) 78 mA. Outro ponto a se comentar   a quantidade e as amplitudes das componentes ap os a frequ encia de 1,6 kHz, onde na fun c o retificador s o menores e em menor quantidade do que na fun c o inversor, estas quando somadas certamente agregam   diferen a no *ripple* observado entre as duas formas de onda de correntes. Nota-se tamb em que existem harm onicas de menor frequ encia, abaixo de 1,6 kHz, que ganham destaque no modo inversor, especificamente a de 420 Hz que atinge uma amplitude de 425 mA, onde a mesma na fun c o retificador fica pr oxima de 100 mA. E por fim, pode-se afirmar que existem componentes desta faixa de frequ encia na fun c o inversor que n o s o presentes na fun c o retificador que podem ajudar na diferen a entre os resultados.

4.3.4 Sistema *Grid-tied* com pot ncia reativa ($I_q > 0$ ou $I_q < 0$)

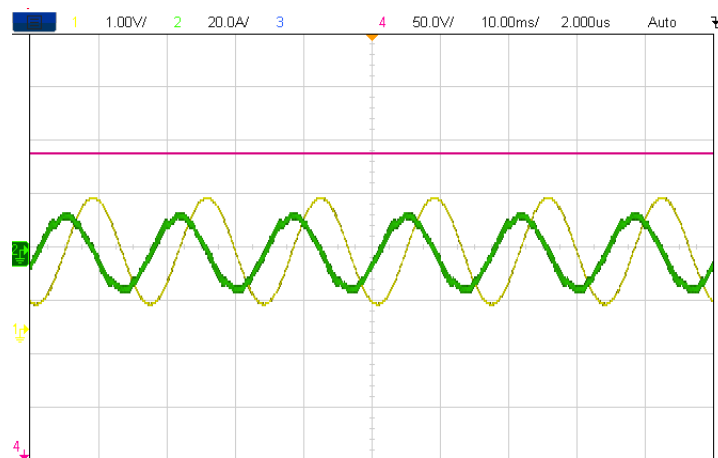
O controle pelas coordenadas dq possibilita que o sistema do eletroposto funcione com o fator de pot ncia controlado, utilizando o banco capacitivo do barramento CC de forma controlada. Alterando o valor da coordenada i_q   poss vel atrasar ou adiantar as correntes em rela c o as suas respectivas tens es de fase, como mostrado nas Figuras 77(a) e 77(b). Nos resultados apresentados utilizou-se $i_q \pm 12 A$ e $i_d = 0 A$. Percebe-se que a corrente em verde fica exatamente 90 graus adiantada ou atrasada da tens o de refer ncia em amarelo demonstrando o correto funcionamento do controle por coordenadas dq , que j  havia sido validado para apenas pot ncia ativa, podendo-se assumir que o sistema funciona de mesma maneira, apenas com o diferencial na pot ncia.

4.3.5 Integra c o do conversor de carregamento de baterias ao sistema *Grid-Tied*

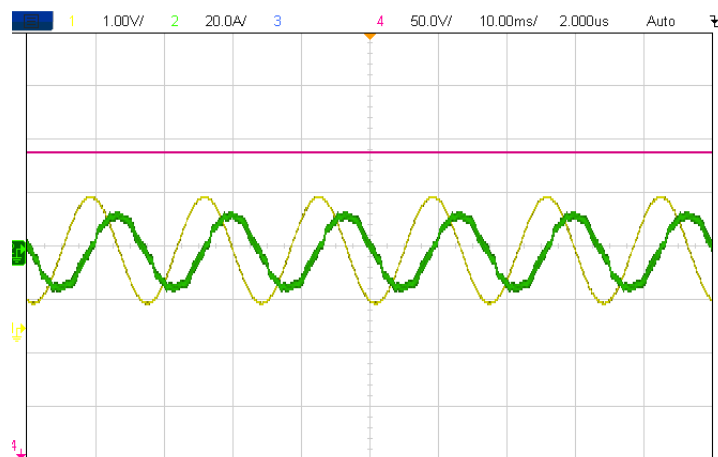
O conversor de carregamento de baterias, como pode ser observado na Figura 4, trabalha com a entrada de 192 V e sa da em controle de corrente. Sendo assim conectou-se a sa da deste conversor no barramento CC do sistema *Grid-Tied* para testes do sistema integrado. O barramento capacitivo utilizado neste experimento foi de 14 mF, anteriormente no modo retificador tinha sido 3 mF.

O primeiro teste   a inicializa c o do sistema, como mostrado na Figura 78. Inicialmente com 0 V, o conversor de baterias come a a injetar corrente nos capacitores do barramento CC com corrente constante, at  480 V, com uma corrente equivalente a 1,3 kW. Neste momento o sistema *Grid-Tied* entra em funcionamento, sendo que este j  estava com o PLL sincronizado e em *stand-by* para ligar as malhas de controle e se conectar   rede el trica. Ap s a conex o com a rede el trica, o sistema passa por um *undershoot* com a tens o do barramento diminuindo at  435 V. A

Figura 77. Formas de onda para o sistema *Grid-Tied* trabalhando com pot ncia reativa com refer ncia $i_q \pm 12 A$. Escalas - Tempo: 10 ms/div; Em amarelo a tens o de refer ncia do PLL 1 V/div; Em verde corrente da fase A: 20 A/div; Em rosa a tens o do barramento CC: 500 V/div.



(a) Corrente adiantada



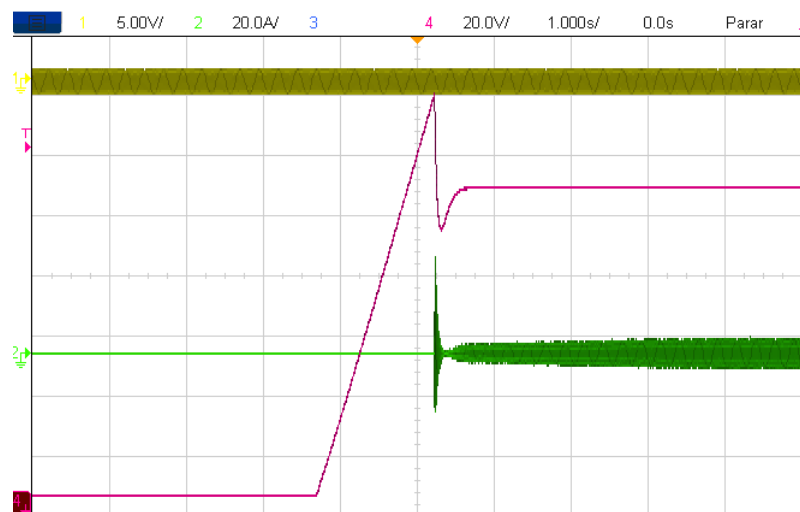
(b) Corrente atrasada

Fonte: Pr prio Autor.

corrente da fase A medida sofre um *overshoot*, o qual a corrente tem um pico de 32 A. As observa es apresentadas ficam dentro do esperado para uma etapa cr tica de funcionamento como   de conex o a rede el trica. O tempo do transit rio, ap s o sistema *Grid-Tied* identificar a tens o para seu acionamento   de 280 ms, e, ent o o sistema entra em regime permanente estavelmente.

Os dois  ltimos testes apresentados nas Figuras 79 e 80 partem do sistema j  conectado   rede el trica e em regime. No primeiro experimento, o sistema *Grid-tied* est  mantendo a tens o do barramento em 450 V com o conversor de baterias desligado. Em certo momento, o conversor de baterias   ligado e come a a injetar corrente em rampa no barramento CC. Nesse momento, a corrente da rede do sistema integrado   injetada na rede el trica para controle do n vel de tens o. Essa

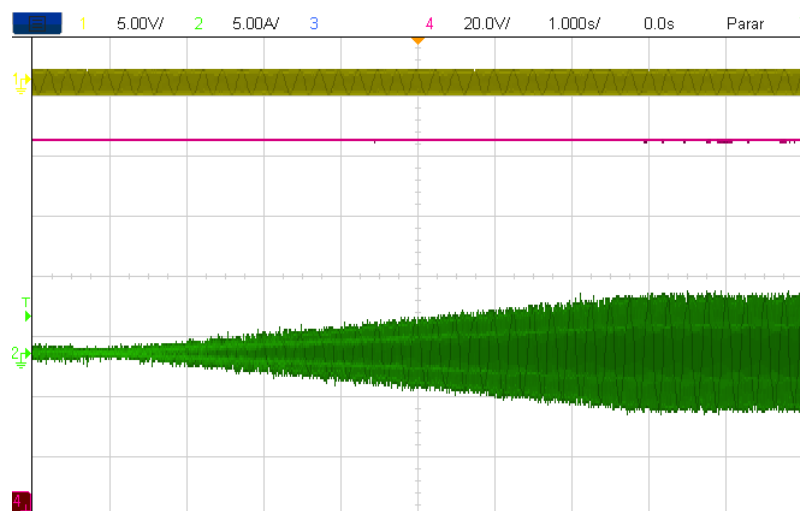
Figura 78. Formas de onda para inicializa  o do sistema integrado entre conversor de baterias e *Grid-Tied* com pot ncia de 1,3 KW. Escalas - Tempo: 1 s/div; Em amarelo a tens o de refer ncia do PLL 5 V/div; Em verde corrente da fase A: 20 A/div; Em rosa a tens o do barramento CC: 100 V/div.



Fonte: Pr prio Autor.

corrente tamb m apresenta amplitude crescente ao longo do tempo at  que o conversor de baterias alcance seu valor de regime permanente com pot ncia de 1,3 kW. Ao longo desta transi  o,   poss vel observar que o n vel de tens o se mant m em seu referencial, e n o apresenta dist rbios, o que valida o controle de tens o nesta situa  o.

Figura 79. Formas de onda para aumento de corrente em rampa do sistema integrado entre conversor de baterias e *Grid-Tied* com pot ncia de 1,3 KW. Escalas - Tempo: 1 s/div; Em amarelo a tens o de refer ncia do PLL 5 V/div; Em verde corrente da fase A: 5 A/div; Em rosa a tens o do barramento CC: 100 V/div.



Fonte: Pr prio Autor.

Na Figura 80, o sistema est  em regime quando ocorre subitamente o desliga-

Figura 80. Formas de onda para desligamento do sistema integrado entre conversor de baterias e *Grid-Tied* com pot encia de 1,3 KW. Escalas - Tempo: 1 s/div; Em amarelo a tens o de refer encia do PLL 5 V/div; Em verde corrente da fase A: 5 A/div; Em rosa a tens o do barramento CC: 100 V/div.



Fonte: Pr prio Autor.

mento da inje o de corrente no barramento CC pelo conversor de baterias. Nesse momento, o n vel de tens o cai para 445 V e retorna ao seu referencial em 350 ms com uma transi o est vel, e, sem picos de corrente. O sistema *Grid-Tied* mant m o n vel de tens o com um fluxo de pot ncia quase nulo entre a rede el trica e o barramento CC, conforme pode ser observado pela amplitude de corrente. E assim,   finalizado a valida o do funcionamento proposto para o sistema *Grid-Tied*.

5 CONCLUSÕES

Neste trabalho, foi desenvolvido um sistema de dois inversores em paralelo bidirecionais para funcionar como interface entre o barramento CC principal de um posto de recarga do tipo V2G e a rede elétrica, permitindo o trânsito de potência em ambos os sentidos.

Inicialmente, realizou-se um estudo teórico do inversor trifásico fonte de tensão VSI para análise de funcionamento e dinâmica de controle, o qual foi aplicado separadamente em cada inversor. A estratégia de controle do sistema com os dois inversores foi projetada de forma que o controle de tensão gerasse a referência de corrente para o controle individual de cada inversor. Os resultados de simulação demonstraram um funcionamento adequado do sistema, levando ao desenvolvimento do protótipo em laboratório.

Para construir o sistema completo foram montadas duas placas de circuito impresso: uma de controle e outra de potência. Nessas placas foi incluída uma fonte auxiliar para os circuitos de condicionamento de sinais, alimentação dos sensores e dos gate drivers dos inversores. Além disso, neste sistema inclui-se a placa de controle com o microcontrolador e os dois módulos inversores, sendo necessário apenas uma conexão trifásica para a conexão física à rede.

Para validar de forma segura o sistema construído, foram realizados testes utilizando cargas resistivas e envolvendo os três tipos de filtros de conexão. Isso permitiu a validação das placas projetadas através da leitura das correntes nas resistências, sincronização das formas de onda em relação à rede elétrica e análise dos resultados das formas de onda para cada tipo de filtro. Também foram realizados testes de controle de tensão proposto, essenciais para o funcionamento da microrrede. Os resultados mostraram que o sistema conseguiu estabilizar-se na referência desejada de tensão ao alimentar cargas resistivas, mesmo diante de mudanças na carga conectada. Com base nesses resultados, foram realizados testes de conexão à rede elétrica.

Nos testes com apenas o controle de corrente, os três filtros apresentaram resultados condizentes com os observados quando a carga resistiva estava presente. Especificamente em relação à estabilidade diante de mudanças na carga, constatou-se a inexistência de surtos de corrente nesses momentos. Devido à dinâmica imposta pela rede elétrica ao sistema, as formas de onda apresentam mais distorções, que se tornam mais evidentes devido à baixa potência utilizada nos testes em comparação com a potência nominal. No entanto, os resultados demonstram que, mesmo para uma potência de 4 kW, estão dentro do esperado. Pode-se afirmar que, caso seja possível se aproximar da potência nominal, os índices de DHT ficariam próximos aos observados em simulação, garantindo assim que o sistema funcione com uma

DHT inferior a 5%, conforme exigido pelas normativas. Al em disso,   v alido ressaltar que a fun c ao *interleaved* em um paralelismo de inversores deve ser sempre implementada para melhorar as formas de onda das correntes, conforme indicam os resultados obtidos. E ainda, validado o sistema para trabalhar com pot encia reativa para caso necess ario realizar a corre c ao controlada do fator de pot encia do sistema que o eletroposto est  inserido.

Por fim, devido   impossibilidade de o sistema funcionar apenas com a malha de corrente na fun c ao em que   necess ario absorver energia da rede el trica, a valida c ao completa do sistema de controle foi realizada por meio do modo retificador PWM trif sico. Com um referencial desejado de 450 V, o sistema conseguiu controlar a tens o do barramento CC que alimentava cargas resistivas, mesmo quando perturbado por altera c oes na quantidade de corrente drenada da rede el trica. Por  ltimo, conseguiu-se validar os testes com o conversor de carregamento de baterias para emular o funcionamento do sistema integrado de conversores proposto na microrrede do eletroposto, resultado este que mostra o funcionamento correto e controlado da tens o do barramento CC para a mudan a de fluxo de pot encia.

No teste final de controle de tens o, foram observadas diferen as nas formas de onda entre a inje c ao de corrente a partir de uma fonte CC no barramento e a absor c ao de corrente sem nenhuma outra fonte conectada ao sistema. Por esse motivo, analisaram-se as componentes harm nicas presentes na corrente nos dois testes, constatando-se uma maior presen a de componentes de alta frequ ncia no primeiro teste. Concluiu-se, portanto, que existe alguma rela c ao entre a fonte CC utilizada quando o sistema est  conectado   rede el trica e a ocorr ncia dessas componentes, resultando em distor c oes diferentes das observadas com cargas resistivas.

Apesar das diferen as observadas, os resultados laboratoriais apresentados validam o funcionamento completo do sistema, tanto em rela c ao   qualidade da DHT das correntes observadas na rede el trica quanto   estabilidade do sistema como um todo, nos modos inversor e retificador.

Para trabalhos futuros s o sugeridos:

- Expans o da pot encia de testes para 20 KW;
- Testes com os demais conversores da microrrede;
- Cria c ao de protocolos de comunica c ao internos   microrrede;
- Estudo e aplica c ao de novas topologias de filtros para conex o   rede;
- Estudo e aplica c ao de novas t cnicas de amortecimento ativo e passivo;
- Projeto de um inversor trif sico para substitui c ao do inversor comercial did tico utilizado;

-
- Lapida ao da estrutura do sistema para finaliza ao do produto da microrrede.

A ARTIGOS PRODUZIDOS

VOLPATO, A. S. ; SOUZA, M. A. ; BALTA, F. M. ; BATISTA, E. A. ; GODOY, RUBEN ; BRITO, MOACYR A. G. DE . Interleaved Bidirectional DC-AC Converter for Electric Vehicle Charging Station. In: 14th IEEE/IAS International Conference on Industry Applications, 2021, São Paulo. INDUSCON. São Paulo: IEEE, 2021. v. 1. p. 1-6.

DE BRITO, MOACYR AURELIANO GOMES; CARVALHO, A. A. ; GODOY, R. B. ; VOLPATO, A. S. ; PEREIRA, L. F. S. C. ; BATISTA, E. A. . A New Positive-Sequence Detector Phase-Locked Loop Algorithm for DC Offset Rejection. In: XVI Congresso Brasileiro de Eletrônica de Potência, 2021, João Pessoa. COBEP 2021. João Pessoa: IEEE, 2021. v. 1. p. 1-5.

DE BRITO, MOACYR A. G. DE; VOLPATO, A. S. ; BATISTA, E. A. ; GODOY, R. B. . Power Electronics Converters for an Electric Charging Station: Description and Experimental Evaluation. In: 8th INTERNATIONAL ELECTRIC VEHICLE CONFERENCE, 2023, Edinburgh. EVC2023. Edinburgh: Napier University, 2023. v. 1. p. 161-162.

REFERÊNCIAS

- [1] J. Larminie and J. Lowry, *Electric vehicle technology explained*. John Wiley & Sons, 2012.
- [2] K. T. Chau, *Electric vehicle machines and drives: design, analysis and application*. John Wiley & Sons, 2015.
- [3] P. Morrissey, P. Weldon, and M. O'Mahony, "Future standard and fast charging infrastructure planning: An analysis of electric vehicle charging behaviour," *Energy Policy*, vol. 89, pp. 257–270, 2016. [Online]. Available: <https://www.sciencedirect.com/science/article/pii/S0301421515302159>
- [4] F. Karagulian, C. A. Belis, C. F. C. Dora, A. M. Prüss-Ustün, S. Bonjour, H. Adair-Rohani, and M. Amann, "Contributions to cities' ambient particulate matter (pm): A systematic review of local source contributions at global level," *Atmospheric environment*, vol. 120, pp. 475–483, 2015.
- [5] S. Shafiee and E. Topal, "When will fossil fuel reserves be diminished?" *Energy policy*, vol. 37, no. 1, pp. 181–189, 2009.
- [6] E. Global, "Global ev outlook 2020," *International Energy Agency (IEA)*, 2020.
- [7] Associação brasileira do veículo elétrico (ABVE), *Página Inicial*, Disponível em: <http://www.abve.org.br>. Acesso em 6 dez. 2022.
- [8] Mckinsey & Company, *Europe's EV opportunity—and the charging infrastructure needed to meet it*, Disponível em: <https://www.mckinsey.com/industries/automotive-and-assembly/our-insights/europes-ev-opportunity-and-the-charging-infrastructure-needed-to-meet-it>. Acesso em 6 dez. 2022.
- [9] J. G. Schmidt, F. J. De Faveri, J. C. De Bona, E. A. Rosa, L. S. Dos Santos, C. Q. Pica, L. B. R. Morinico, and I. França, "Forecasts and impact on the electrical grid with the expansion of electric vehicles in northeast of brazil," in *2022 IEEE/PES Transmission and Distribution Conference and Exposition (TD)*, 2022, pp. 1–5.
- [10] Engenharia Elétrica UFMS, *Desenvolvimento de Sistema Nacional de Recarga Rápida de Bicicletas e Veículos Elétricos para Aplicações V2G (Vehicle to Grid)*, Disponível em: <https://engeletrica.ufms.br/files/2020/08/Projeto-de-Mobilidade-El%C3%A9trica-V2G.pdf>. Acesso em 6 dez. 2022.

- [11] Meio norte, *PMT e Equatorial Energia inauguram eletroposto em Teresina*, Disponível em: <https://www.meionorte.com/noticias/pmt-e-equatorial-energia-inauguram-eletroposto-em-teresina-441096>. Acesso em 6 dez. 2022.
- [12] M. S. Mastoi, S. Zhuang, H. M. Munir, M. Haris, M. Hassan, M. Alqarni, and B. Alamri, “A study of charging-dispatch strategies and vehicle-to-grid technologies for electric vehicles in distribution networks,” *Energy Reports*, vol. 9, pp. 1777–1806, 2023. [Online]. Available: <https://www.sciencedirect.com/science/article/pii/S2352484722027408>
- [13] A. G. Andreta, “Estratégia híbrida de controle para inversores trifásicos conectados à rede baseada em controladores deadbeat e proporcional+ ressonante,” (Dissertação), Universidade Federal de Santa Catarina, Florianópolis, 2014.
- [14] R. W. Erickson and D. Maksimovic, *Fundamentals of power electronics*. Springer Science & Business Media, 2007.
- [15] D. G. Holmes and T. A. Lipo, *Pulse width modulation for power converters: principles and practice*. John Wiley & Sons, 2003, vol. 18.
- [16] K. Zhou and D. Wang, “Relationship between space-vector modulation and three-phase carrier-based pwm: a comprehensive analysis [three-phase inverters],” *IEEE Transactions on Industrial Electronics*, vol. 49, no. 1, pp. 186–196, 2002.
- [17] C. G. d. S. Moraes, “Análise e concepção de um sistema híbrido de armazenamento de energia para aplicação em locomotivas diesel-elétricas,” (Dissertação), Universidade Federal de Santa Catarina, 2020.
- [18] M. A. G. d. Brito, “Inversores integrados monofásicos e trifásicos para aplicações fotovoltaicas: Técnicas para obtenção de mppt, detecção e proteção de ilha-mento, sincronização e paralelismo com a rede de distribuição de energia elétrica,” Tese (doutorado) - Universidade Estadual Paulista Júlio de Mesquita Filho, Faculdade de Engenharia de Ilha Solteira, 2013.
- [19] G. Lo Calzo, A. Lidozzi, L. Solero, and F. Crescimbin, “Lc filter design for on-grid and off-grid distributed generating units,” *IEEE Transactions on Industry Applications*, vol. 51, no. 2, pp. 1639–1650, 2015.
- [20] C. Tan, Q. Chen, L. Zhang, and K. Zhou, “Frequency-adaptive repetitive control for three-phase four-leg v2g inverters,” *IEEE Transactions on Transportation Electrification*, vol. 7, no. 4, pp. 2095–2103, 2021.

- [21] B. Zhang, W. Wu, Y. Yang, N. Gao, J. Chen, E. G. Koutroulis, H. S.-H. Chung, M. Liserre, and F. Blaabjerg, “A novel simplified finite control set repeat model predictive control for grid-connected inverters,” *IEEE Transactions on Industrial Electronics*, vol. 70, no. 11, pp. 11 324–11 333, 2023.
- [22] M. Büyük, A. Tan, M. Tümay, and K. Ç. Bayındır, “Topologies, generalized designs, passive and active damping methods of switching ripple filters for voltage source inverter: A comprehensive review,” *Renewable and Sustainable Energy Reviews*, vol. 62, pp. 46–69, 2016.
- [23] R. F. Coelho, “Concepção, análise e implementação de uma microrrede interligada à rede elétrica para alimentação ininterrupta de cargas cc a partir de fontes renováveis,” Tese (Doutorado)-Curso de Engenharia Elétrica, Universidade Federal de Santa Catarina, Florianópolis, 2014.
- [24] G. C. Knabben, “Microinversor fotovoltaico não isolado de dois estágios,” (Dissertação), Universidade Federal de Santa Catarina, Florianópolis, 2017.
- [25] W. Wu, Y. Liu, Y. He, H. S.-H. Chung, M. Liserre, and F. Blaabjerg, “Damping methods for resonances caused by lcl-filter-based current-controlled grid-tied power inverters: An overview,” *IEEE Transactions on Industrial Electronics*, vol. 64, no. 9, pp. 7402–7413, 2017.
- [26] M. Liserre, F. Blaabjerg, and S. Hansen, “Design and control of an lcl-filter-based three-phase active rectifier,” *IEEE Transactions on industry applications*, vol. 41, no. 5, pp. 1281–1291, 2005.
- [27] P. Channegowda and V. John, “Filter optimization for grid interactive voltage source inverters,” *IEEE Transactions on Industrial Electronics*, vol. 57, no. 12, pp. 4106–4114, 2010.
- [28] S. C. Ximenes, “Projeto de um conversor cc-ca trifásico para interligar um sistema fotovoltaico à rede elétrica,” Dissertação (Mestrado) - Universidade Federal do Ceará, 2012.
- [29] R. Buerger, “Contribuição ao estudo de microrredes trifásicas supridas a partir de geração fotovoltaica com possibilidade de operação em modo ilhado ou conectado à rede elétrica,” Tese (doutorado) - Universidade Federal de Santa Catarina, Florianópolis, 2019.
- [30] I. Barbi, “Eletrônica de potência,” 2006.
- [31] R. Teodorescu, M. Liserre, and P. Rodriguez, *Grid converters for photovoltaic and wind power systems*. John Wiley & Sons, 2011.

- [32] S. Golestan, M. Monfared, F. D. Freijedo, and J. M. Guerrero, “Design and tuning of a modified power-based pll for single-phase grid-connected power conditioning systems,” *IEEE Transactions on Power Electronics*, vol. 27, no. 8, pp. 3639–3650, 2012.
- [33] S.-K. Chung, “A phase tracking system for three phase utility interface inverters,” *IEEE Transactions on Power Electronics*, vol. 15, no. 3, pp. 431–438, 2000.
- [34] P. Rodríguez, R. Teodorescu, I. Candela, A. V. Timbus, M. Liserre, and F. Blaabjerg, “New positive-sequence voltage detector for grid synchronization of power converters under faulty grid conditions,” in *2006 37th IEEE Power Electronics Specialists Conference*, 2006, pp. 1–7.
- [35] X. Yuan, W. Merk, H. Stemmler, and J. Allmeling, “Stationary-frame generalized integrators for current control of active power filters with zero steady-state error for current harmonics of concern under unbalanced and distorted operating conditions,” *IEEE Transactions on Industry Applications*, vol. 38, no. 2, pp. 523–532, 2002.
- [36] R. R. De Melo, F. L. Tofoli, S. Daher, and F. L. M. Antunes, “Interleaved bidirectional dc–dc converter for electric vehicle applications based on multiple energy storage devices,” *Electrical Engineering*, vol. 102, pp. 2011–2023, 2020.
- [37] A. J. Balbino, “Processamento parcial de energia aplicado a sistemas eólicos de pequeno porte conectados à rede elétrica,” (Dissertação), Universidade Federal de Santa Catarina, 2020.
- [38] M. Castilla, J. Miret, A. Camacho, J. Matas, and L. G. de Vicuna, “Reduction of current harmonic distortion in three-phase grid-connected photovoltaic inverters via resonant current control,” *IEEE Transactions on Industrial Electronics*, vol. 60, no. 4, pp. 1464–1472, 2013.
- [39] W. Li, X. Ruan, D. Pan, and X. Wang, “Full-feedforward schemes of grid voltages for a three-phase *lcl*-type grid-connected inverter,” *IEEE Transactions on Industrial Electronics*, vol. 60, no. 6, pp. 2237–2250, 2013.
- [40] TI, “Launchxl-f28379d overview,” Texas Instruments, 2019.
- [41] P. S. Diniz, E. A. Da Silva, and S. L. Netto, *Digital signal processing: system analysis and design*. Cambridge University Press, 2010.

- [42] “Ieee standard for interconnection and interoperability of distributed energy resources with associated electric power systems interfaces,” *IEEE Std 1547-2018 (Revision of IEEE Std 1547-2003)*, pp. 1–138, 2018.
- [43] Supplier, *Drivers para Transistores de Potência*, Disponível em: <http://www.supplier.ind.br/produtos/img/dro100d25a11012016112230.pdf>. Acesso em 6 dez. 2022.
- [44] LEM, *Voltage Transducer LV 25-P*, Disponível em: <https://www.lem.com/sites/default/files/products/datasheets/lv25-p.pdf>. Acesso em 6 dez. 2022.
- [45] —, *Current Transducer LA 35-NP*, Disponível em: <https://www.lem.com/sites/default/files/products/datasheets/la%2035-np%20e.pdf>. Acesso em 6 dez. 2022.
- [46] I. Barbi, *Projetos de fontes chaveadas*, 3rd ed. Edição do Autor, Florianópolis, 2014.
- [47] TI, *UCX84X Current-Mode PWM Controllers datasheet*. Texas Instruments, Disponível em: <https://www.ti.com/lit/ds/symlink/uc2845.pdf>. Acesso em 6 dez. 2022.
- [48] Micrometals, *Inductor Analyzer*, Disponível em: <https://micrometals.com/design-and-applications/design-tools/inductor-analyzer/>. Acesso em 6 dez. 2022.